



Karlsruhe Institute of Technology

Moderne Experimentalphysik II

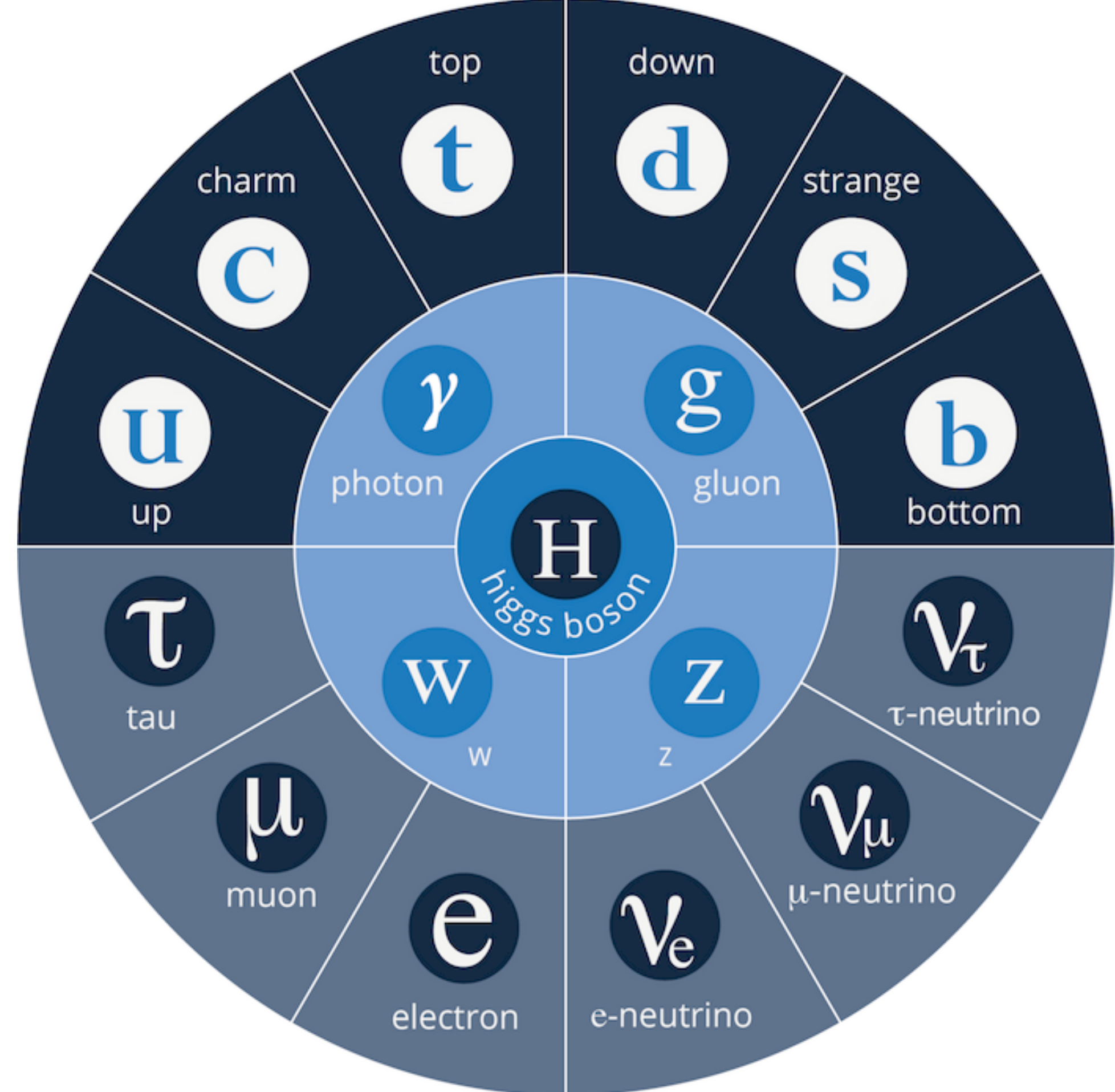
Teilchenphysik - Vorlesung 05

Professor Dr. Markus KLUTE (markus.klute@kit.edu)
Institut für Experimentelle Teilchenphysik (ETP)



■ 2. Experimentelle Methoden

- 2.1. Energieverlust geladener Teilchen
- 2.2. Energieverlust von Elektronen
- 2.3. Cherenkov- und Übergangsstrahlung
- 2.4. Wechselwirkung von Strahlung mit Materie
- 2.5. Hadronische Wechselwirkungen
- 2.6. Nachweistechniken
- 2.7. Detektorsysteme in der Teilchenphysik
- 2.8. Teilchenbeschleuniger



Recap: Experimentelle Methoden

■ Techniken zum Teilchen-Nachweis

- Ionisationskammer, Zeitprojektionskammer (**TPC**)
- Zählrohr, Vieldrahtkammer (**MWPC**), **Si-Halbleiterdetektor**
- **Kalorimetrie** (elektromagnetische/hadronische Schauer) bei CMS:
 - **ECAL** , z.B. PbWO₄ mit **26 X₀** (Strahlungslängen)
 - **HCAL** , z.B. Sampling (Szintillator/Messing) mit **6 Λ** (hadr. Ww.)

Recap

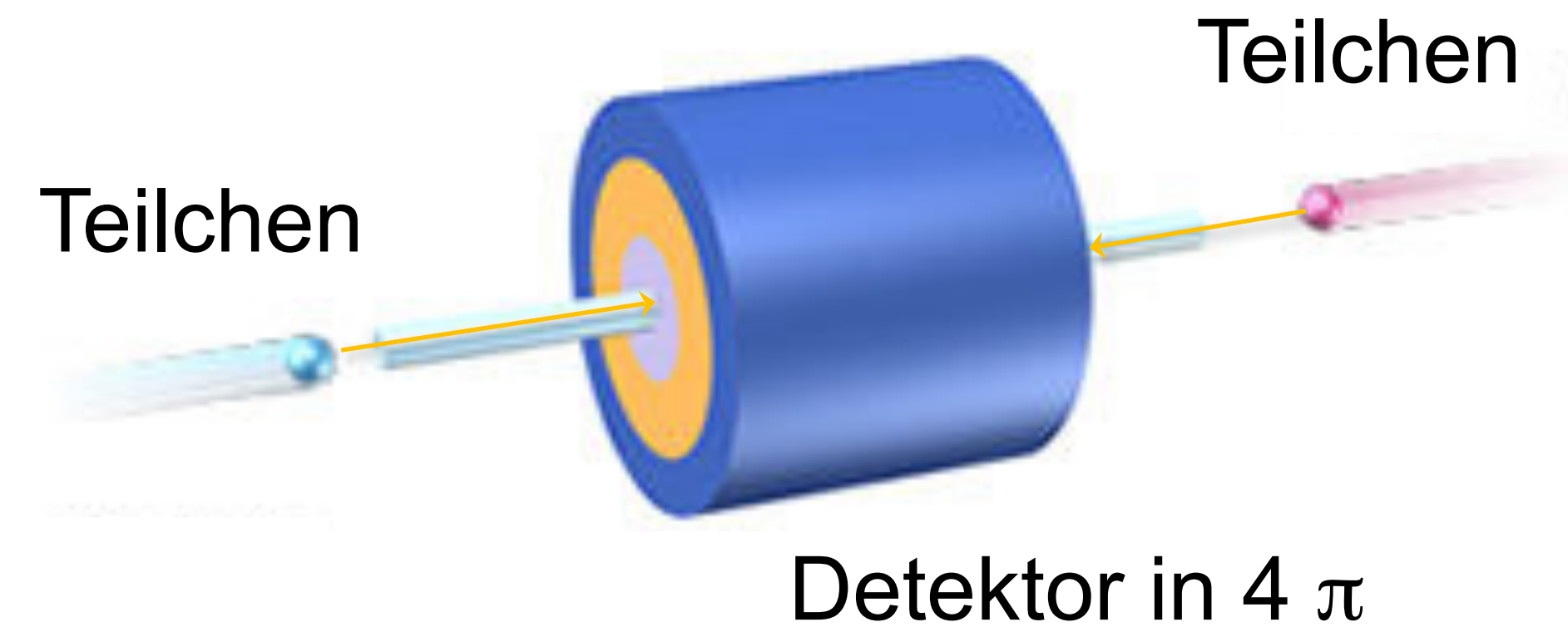
■ Wie kann man ein hochenergetisches neutrales pion nachweisen?

- 1) mit einem Spurdetektor
- 2) mit einem elektromagnetischen Kalorimeter
- 3) mit einem hadronischen Kalorimeter



Detektorsysteme: Fixed-Target / Collider

- Detektorsysteme sind an die Kinematik am Beschleuniger angepasst

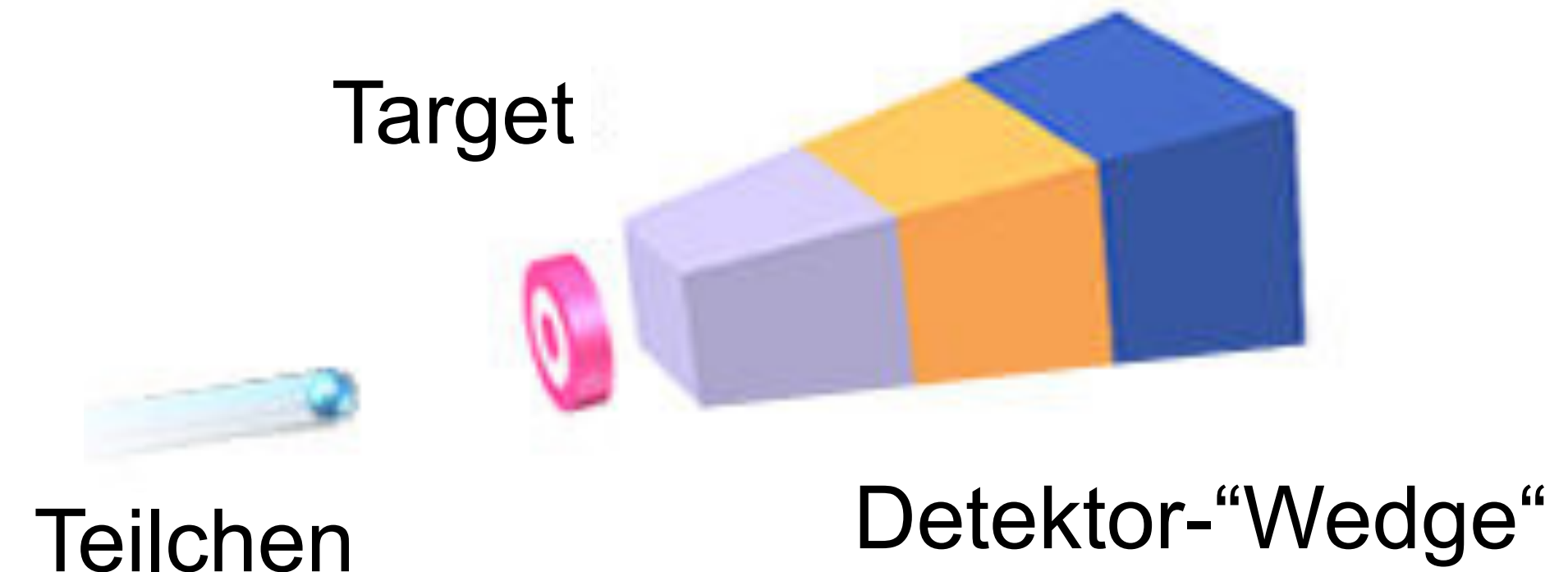


Collider-Experiment

kollidierende Teilchenstrahlen

Teilchennachweis in alle Richtungen

zylinderförmiger 4π Detektor



Fixed Target Experiment

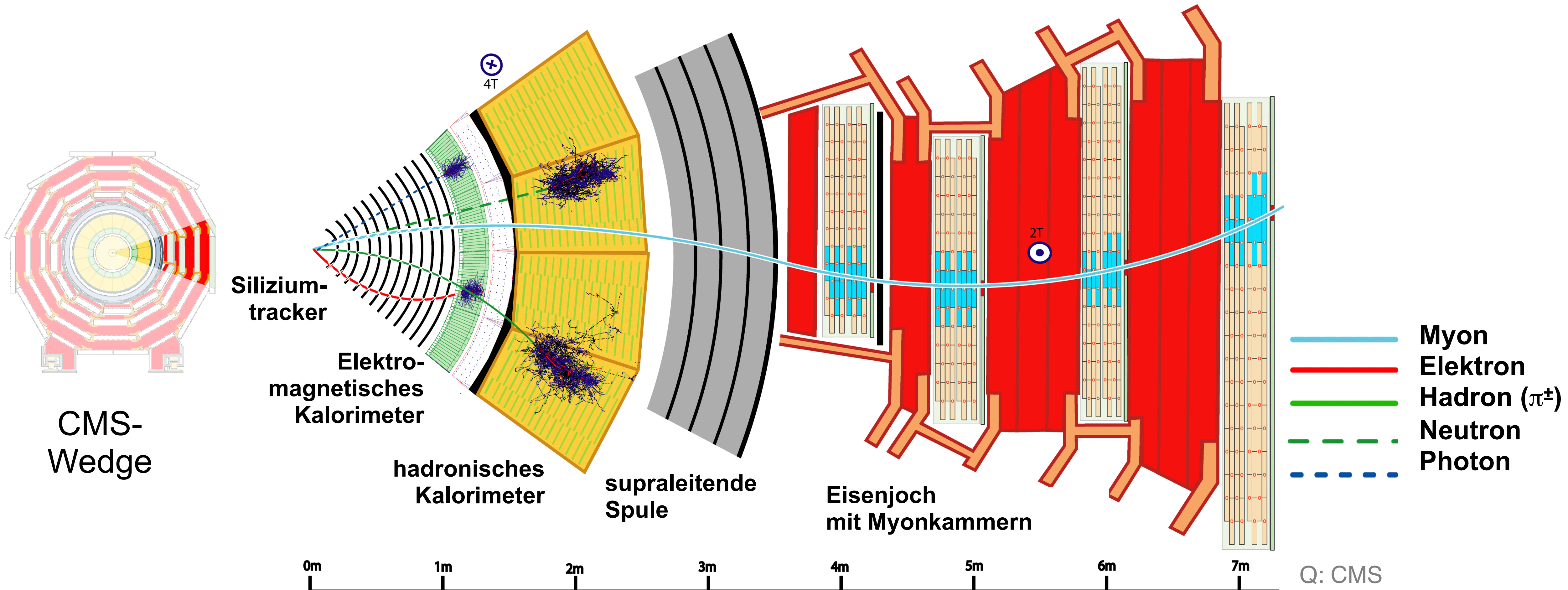
Teilchenstrahl trifft ruhendes Target

Teilchennachweis in Vorwärtsrichtung

Vorwärtsspektrometer

Aufbau eines Collider-Experiments: CMS

- Aufgaben: Spurrekonstruktion (Impuls, Q), Energie, Ereignistopologie

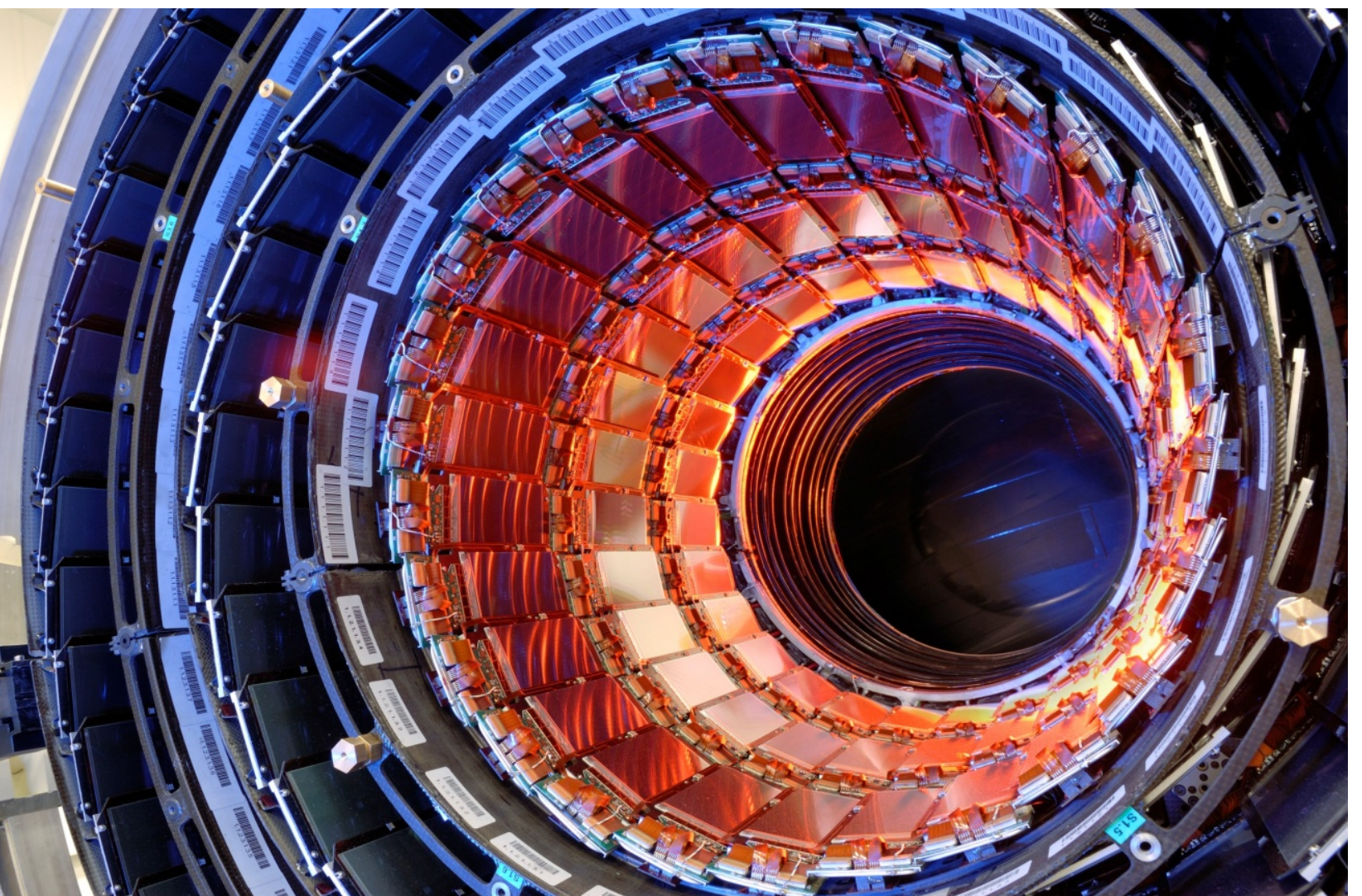
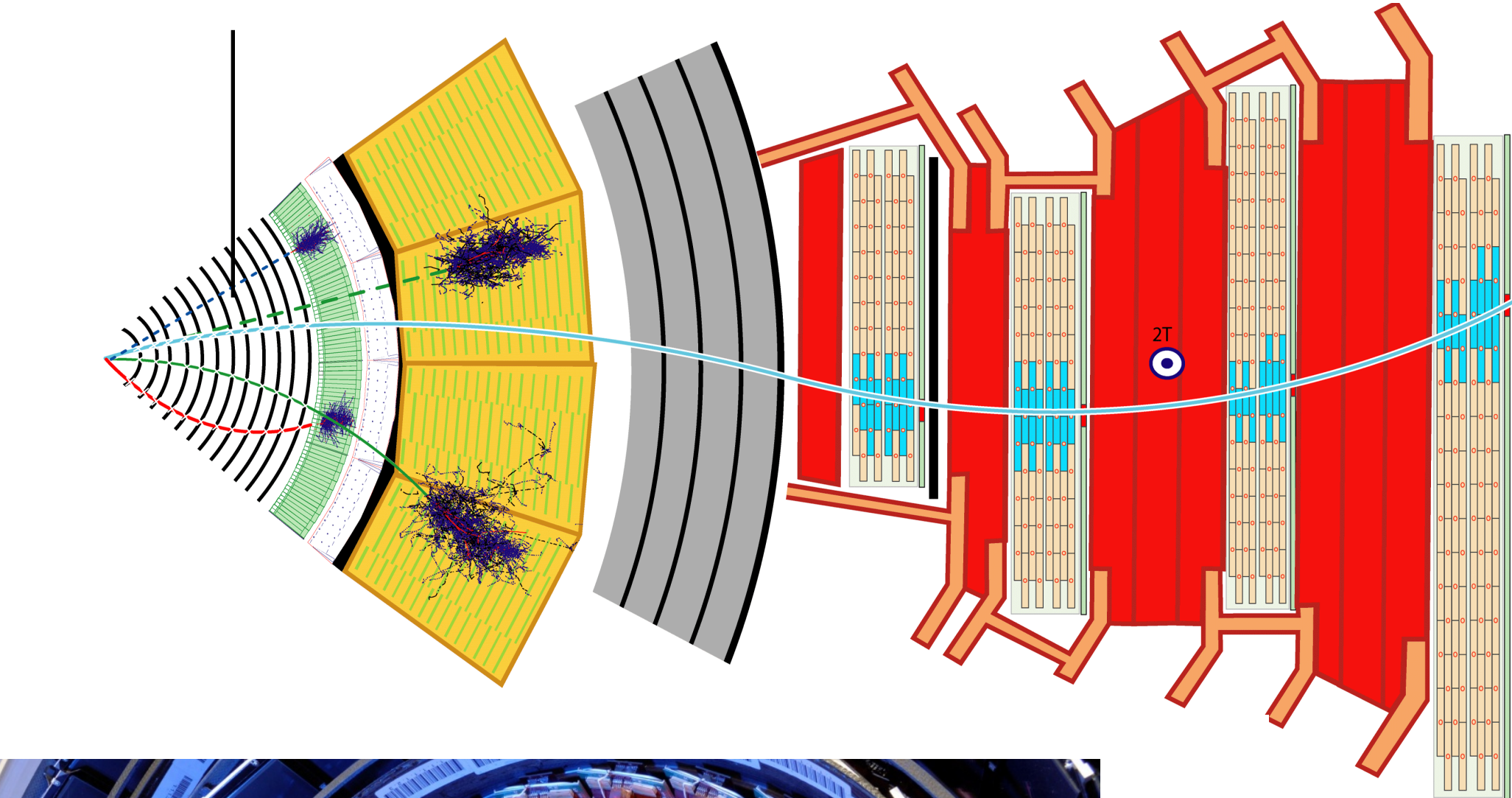


Inner Tracker: Spurrekonstruktion

- **Mehrlagiger Spurdetektor**

- Aufgabe: Rekonstruktion der Spuren von geladenen Teilchen nahe am primären Eventvertex
- Mustererkennung und χ^2 -Spurfit
- weltgrößter Si-Tracker $A = 206 \text{ m}^2$
- 125 Mio. Auslesekanäle **Si-Pixel**
 $2 \text{ D: } 150 \mu\text{m} \times 100 \mu\text{m}$
- 10 Mio. Auslesekanäle **Si-Streifen**
 $1 \text{ D: } 10 \text{ cm} \times 80 \mu\text{m}$

$$B = 3,8 \text{ T}$$



Q: CMS

Elektromagnetisches Kalorimeter

- **ECAL = electromagnetic calorimeter**

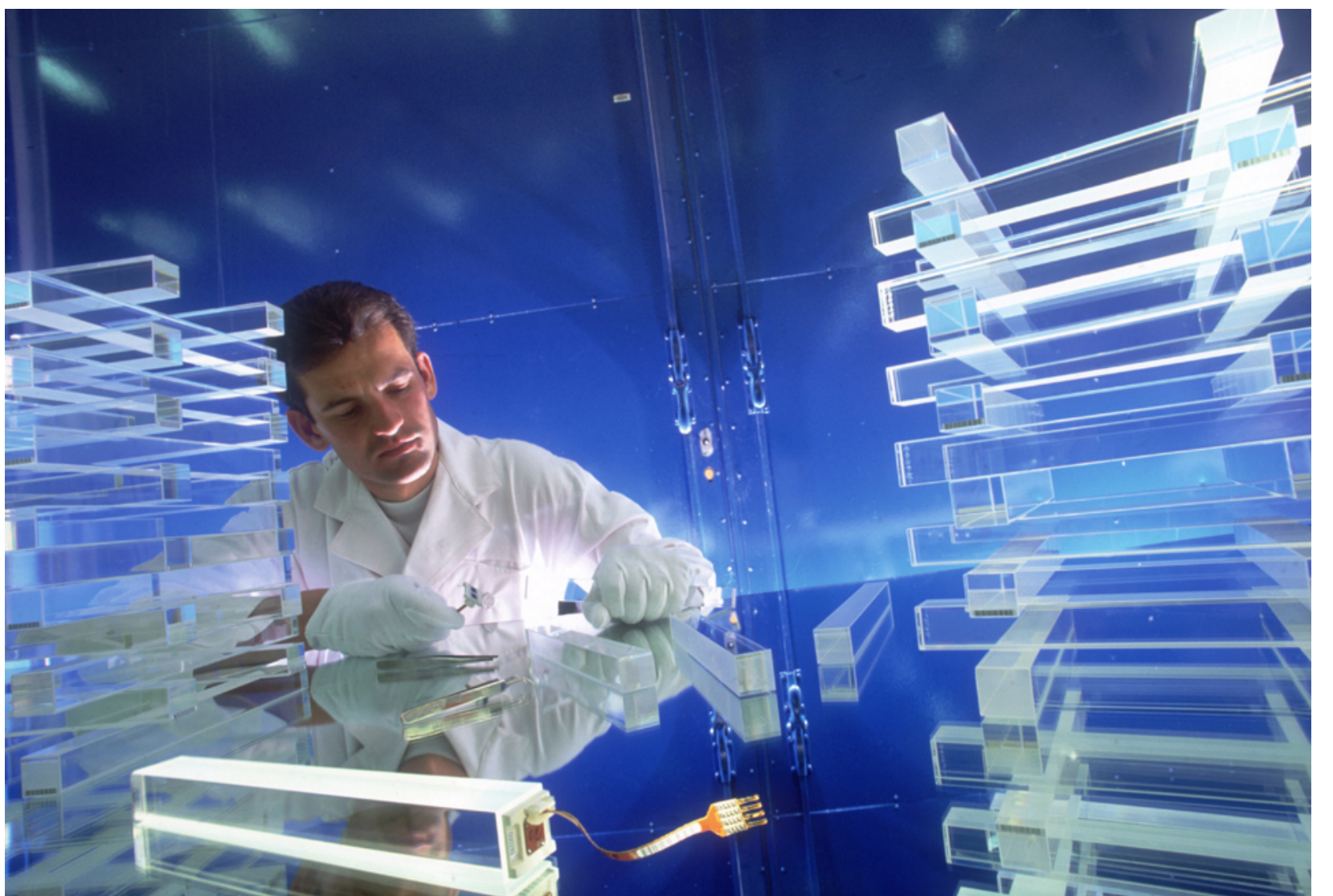
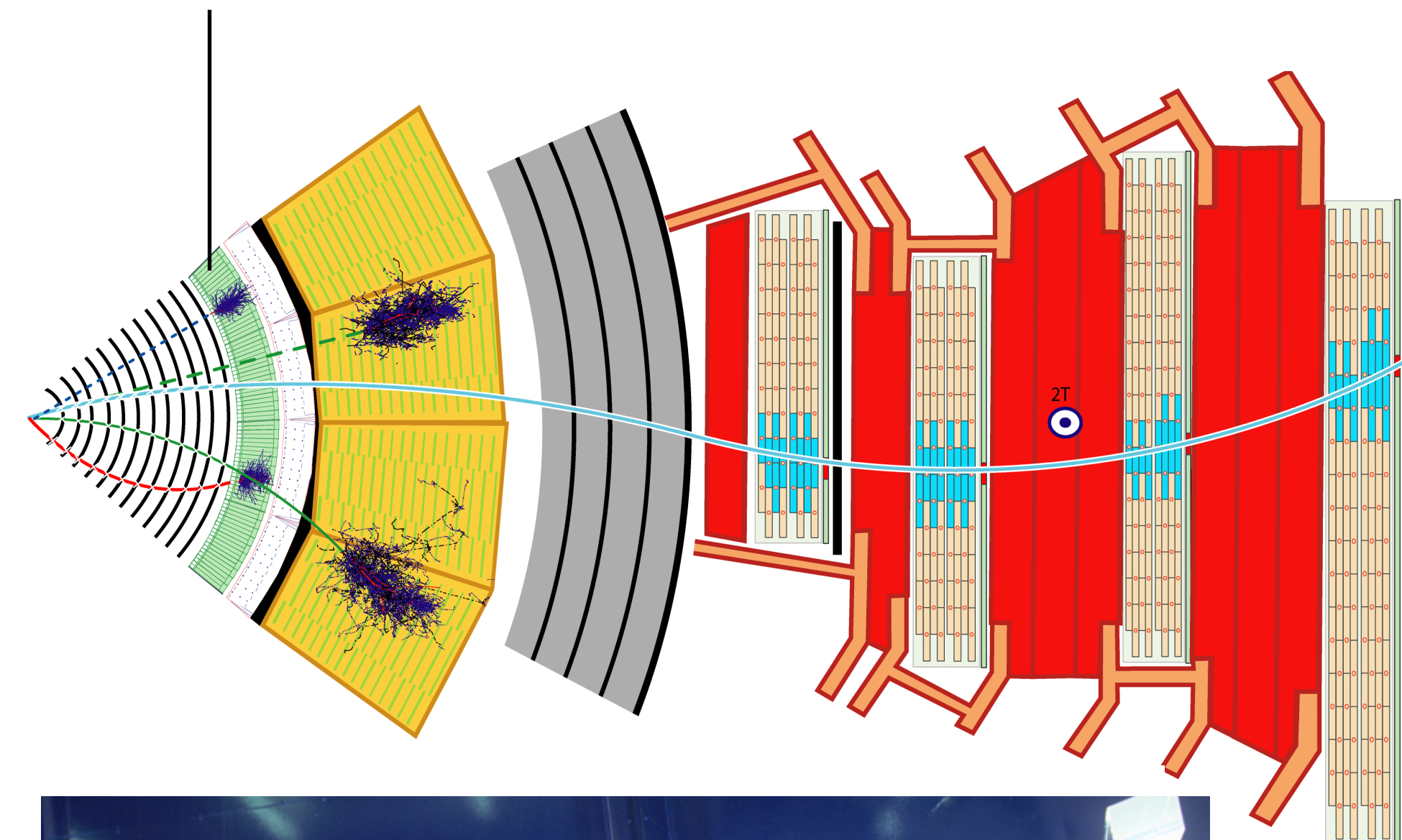
- **Aufgabe:** Bestimmung der elektromagnetischen Energie eines Ereignisses

- Teilchen-Identifikation: e^- , e^+ , γ , π^0

- **Aufbau:** kompaktes Kalorimeter innerhalb des Solenoiden (von $r = 1,1 \text{ m} \dots 1,77 \text{ m}$) mit hoher Dichte $\rho = 8,3 \text{ g / cm}^3$

- 61200 PbWO_4 **Blei-Wolframat Kristalle**
 - kurze Strahlungslänge $X_0 = 0,89 \text{ cm}$
 - vollständige Absorption da **25,8 X_0**

$$B = 3,8 \text{ T}$$

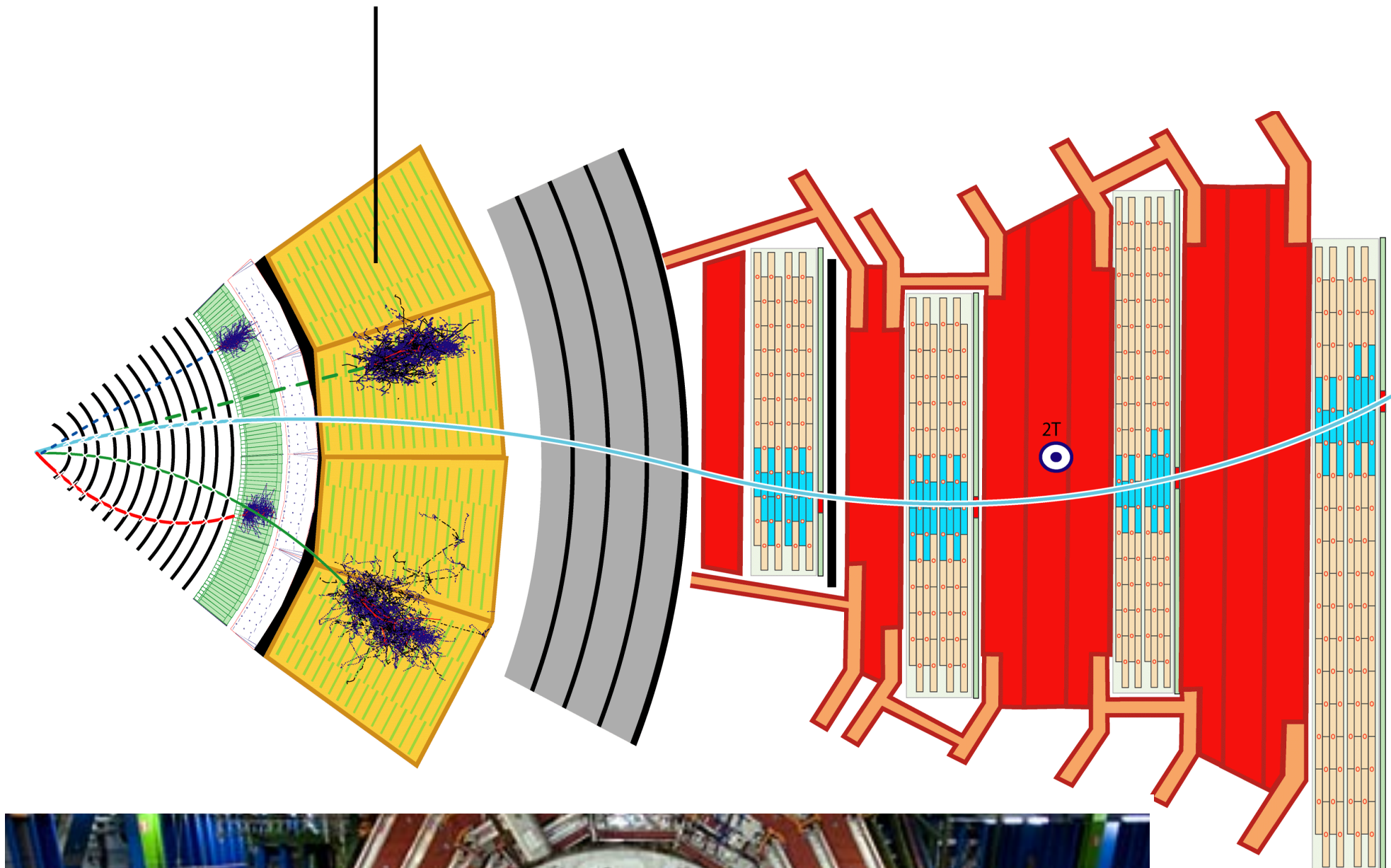


Q: CMS

Hadronisches Kalorimeter

- **HCAL = hadronic calorimeter**
 - **Aufgabe:** Bestimmung der hadronischen Energie eines Ereignisses
Rekonstruktion von **Jets** (Hadronenbündel)
 - **Aufbau:** kompaktes Kalorimeter innerhalb des Solenoiden (von $r = 1,77 \text{ m} \dots 2,95 \text{ m}$)
 - **Sampling-Kalorimeter:**
alternierende Lagen eines passiven Absorbers (Messing) und eines aktiven Szintillators (Plastikszenzillator mit Fasern)
 - hadronische Wechselwirkungslängen: **6 Λ**

$B = 3,8 \text{ T}$



Q: CMS

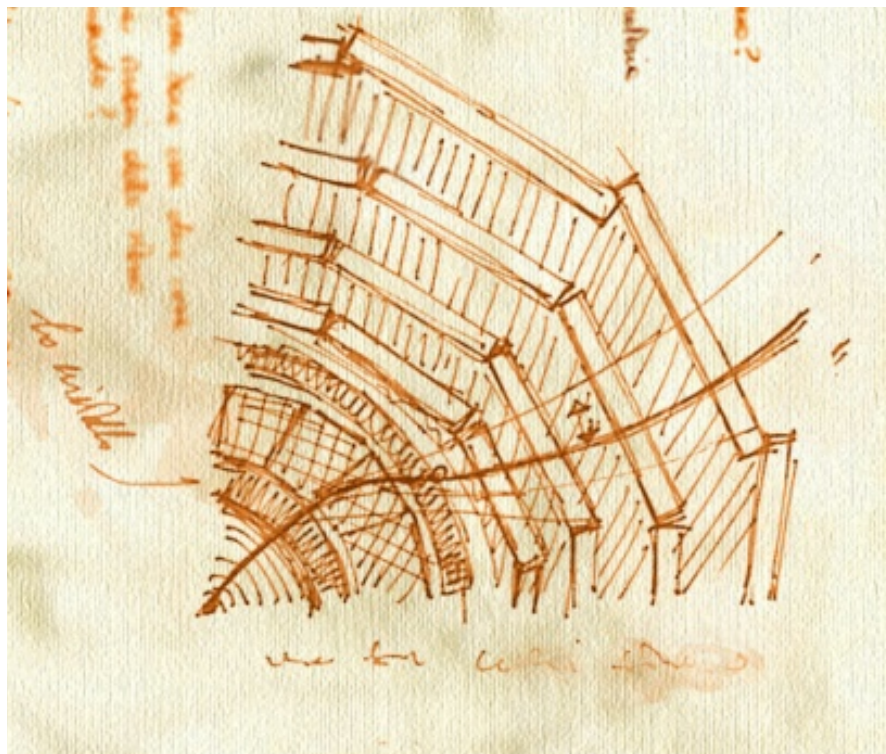
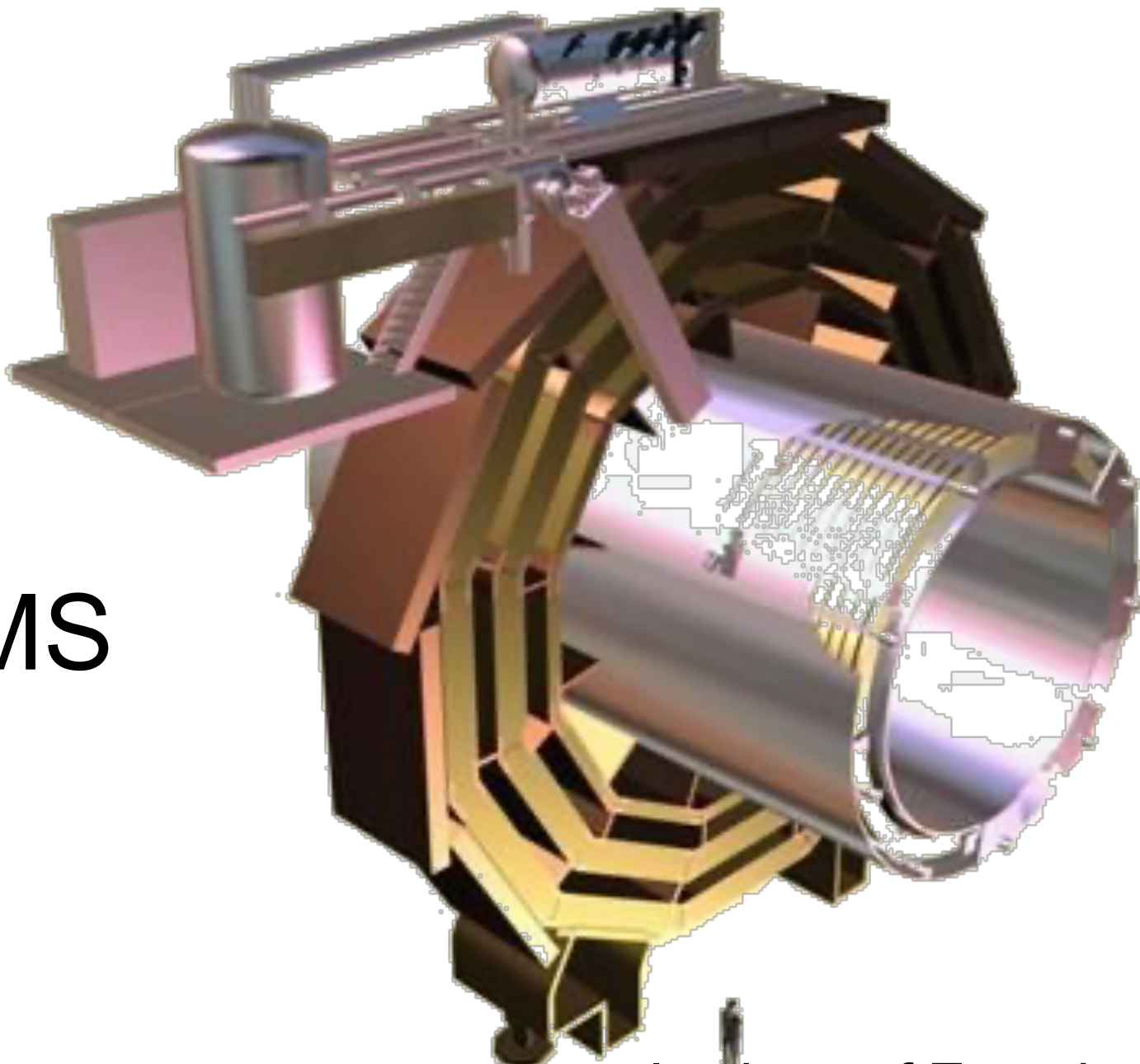
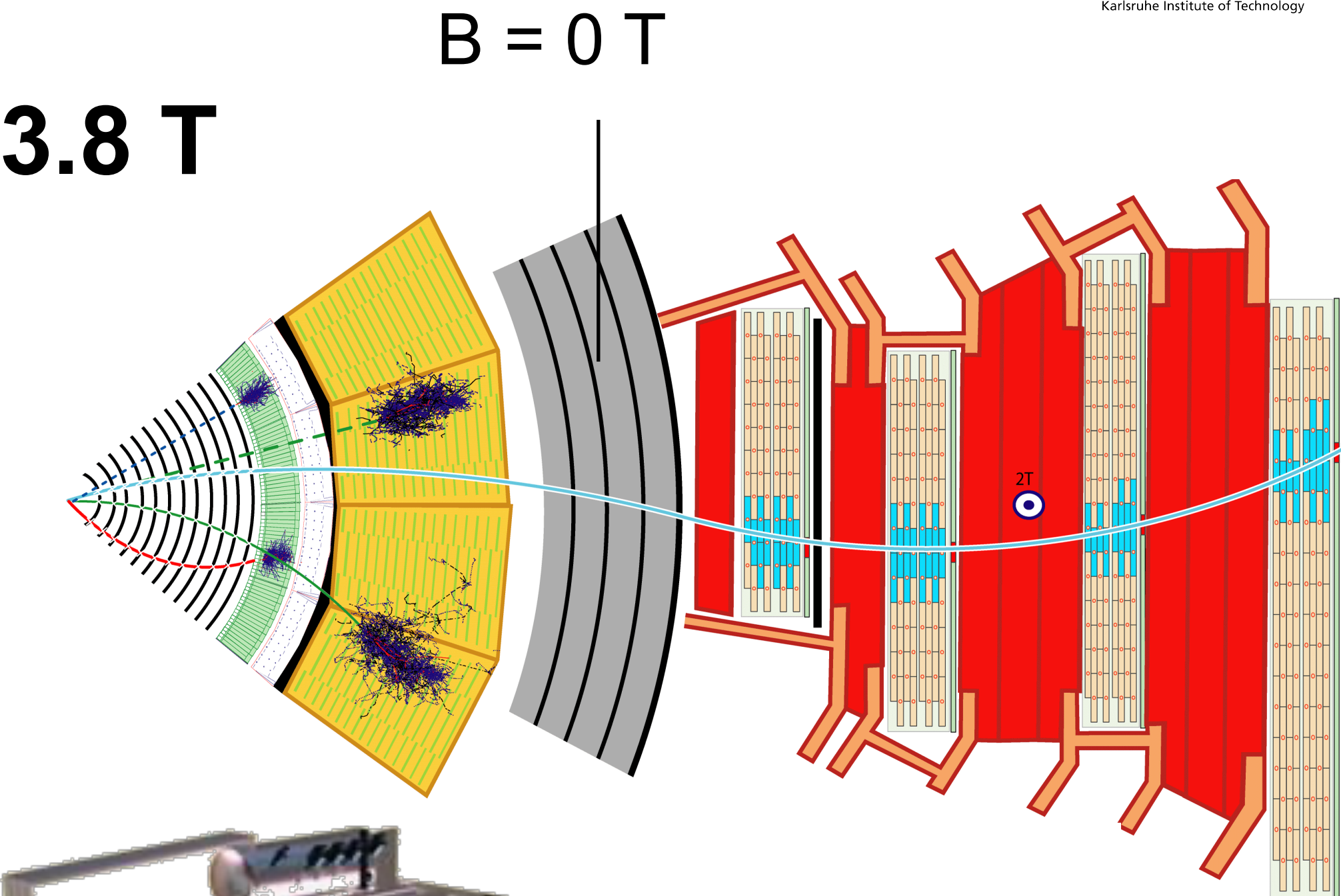
Supraleitender Solenoid

- Weltgrößter Solenoid ($\emptyset = 6 \text{ m}$) mit $B = 3.8 \text{ T}$

- Aufgabe: Erzeugung eines axialen B-Felds mit 4 T bei $I = 19,5 \text{ kA}$ ($E_{\text{magn}} = 2,3 \text{ GJ}$)

- Impulsauflösung $\Delta p/p \sim 1/(B \cdot L^2)$
besser als 10% für 1 TeV Myonen

- innen: $B \cdot L^2 = 36 \text{ Tm}^2$
- außen: $B \cdot L^2 = 5 \text{ Tm}^2$
- Kombination: s-förmige μ -Spuren in CMS

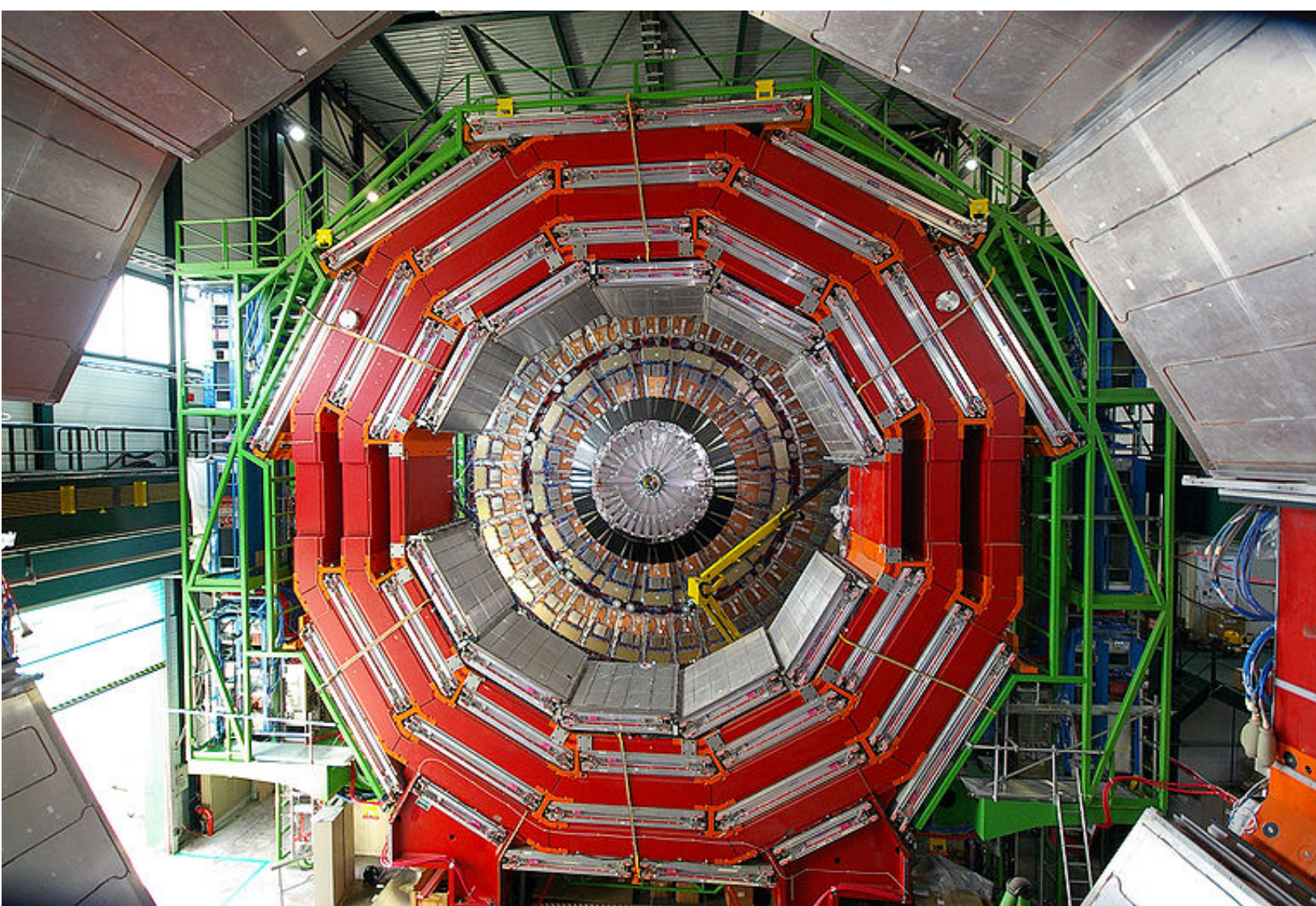
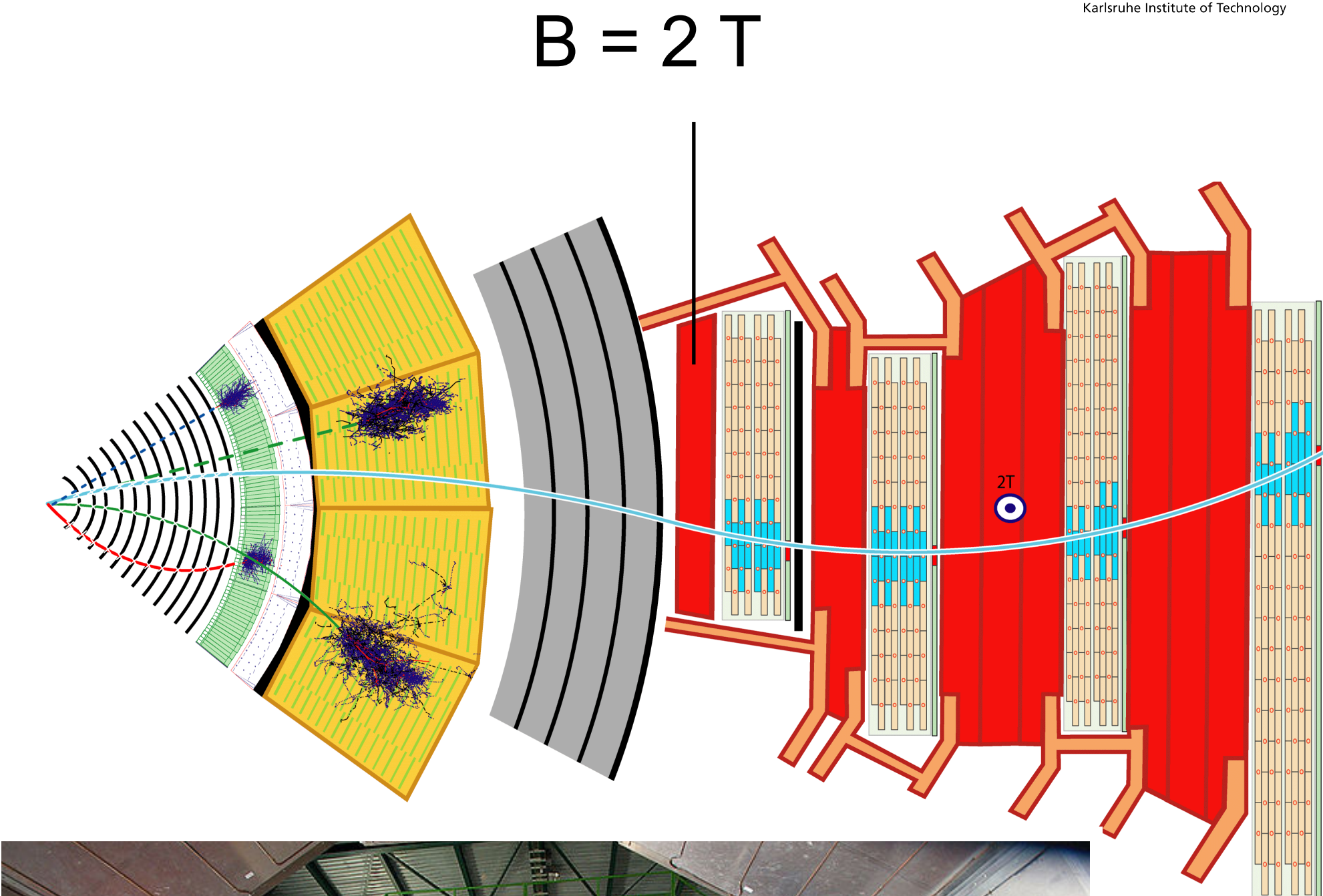


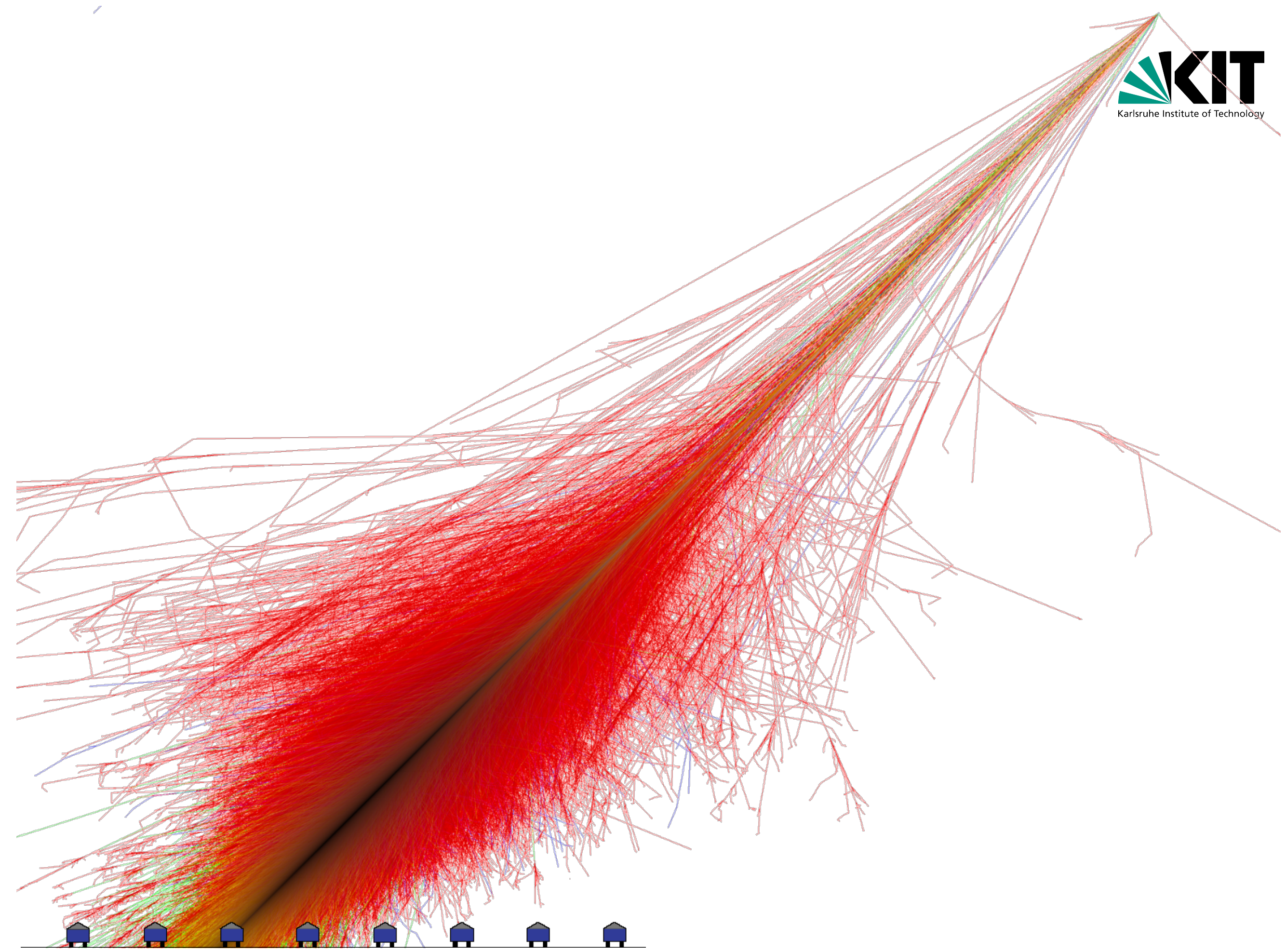
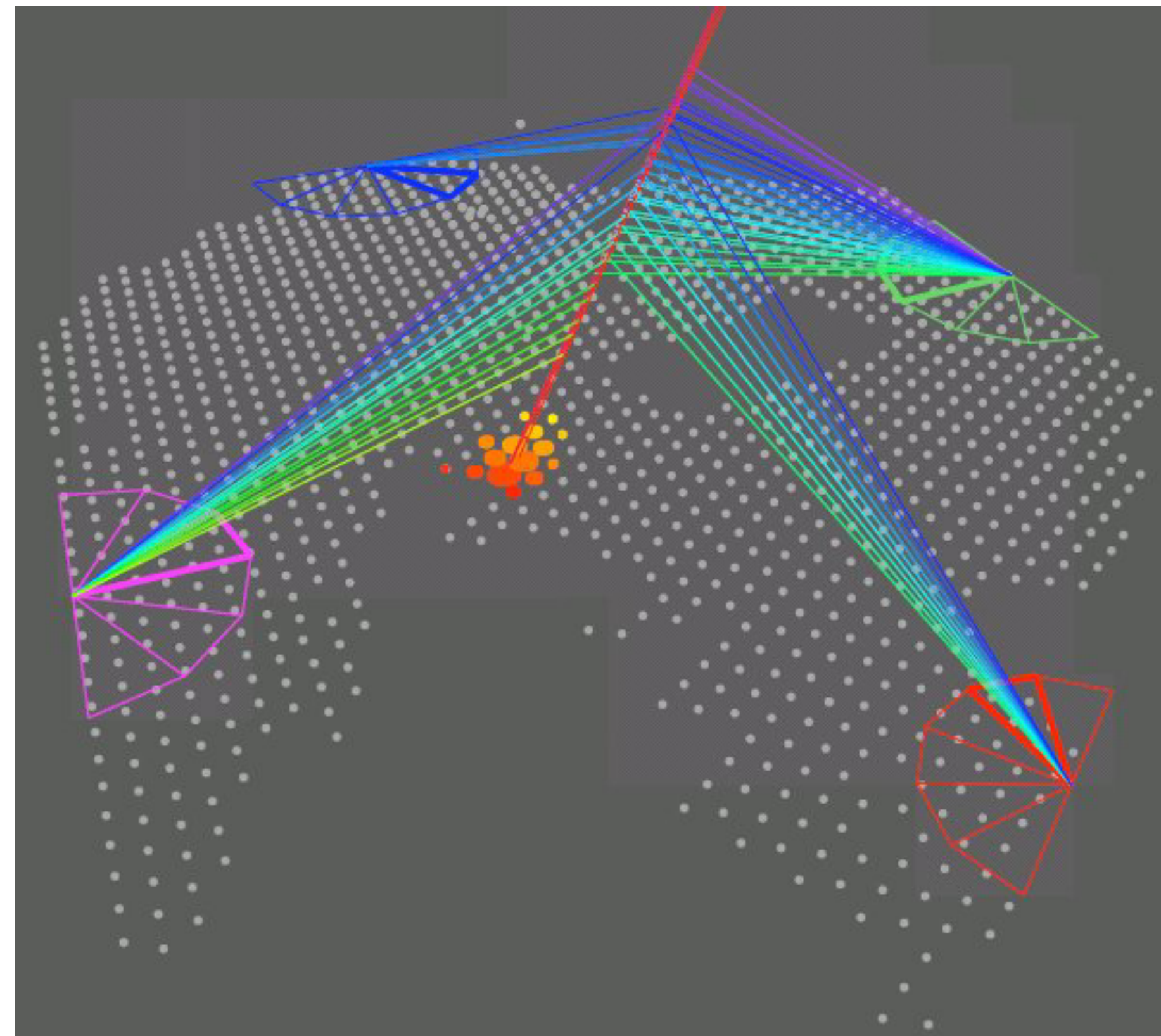
Myondetektor & Eisenjoch

- **Bestimmung von Myonen & Rückflussjoch**

- **Aufgabe:** Identifikation von Myonen und Bestimmung ihres Impulses, Rückführung des magnetischen Flusses, Abschirmung vordringender Hadronen

- **Aufbau:** 1400 Myonkammern im Rückflussjoch des Solenoiden ($B = 2 \text{ T}$)
 - Myonkammern: gasgefüllte Systeme
 - **Myonen** $> 100 \text{ GeV}$ sind m.i.p.s
nur geringe Energiedeposition in ECAL und HCAL



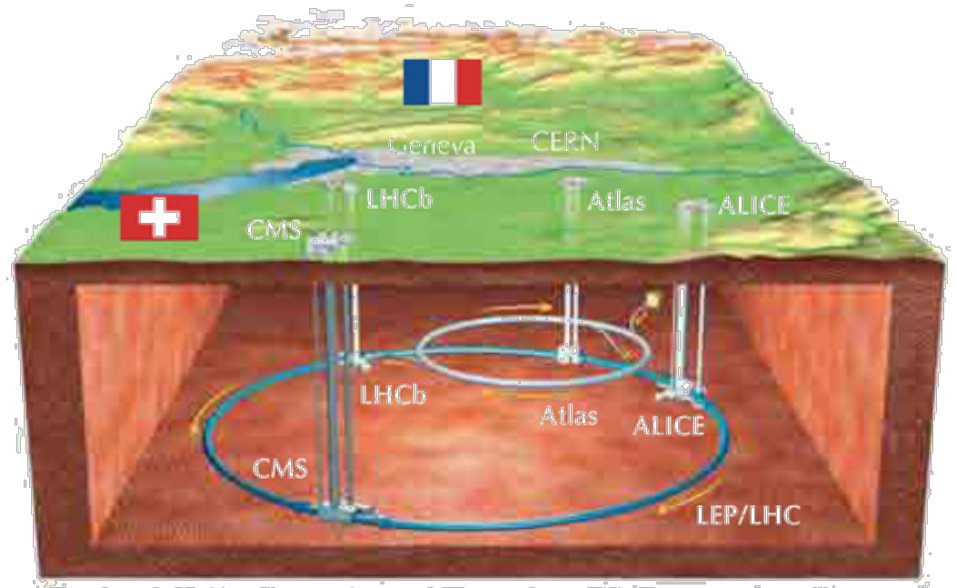


EINSCHUB: LUFTSCHAUER IN DER ATMOSPHÄRE

Q: PAO

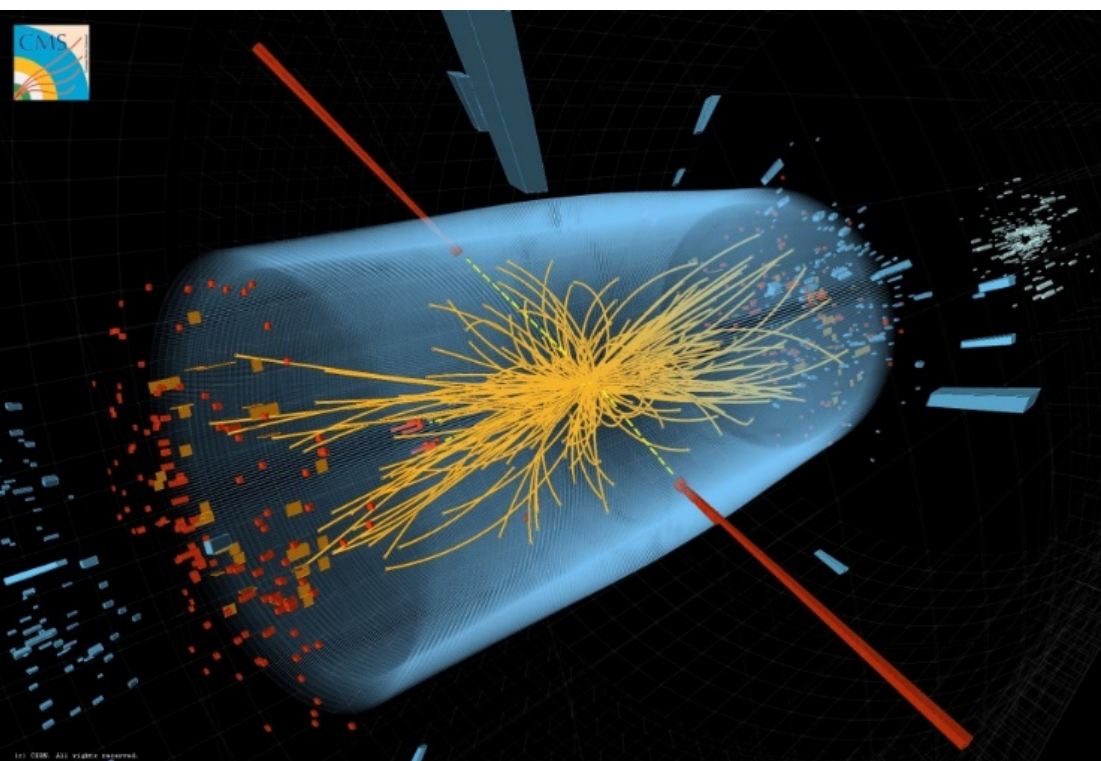
Energiemessung durch Schauer

- **Schauer am LHC Collider und in der Atmosphäre**



- **Beschleuniger:**
Protonen bis
7 TeV (exakt
bekannte Teilchen)

ECAL und HCAL

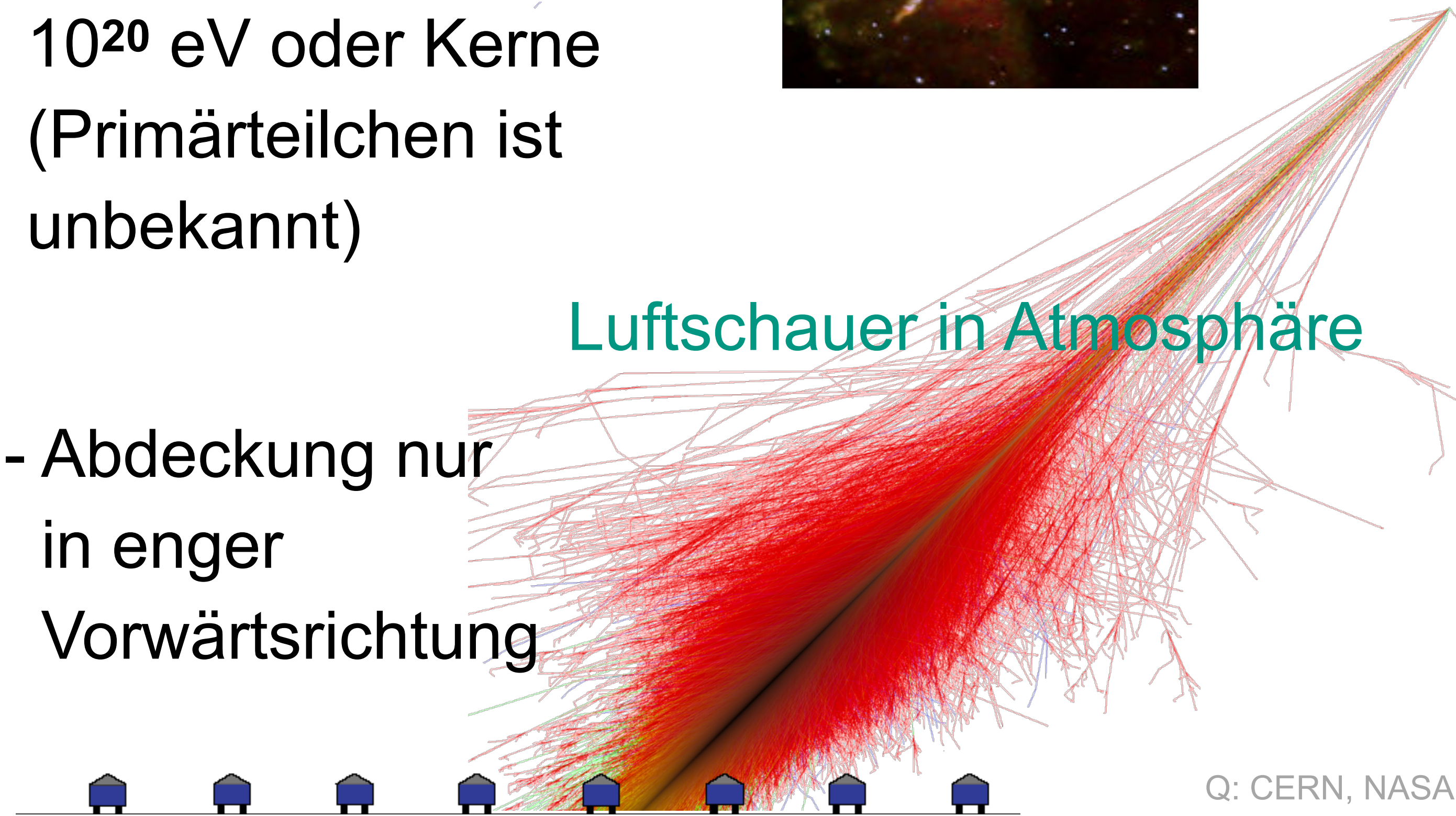


- Abdeckung in
4π-Geometrie

- **AGN-Beschleuniger:**
Protonen bis
 10^{20} eV oder Kerne
(Primärteilchen ist
unbekannt)



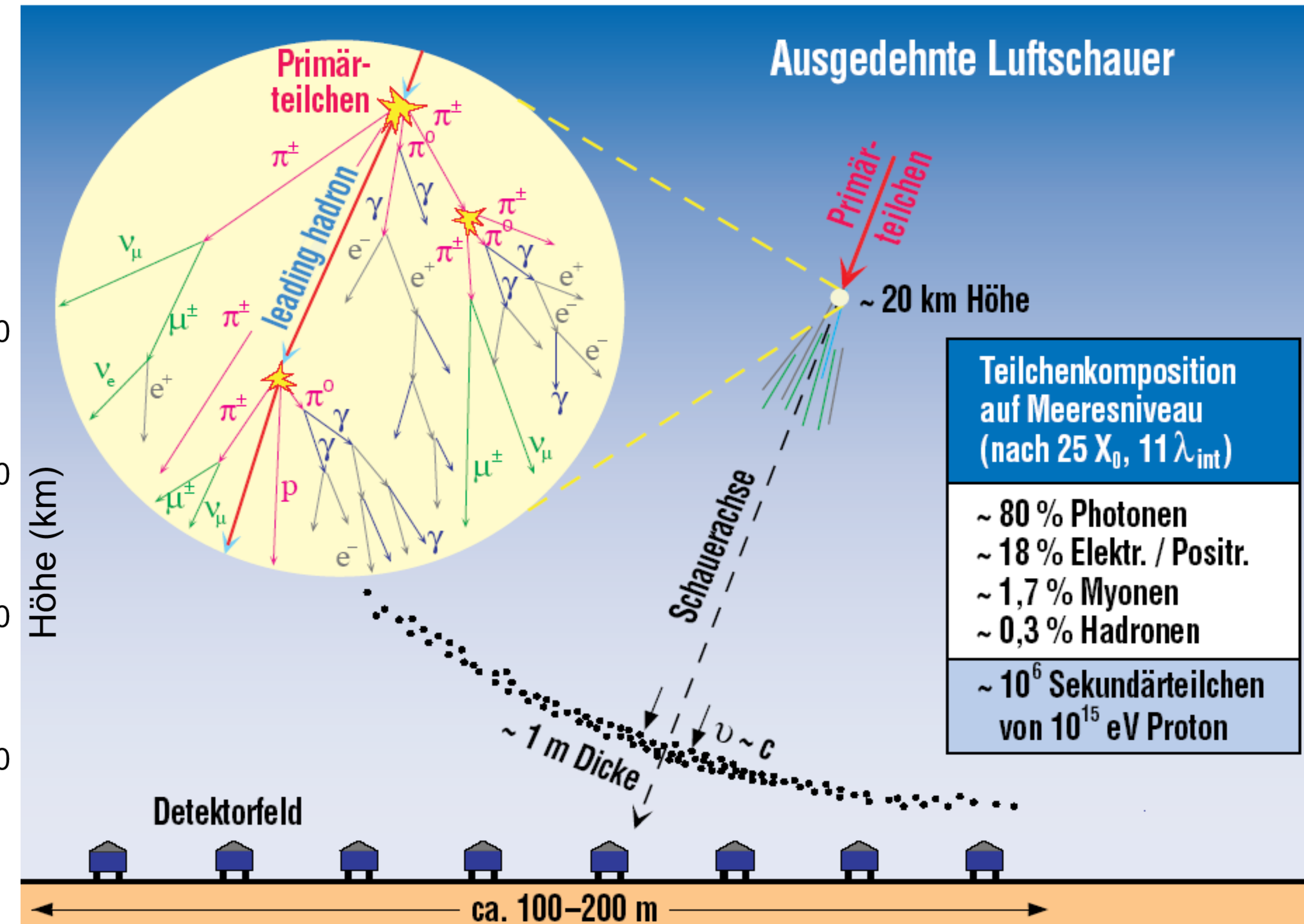
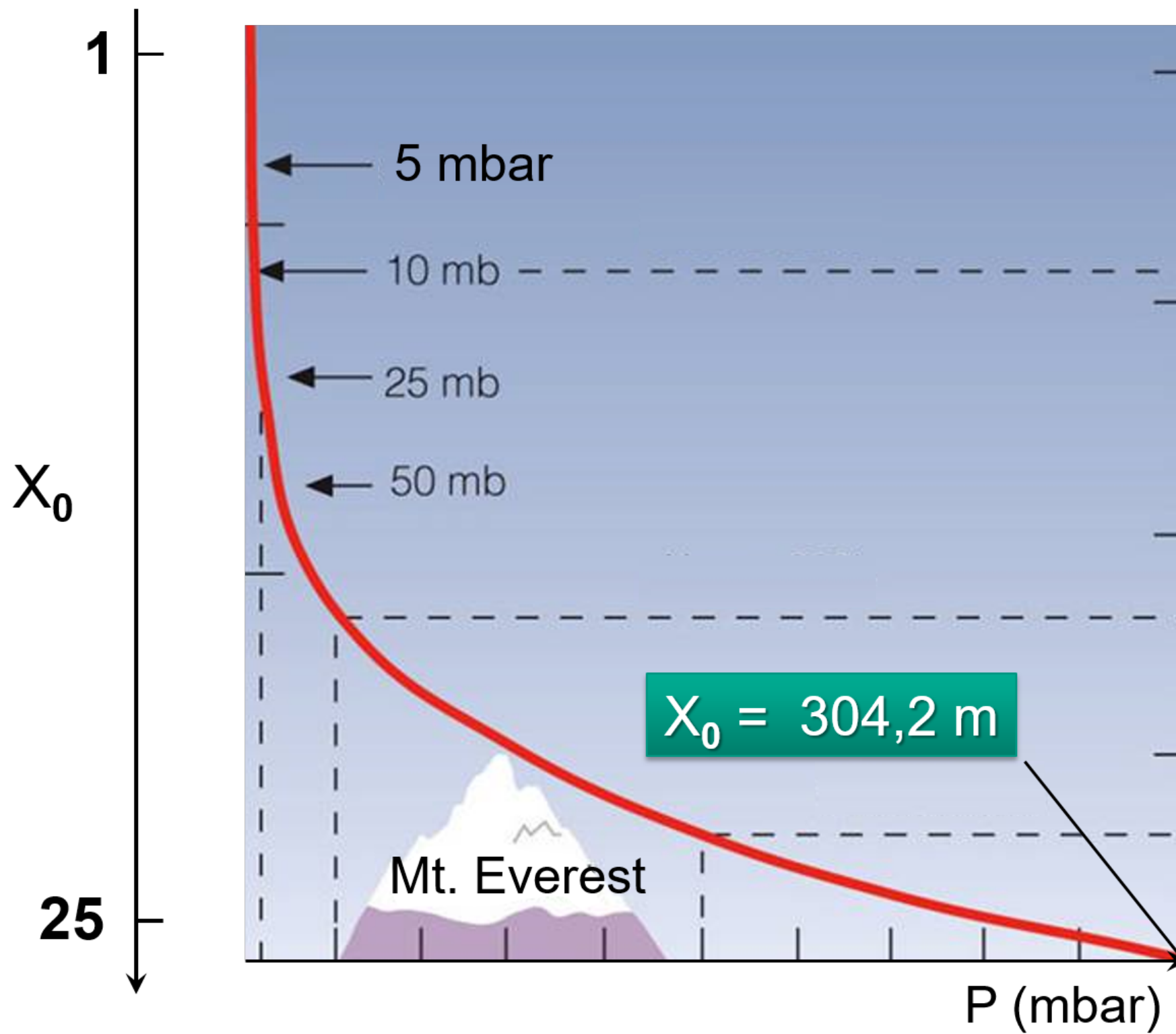
- **Luftschauer in Atmosphäre**
Abdeckung nur
in enger
Vorwärtsrichtung

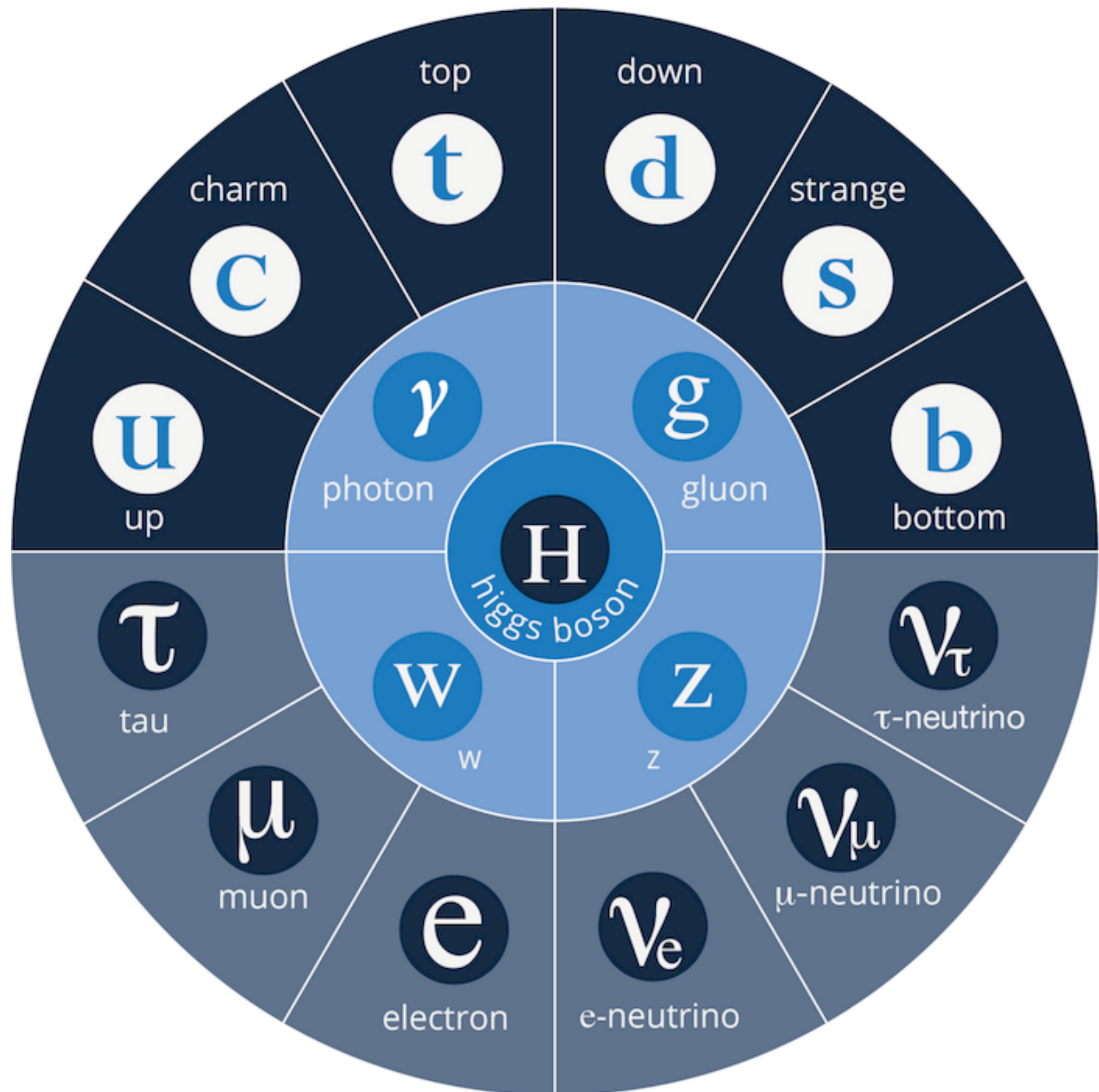


Q: CERN, NASA

Eigenschaften ausgedehnter Luftschauber

- Physik der Luftschauber
 - Modellierung der sehr vielen Sekundärteilchen





- 2. Experimentelle Methoden
 - 2.1. Energieverlust geladener Teilchen
 - 2.2. Energieverlust von Elektronen
 - 2.3. Cherenkov- und Übergangsstrahlung
 - 2.4. Wechselwirkung von Strahlung mit Materie
 - 2.5. Hadronische Wechselwirkungen
 - 2.6. Nachweistechniken
 - 2.7. Detektorsysteme in der Teilchenphysik
 - 2.8. Teilchenbeschleuniger

Beschleuniger – Einführung

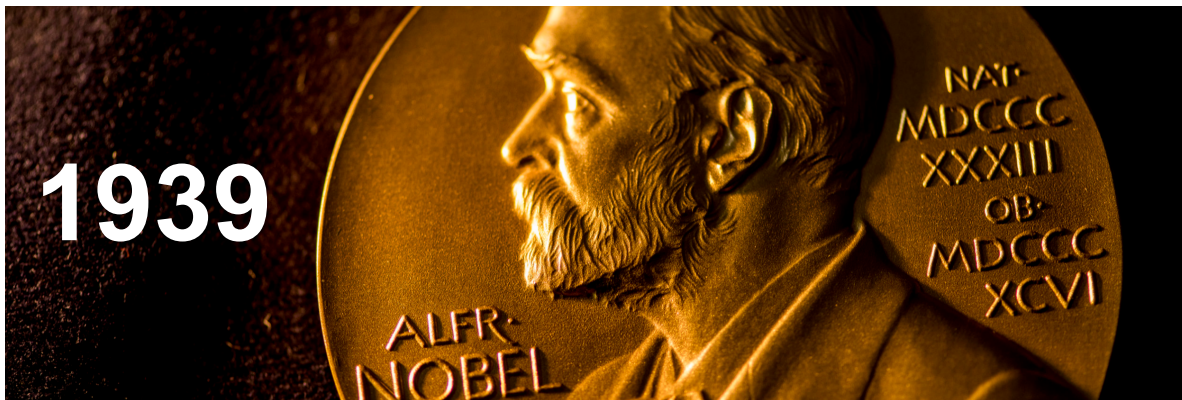
- **Grundlagen der Beschleunigertechnik**

$$\vec{F} = q \cdot (\vec{E} + \vec{v} \times \vec{B})$$

- **Beschleunigung** von geladenen Teilchen:
elektrisches Feld (parallel zur Bewegungsrichtung),
Energiegewinn nur abhängig von **Ladung q** des Teilchens
 - elektrostatisches Feld: Hochspannung
 - HF-Wechselfelder (**RF**: **R**adio **F**requency): linear oder ringförmig
- **Führung** von geladenen Teilchen:
magnetisches Dipolfeld (senkrecht zur Bewegungsrichtung),
kein Energiegewinn
Quadrupolfelder zur Strahlformung (kleiner Strahlquerschnitt)

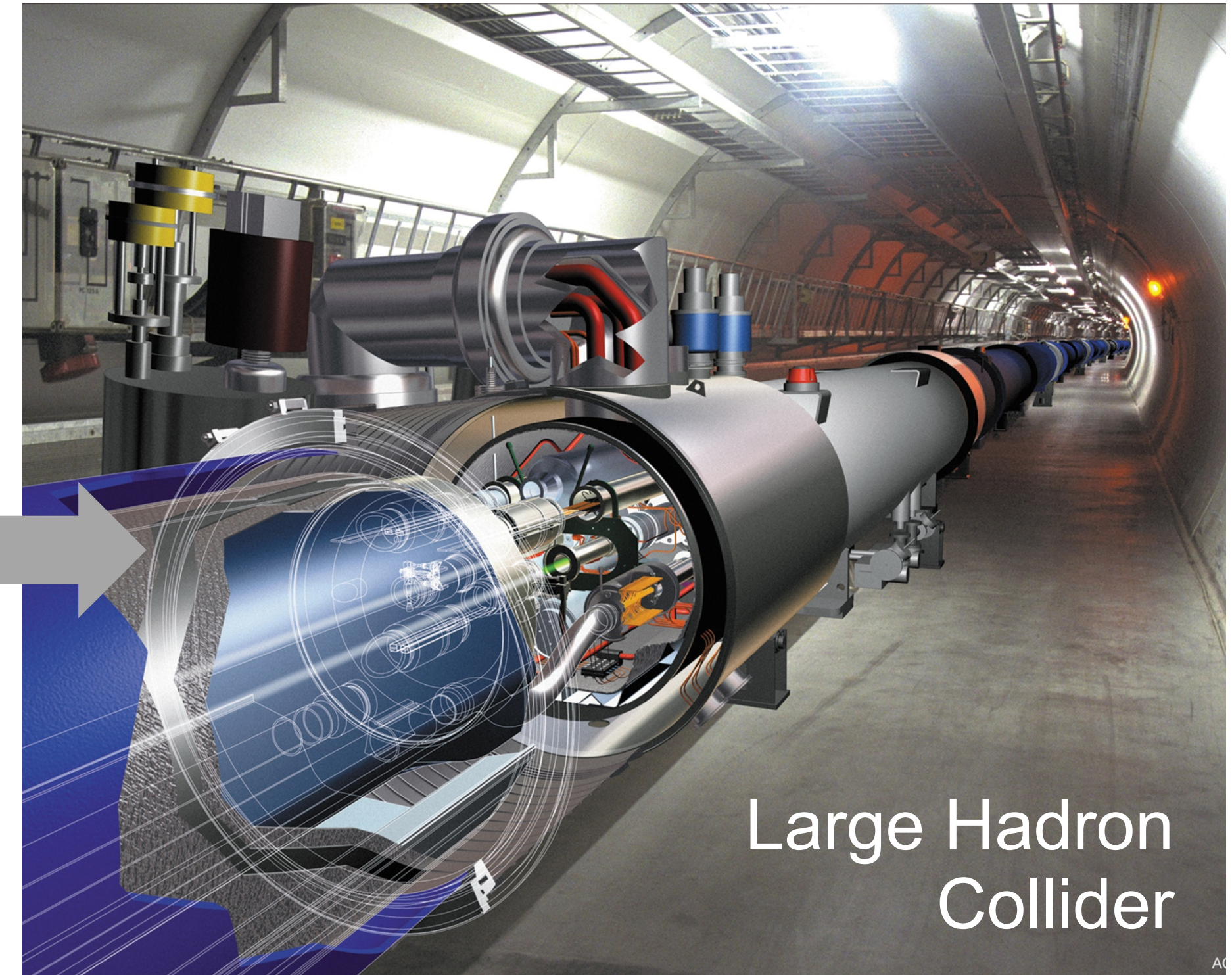
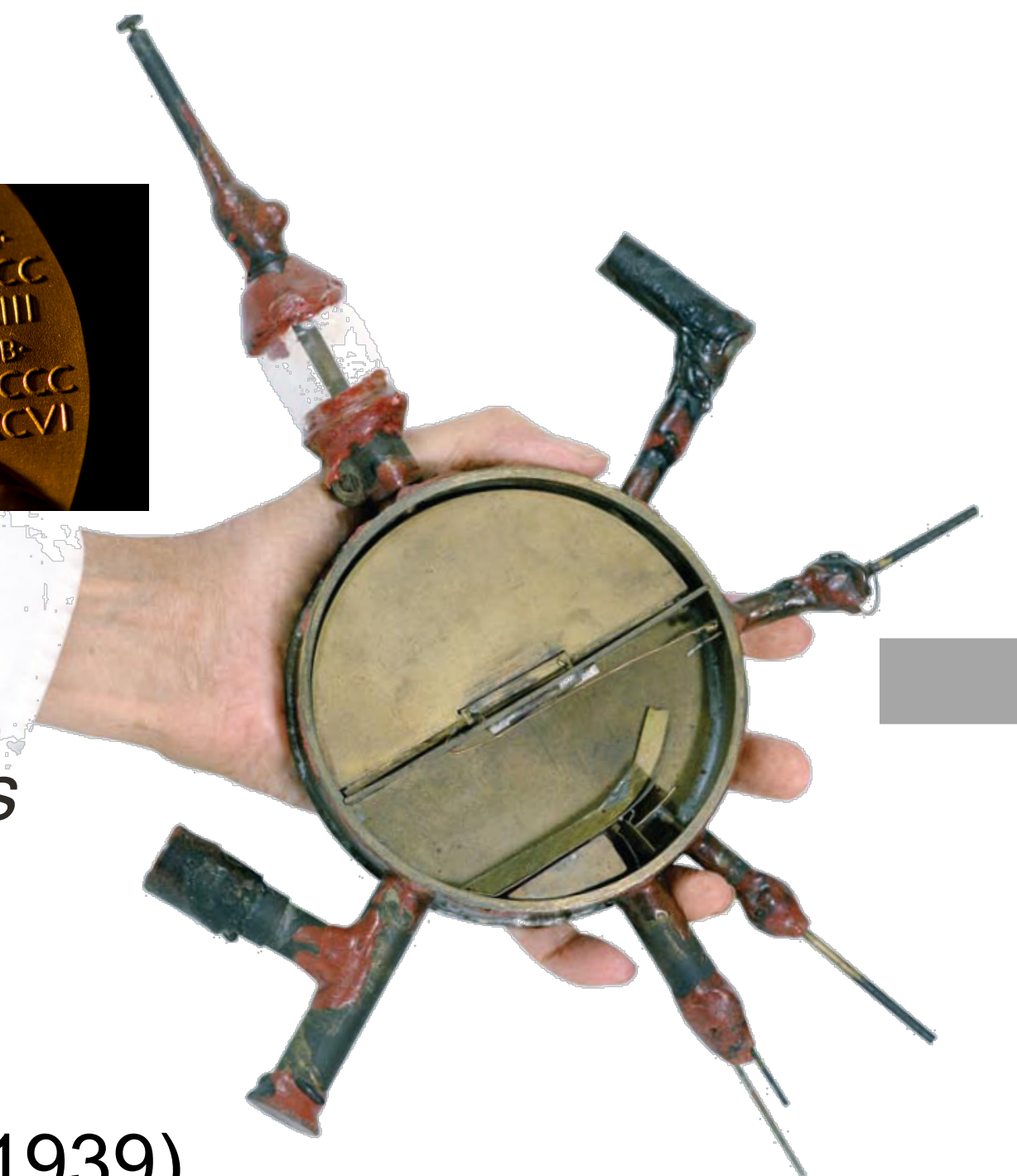
Beschleuniger – Historie

- **Fortschritt in der Beschleunigertechnologie: Faktor $\sim 10^8$ in 85 Jahren**
 - 1930: E.O. Lawrence baut das erste Zyklotron $\varnothing = 13 \text{ cm}$ mit $E_p = 80 \text{ keV}$
 - 2015: CERN erreicht nach Upgrade des LHC $\varnothing = 8,5 \text{ km}$ ein $E_p = 6,8 \text{ TeV}$



for the invention and development of the cyclotron and for results obtained with it

Ernest O. Lawrence
Lawrence Berkeley National Laboratory (1939)



Large Hadron
Collider

Kolloquium

■ 19.01.2024 (Freitag), 15:45 Uhr, Lehmann Hörsaal

Prof. Dr. Matthias Fuchs

Laser-Plasma Accelerators: Particle Acceleration in a Nutshell

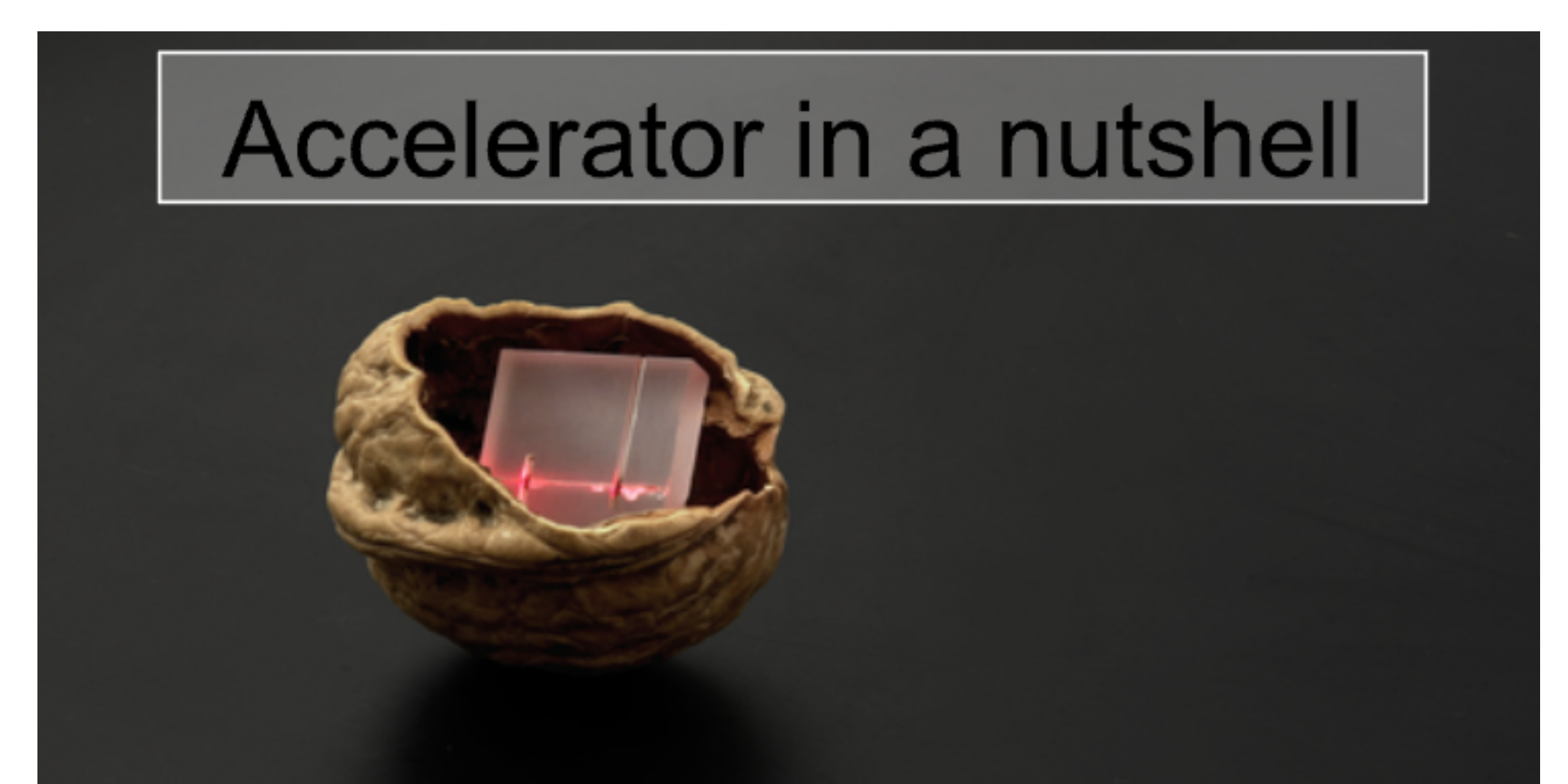
High-power lasers, relativistic electron beams, ultrashort X-ray pulses, plasma accelerators ... Oh My!

In this talk I will discuss laser-plasma accelerators – a novel technology that has the potential to become the next generation of particle accelerators.

Particle accelerators are key drivers for research and innovation and while mostly hidden from view, they have enabled many scientific discoveries and technological breakthroughs that have changed our way of life. However, they are often costly and high-energy machines are kilometer-scale facilities of which only a few exist worldwide.

Laser-plasma acceleration (LPA) can shrink the cost and dimension of accelerators by nearly three orders of magnitude compared to current technology. In LPAs, an ultrashort high-power laser is focused into a plasma, where it generates a plasma wave in its wake. Electrons can be injected into this plasma wave and are accelerated by its massive electric field to relativistic energies over a distance of only a few millimeters to centimeters.

I will present an overview of the field of laser-plasma acceleration and its current state-of-the art, introduce some applications of LPAs, including compact X-ray sources, and give an outlook over future developments.

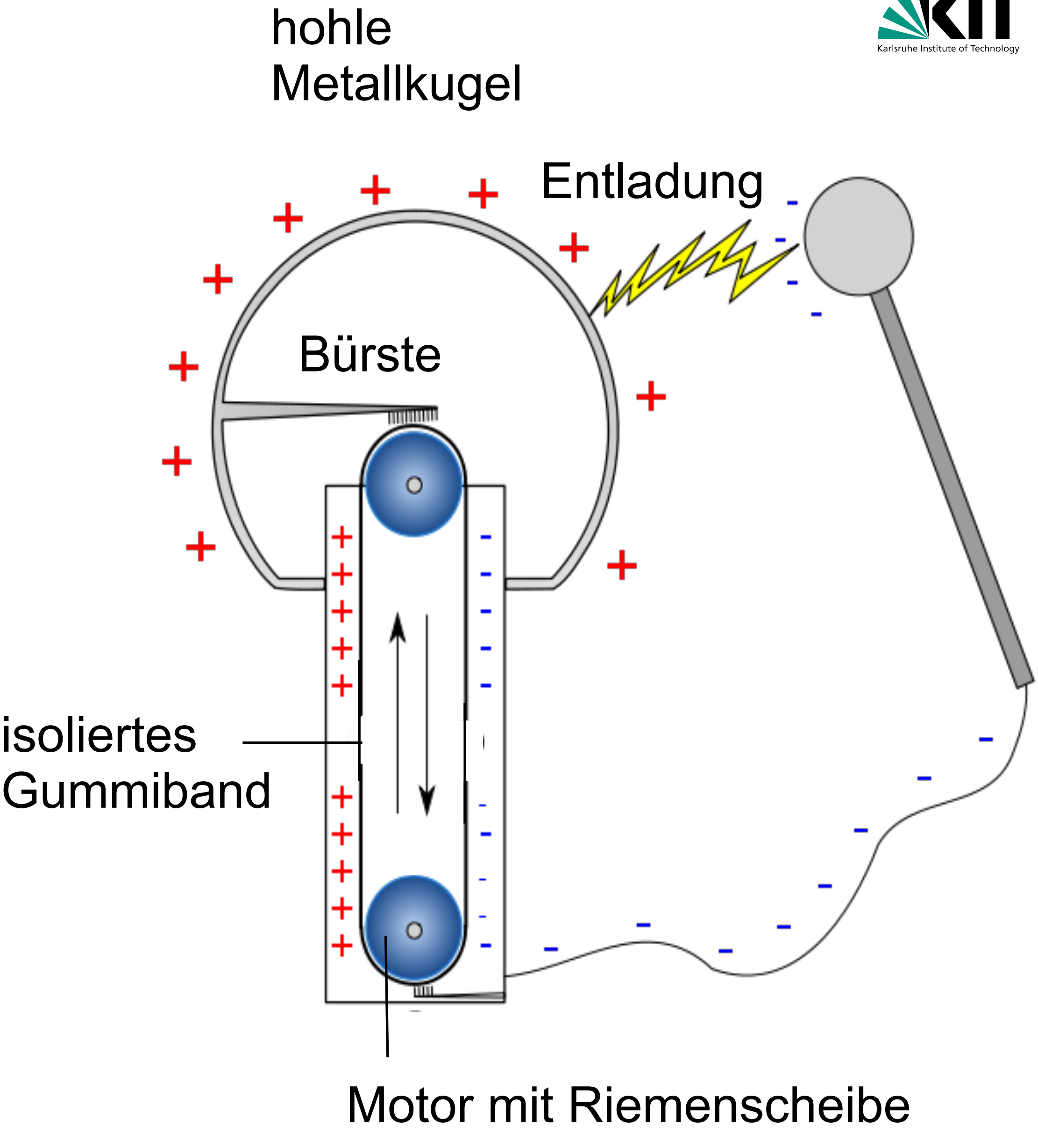


Katzen



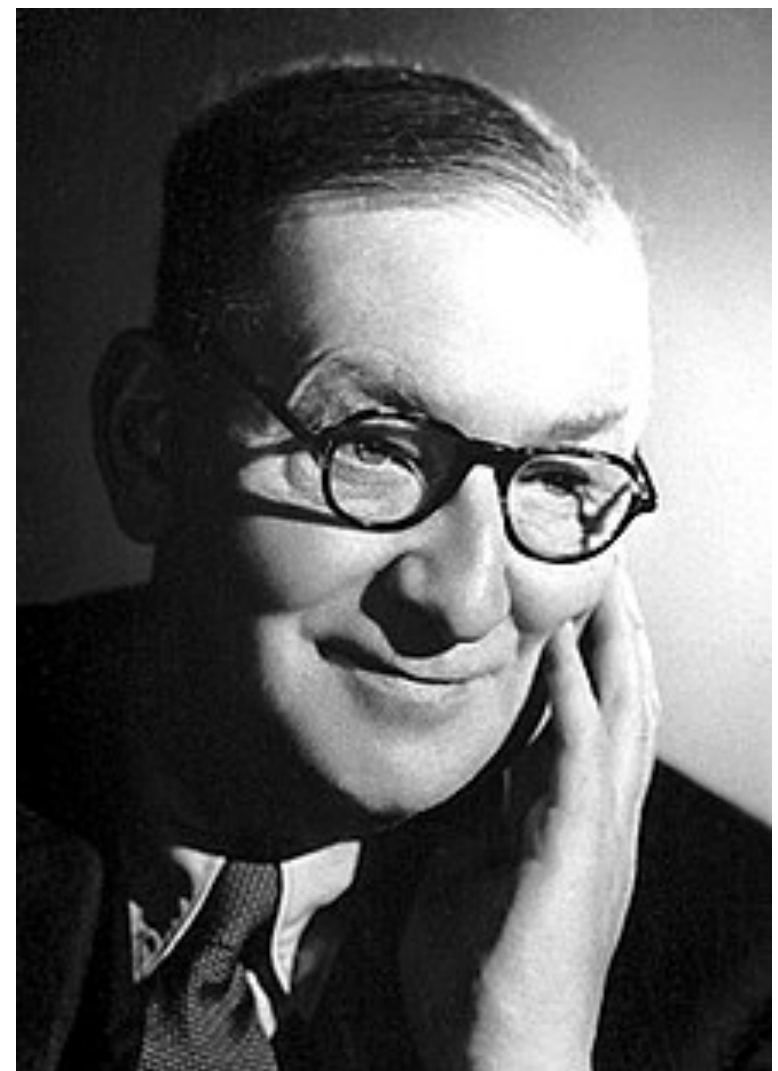
Elektrostatische Generatoren

- **Van-de-Graaf- (Band-) Generator**
 - Elektrostatisches Prinzip
 - Aufladung des Bandes durch Reibung oder Aufsprühen:
mechanischer Transport von Q
 - Bürste „streift“ Ladungen ab & überträgt sie auf Metallkugel
 - Kugelinneres = Faraday'scher Käfig
Ladungen an Kugelaußenseite, ab ~12 MeV elektrostatische Entladungen



Elektrostatische Generatoren

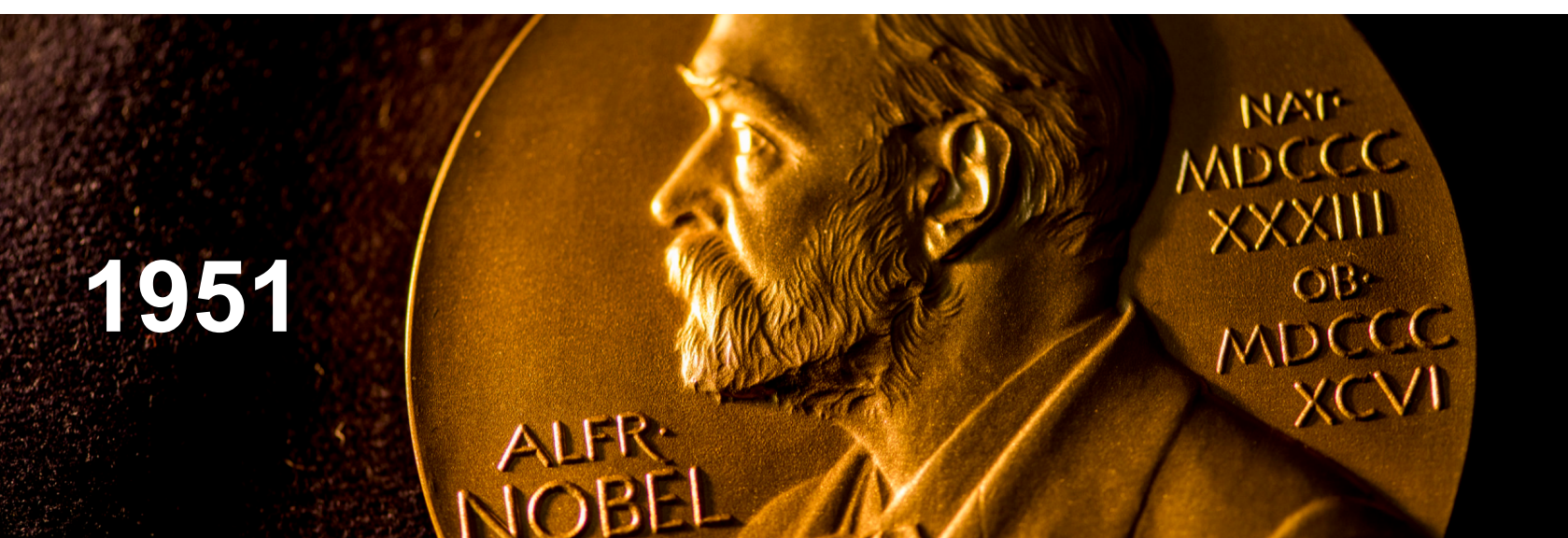
- **Cockcroft-Walton - Generator**
 - Prinzip der Spannungsvervielfachung mit Dioden & Kapazitäten
(Hochspannungskaskade, nach H. Greinacher)



J. Cockcroft

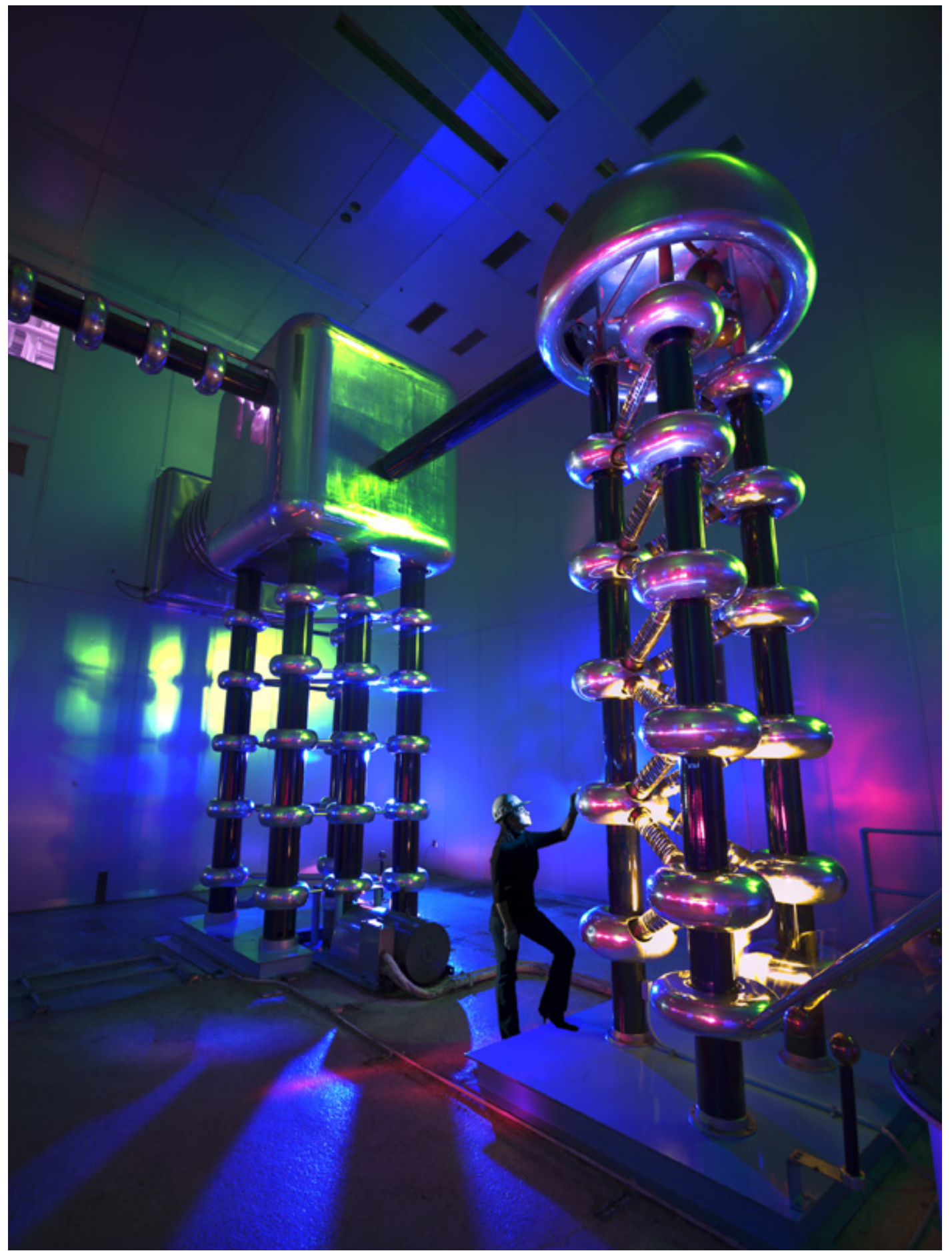


E. Walton



"for their pioneer work on the transmutation of atomic nuclei by artificially accelerated atomic particles."

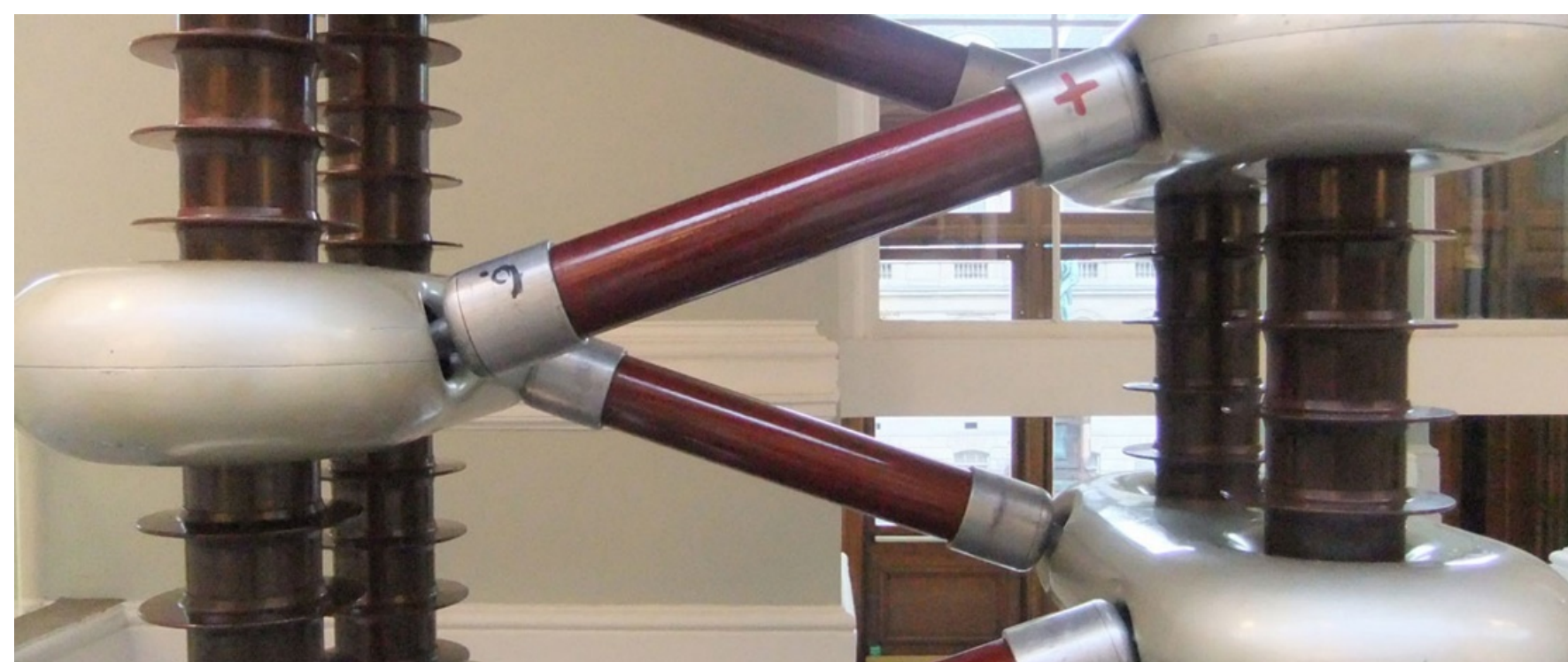
Q: Fermilab



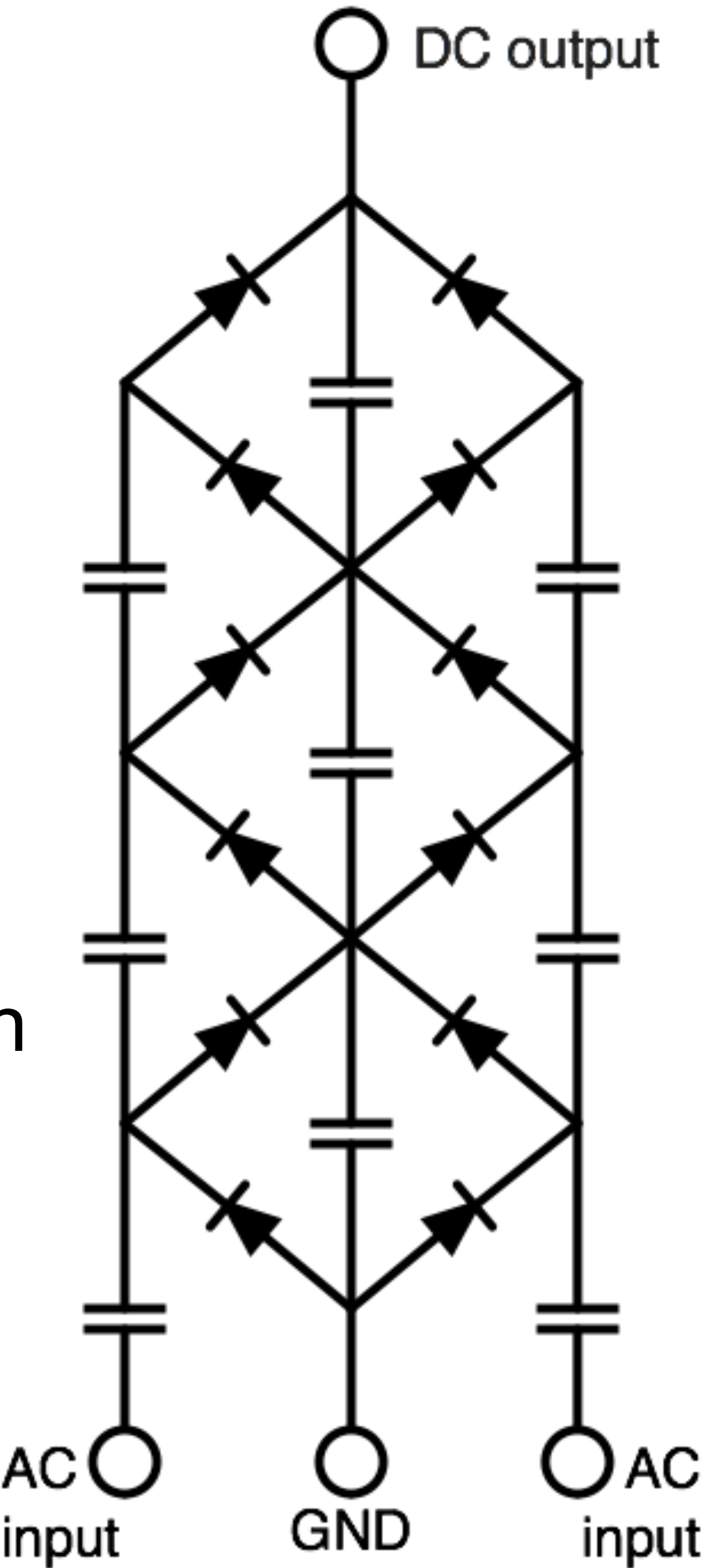
früherer CW am Fermilab

Elektrostatische Generatoren

- **Cockcroft-Walton - Generator**
 - **Spannungsvervielfältiger** auf Basis von Dioden (Gleichrichtung) & Kondensatoren
 - DC Ausgangssignal bis **1 MV**, limitiert durch elektrostatische Entladungen
 - CW's dienen (teilweise noch heute) als Injektoren



Q: nms.ac.uk



Q: wikipedia

Linearbeschleuniger – (LINAC = linear accelerator)

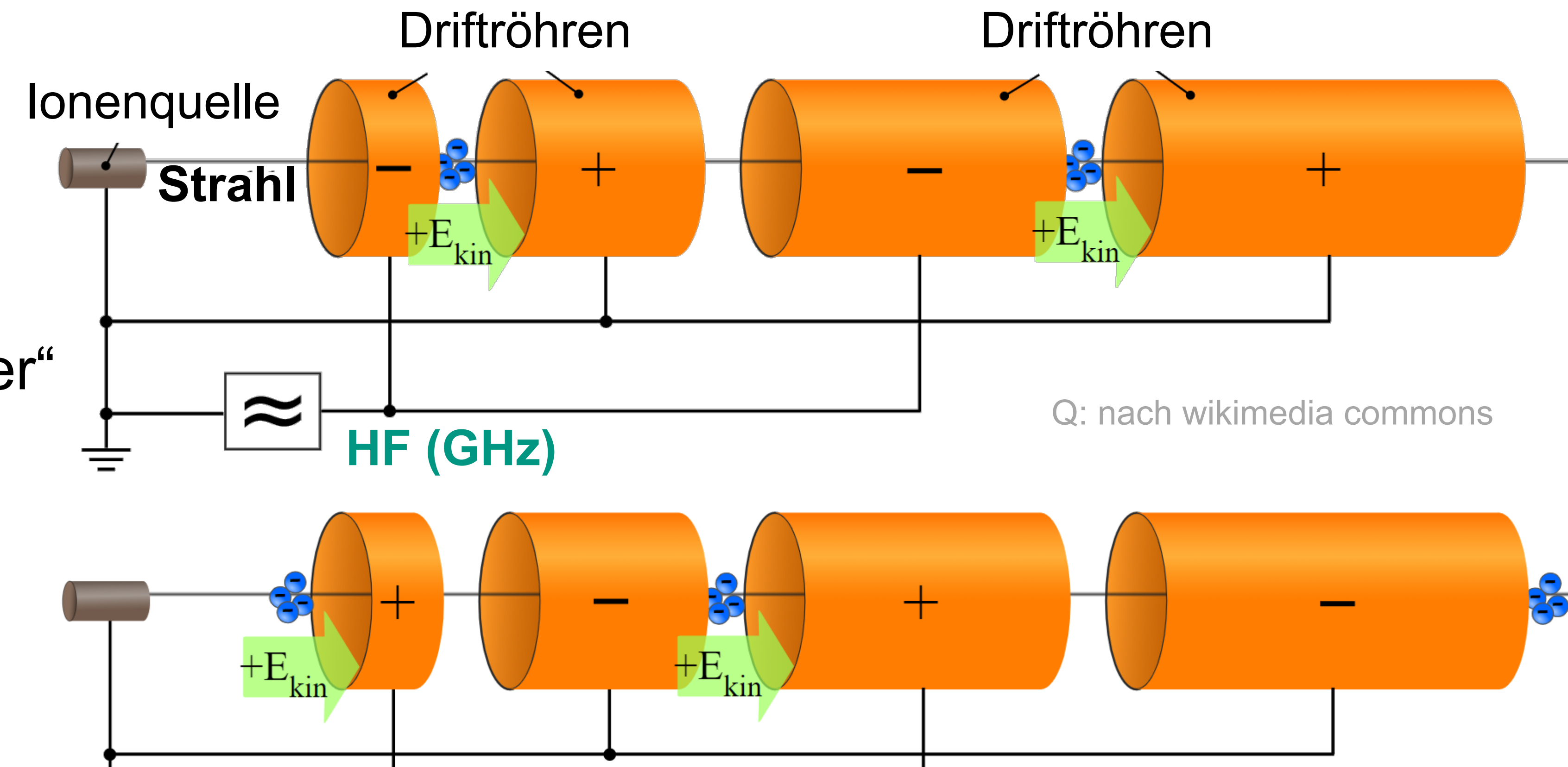
- **HF-Wechselfelder** hoher Frequenz (0,1- einige GHz) erlauben mehrfache Nutzung der Beschleunigungs-Spannung

- **LINAC** Prinzip nach

R. Wideröe

- **Beschleunigung** in den Gaps zwischen Driftröhren bei „richtiger“ HF-Polung

- **Abschirmung** in Driftröhren während „falscher“ HF-Polung



Zyklotron – der erste Ringbeschleuniger

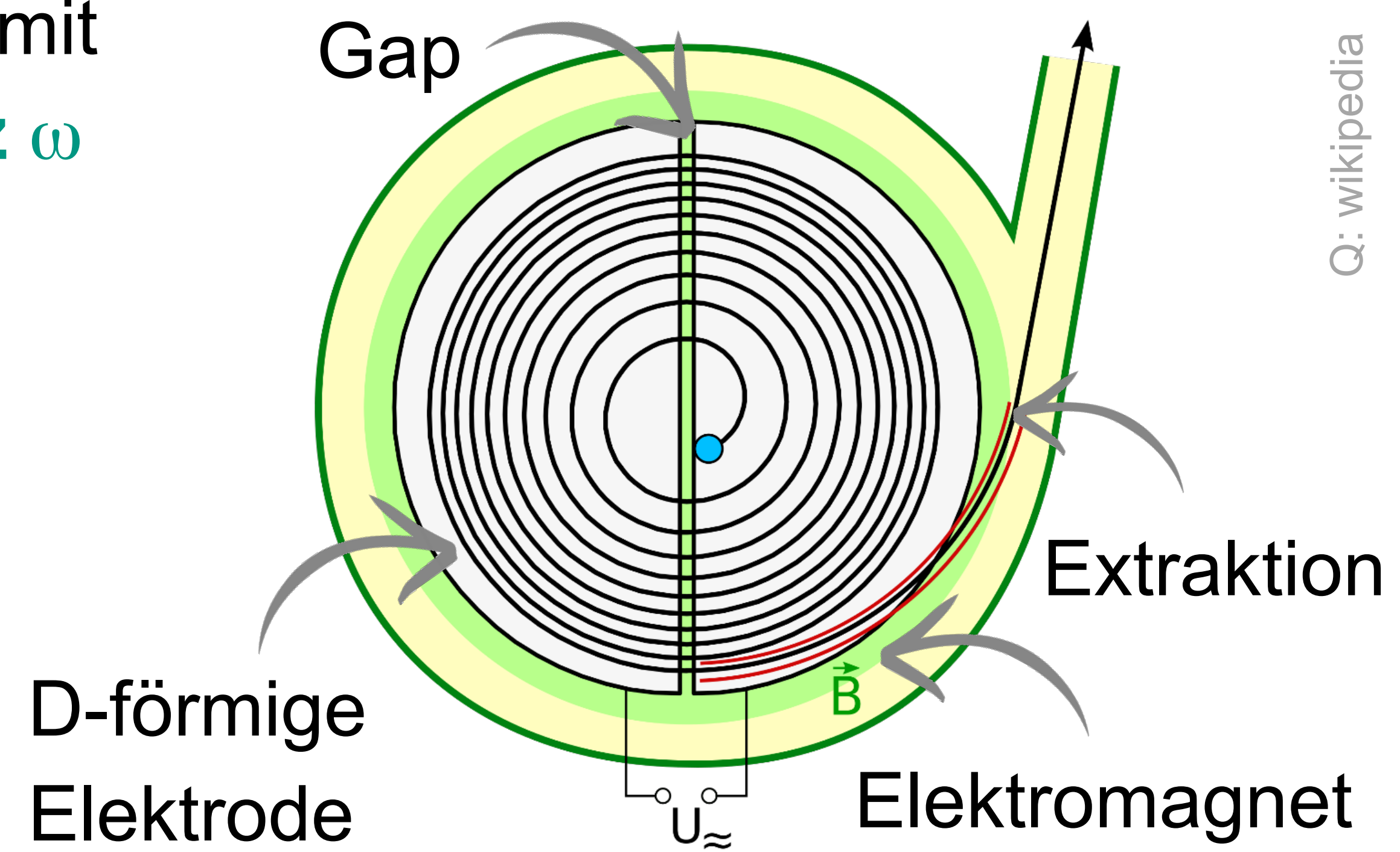
- **Aufbau & Prinzip:** geladenes Teilchen wird in der Mitte des Zyklotrons injiziert
Ablenkung: im homogenen B-Feld - Teilchen auf Spiralbahn
Beschleunigung: im **Gap** der D-förmigen Elektroden (DEEs)
Amplitude & Frequenz: U (10-1000 kV) mit
fester Zyklotron-Frequenz ω



Ernest O. Lawrence

$$\omega = \frac{q}{m} \cdot B$$

ω unabhängig von
Radius r, Impuls $m \cdot v$

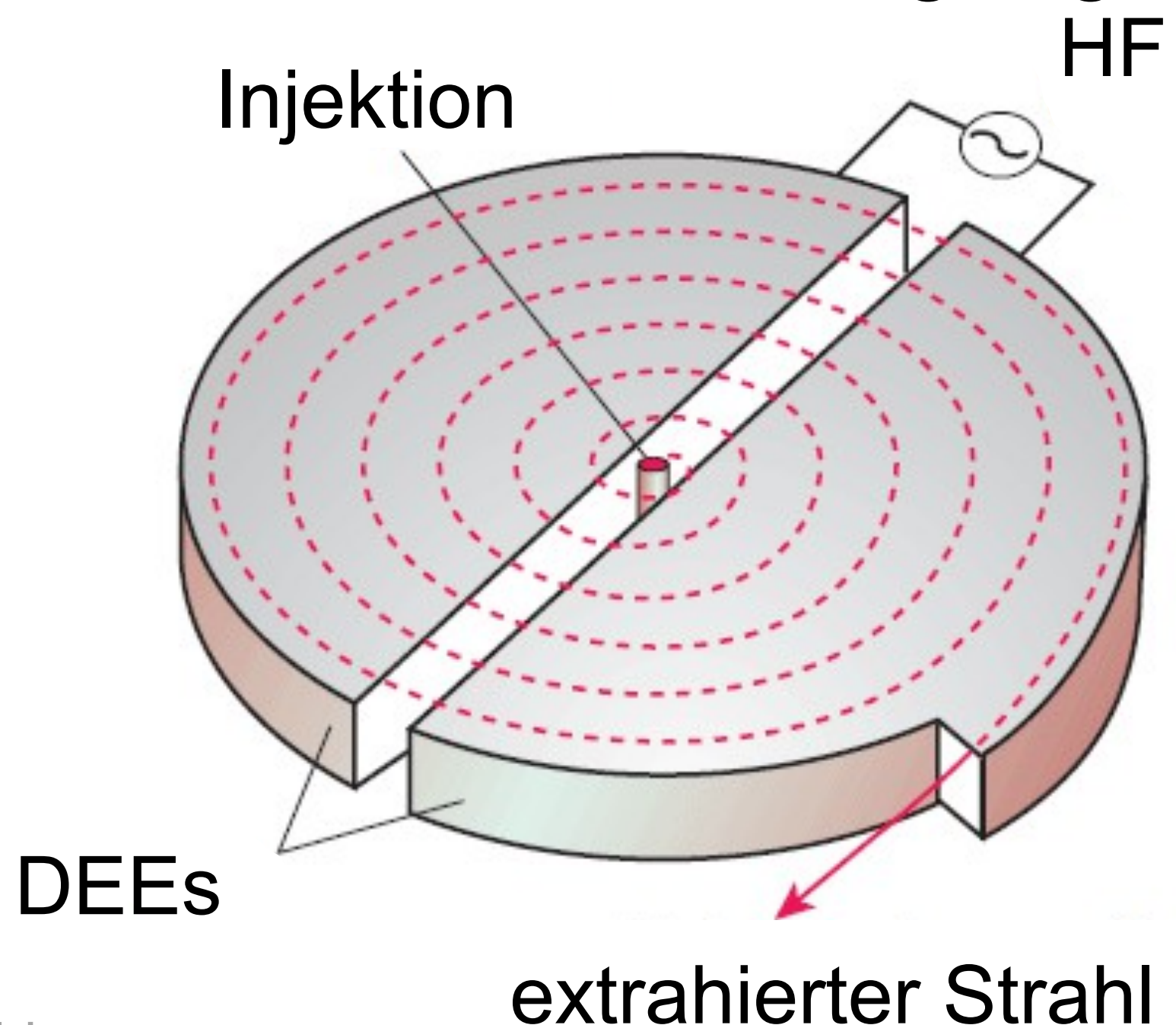


Q: wikipedia

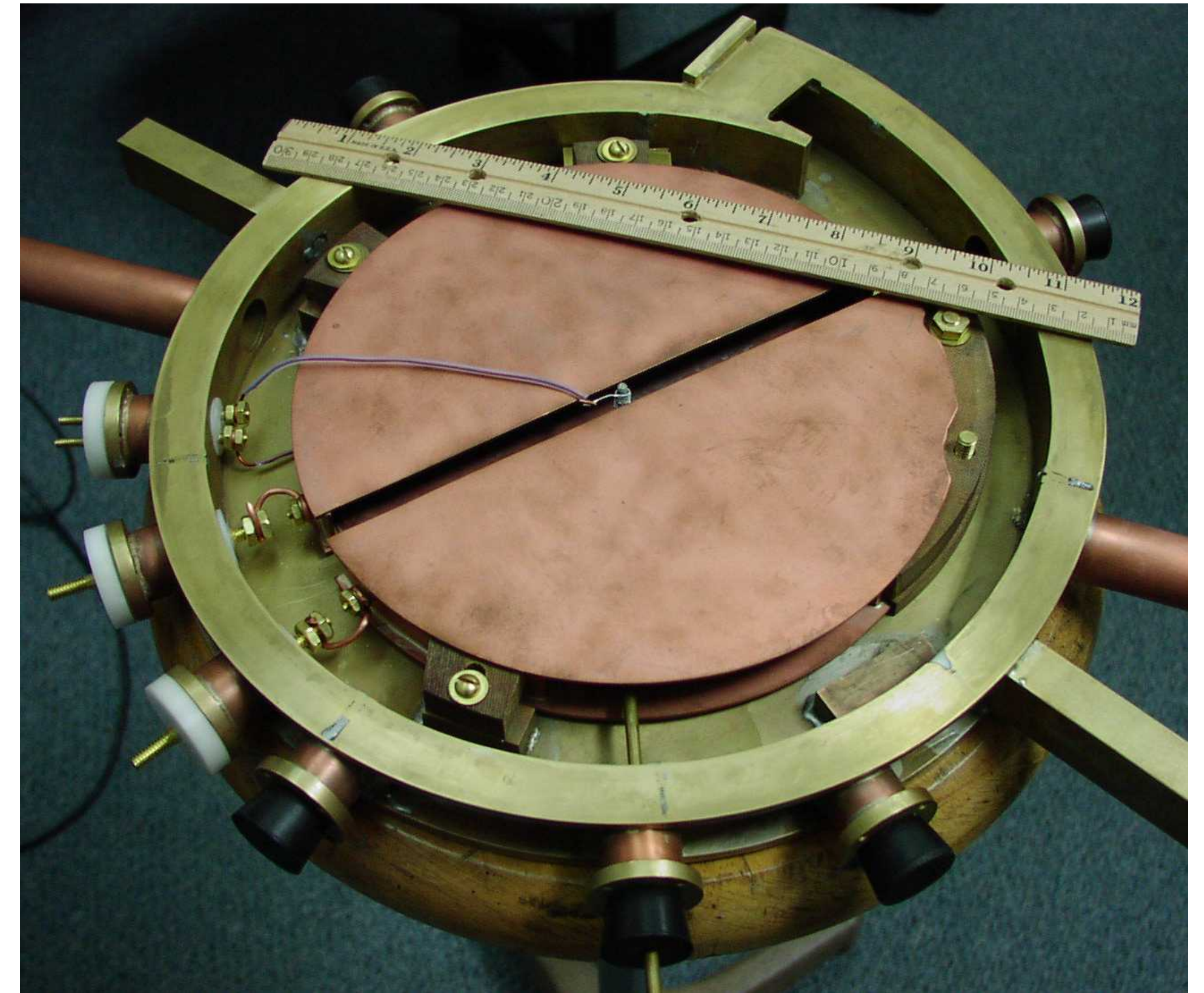
Zyklotron – Anwachsen des Radius limitiert Größe

- Prinzip: feste Beschleunigungs frequenz ω (Zyklotronfrequenz)

- lineares Anwachsen des Radius mit dem Impuls: $r \sim m \cdot v$
- festes T für Beschleunigung im Gap



Q: revisionworld



Q: U of Knoxville, student project

Synchrozyklotron

- **Relativistische Effekte: variable Beschleunigungs frequenz ω**

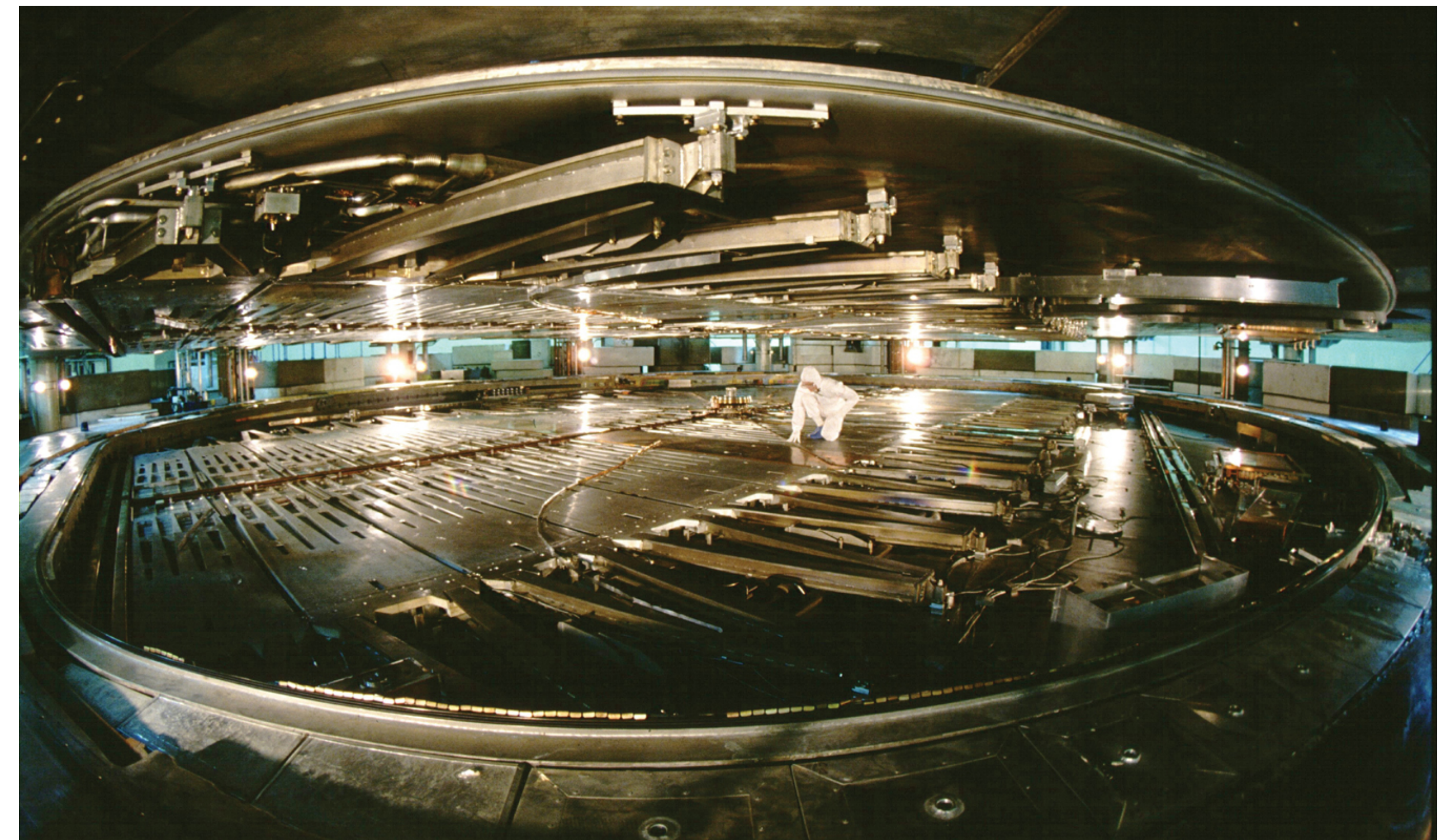
- relativistische Massenzunahme limitiert bei Protonen in einem Zyklotron Energie $E_{\max} < 20 \text{ MeV}$

- **Synchrozyklotron:** variable Frequenz ω

$$\omega = \frac{q}{\gamma \cdot m} \cdot B$$

|
relativistische
Masse

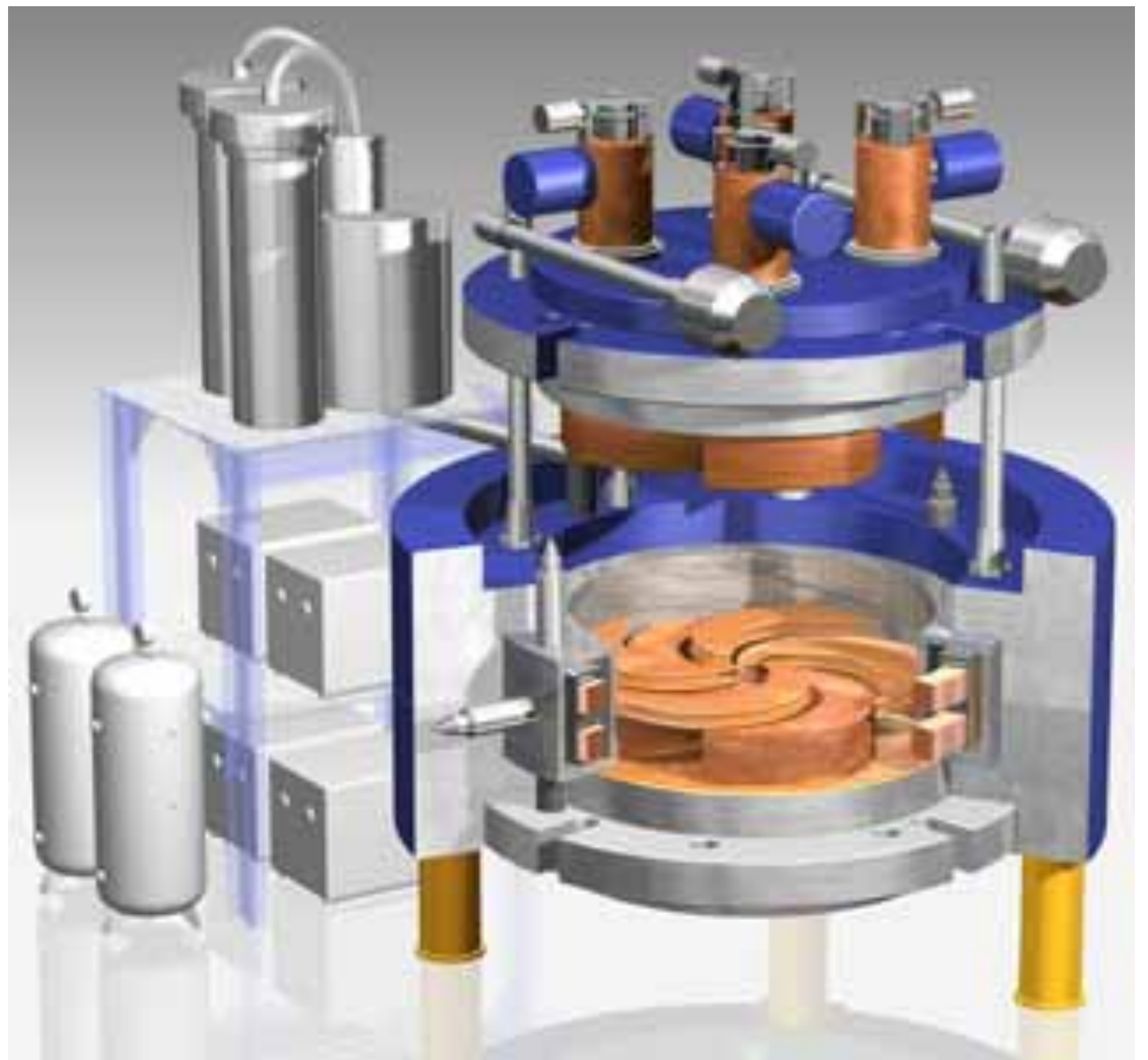
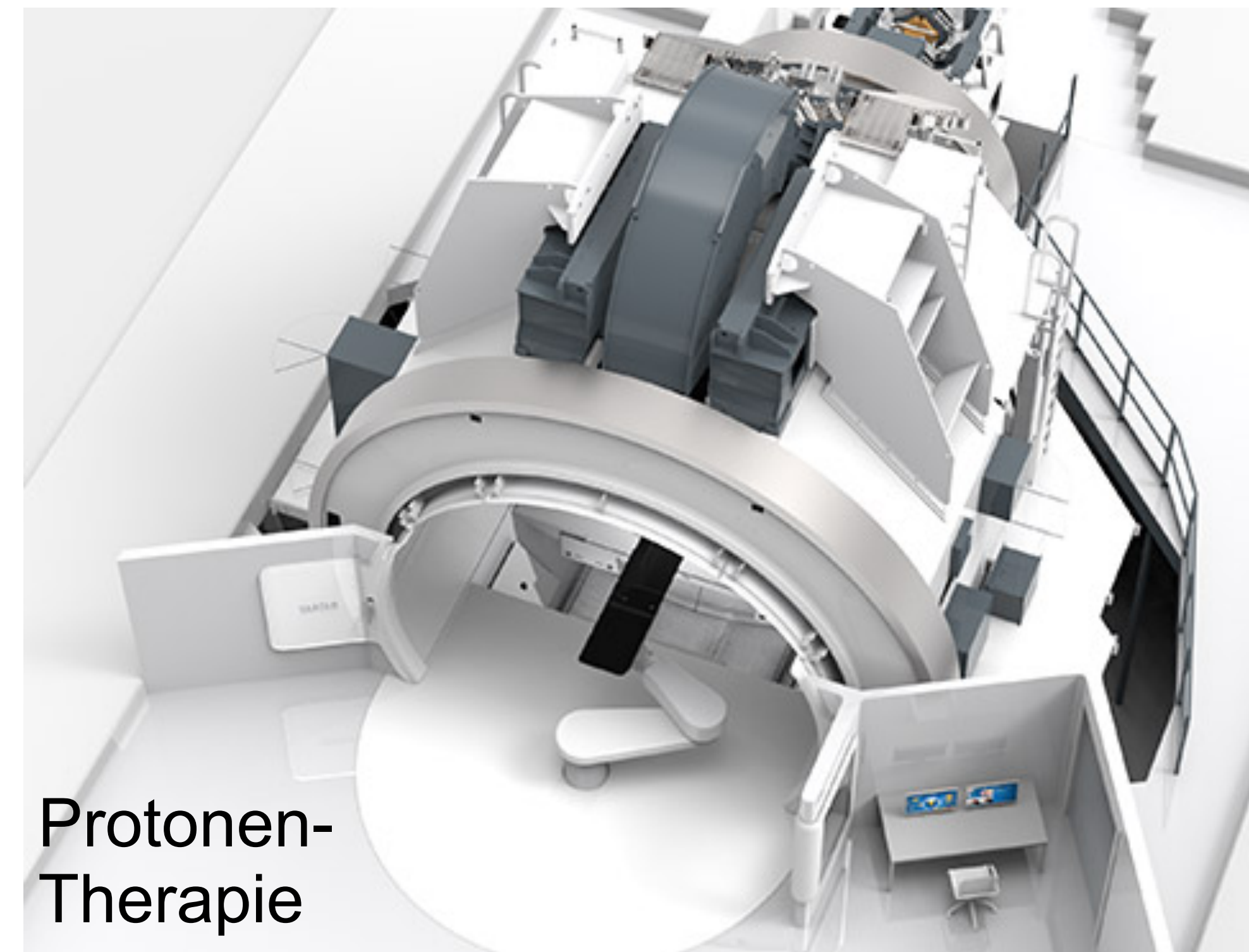
weltgrößtes Zyklotron $\varnothing = 18 \text{ m } \omega = 23 \text{ MHz}$



Q: TRIUMF Labor, Kanada

Anwendung: Medizintechnik

- **Moderne Kompakt-Zyklotrone für Radioisotope & zur Strahlentherapie**
 - Einsatz zur Erzeugung medizinisch nutzbarer Radioisotope (^{99m}Tc) & für Protonentherapie

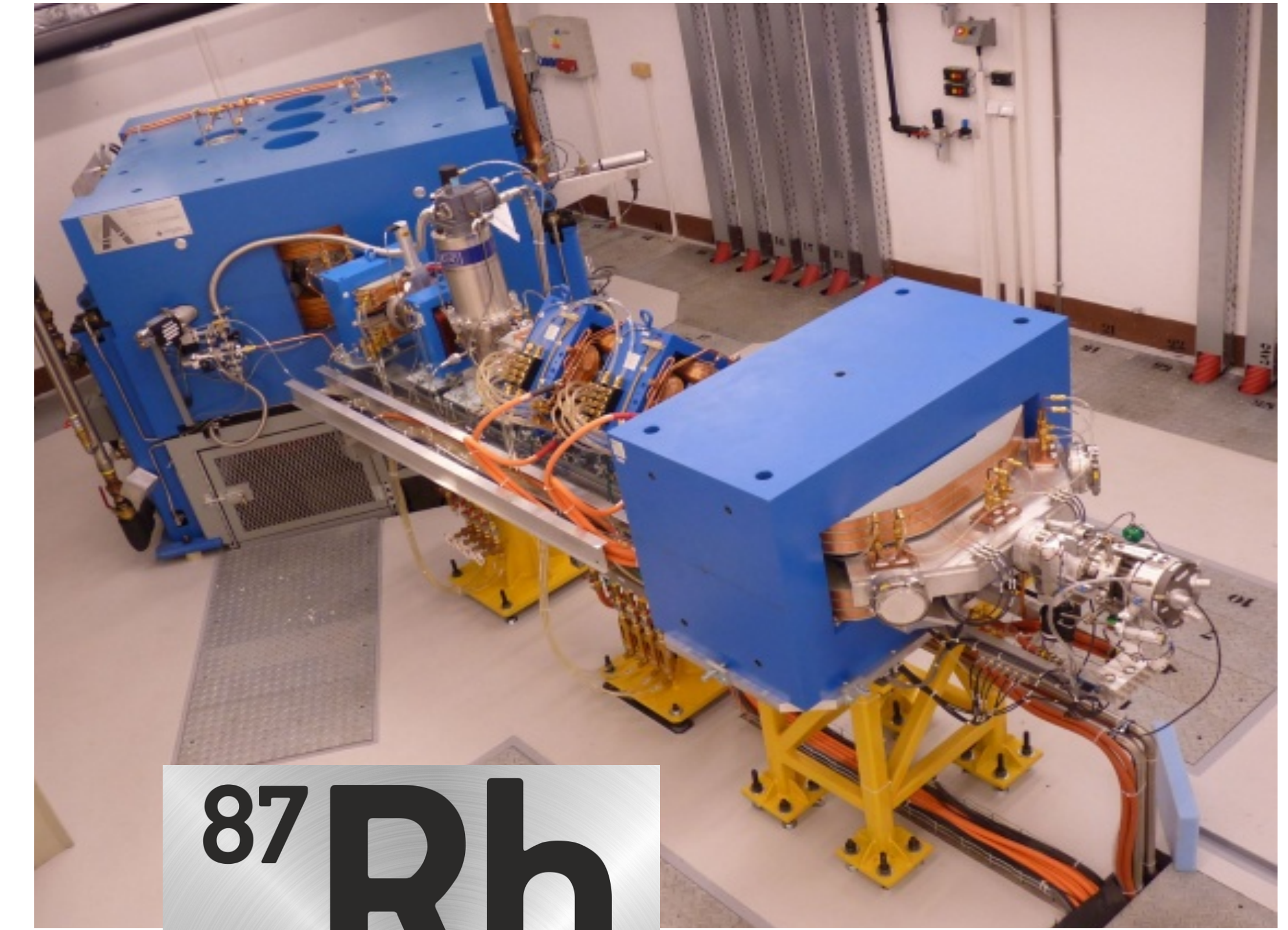


Anwendung: spezielles Isotop für KATRIN

- Zyklotron in Rez produziert p für ^{83}Rb -Eichquelle für KATRIN (10 GBq) monoenergetische Elektronen aus $^{83\text{m}}\text{Kr}$ -Tochterisotop



Q: NPI Rez bei Prag



Synchrotron – Aufbau & Prinzip

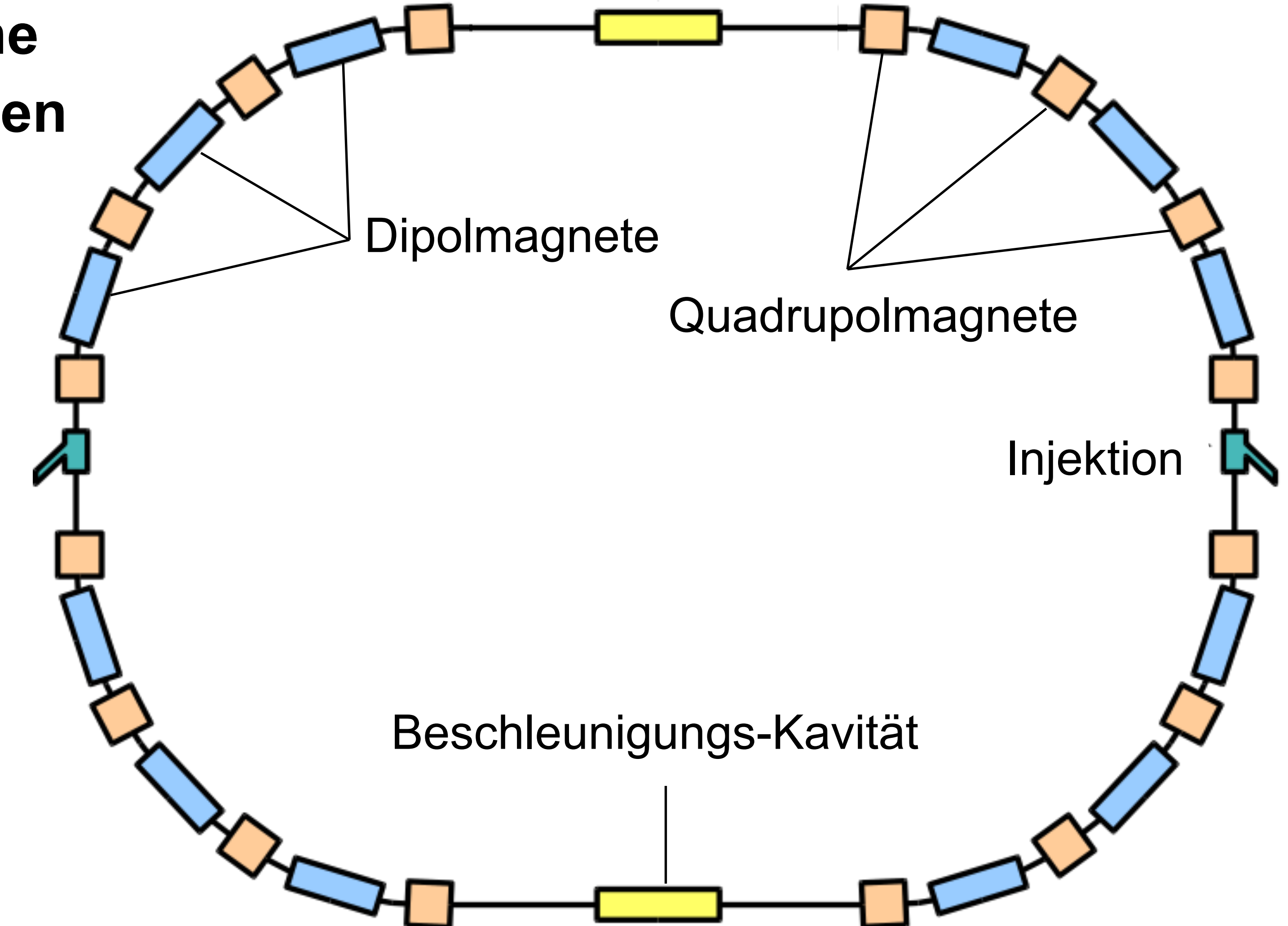
- Synchrotron: das magnetische Führungsfeld für den gepulsten Teilchenstrahl wird **synchro**n mit der anwachsenden Teilchenenergie E hochgefahren

- zentrale Elemente:

Dipolmagnete

Quadrupolmagnete

Beschleunigungskavitäten

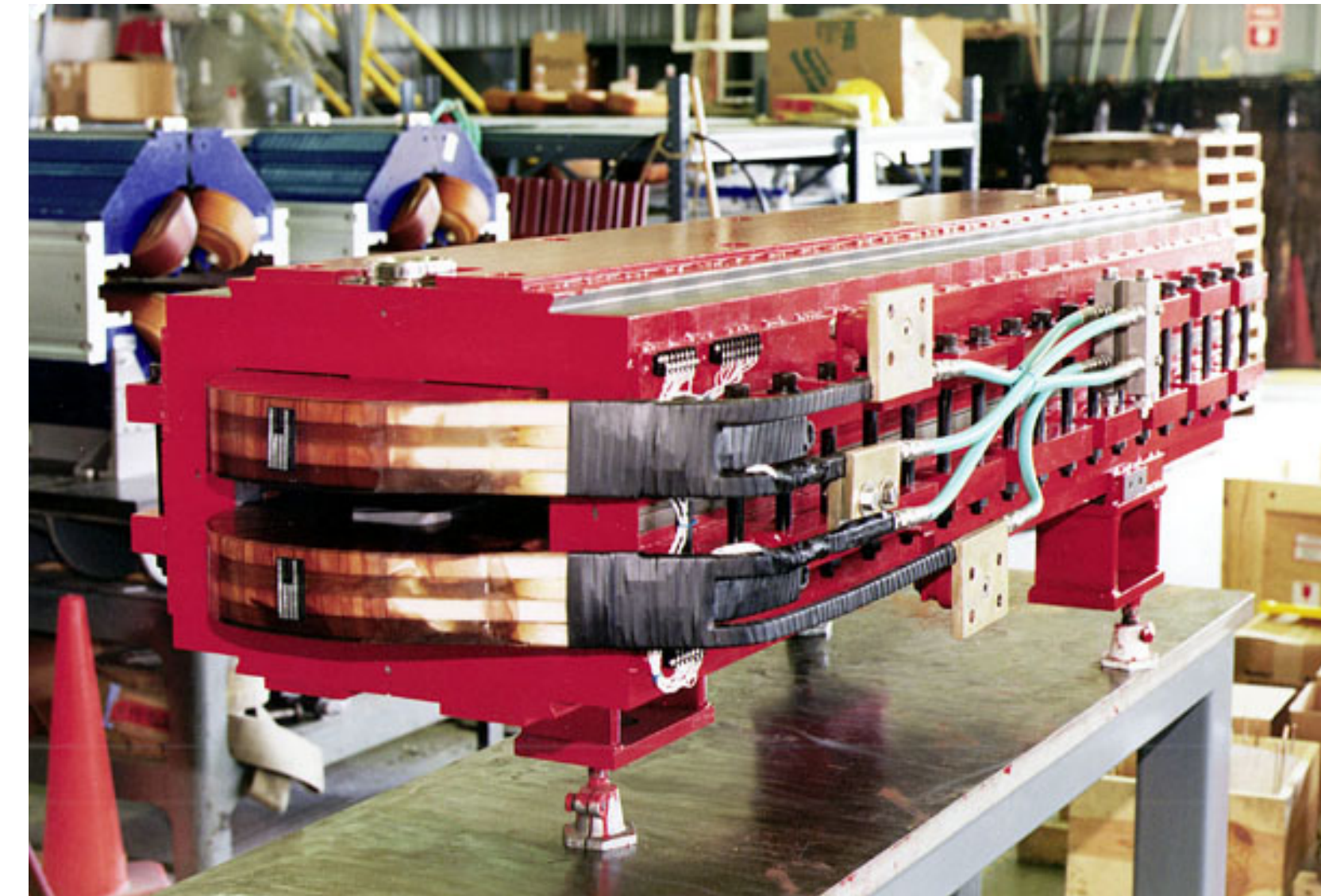
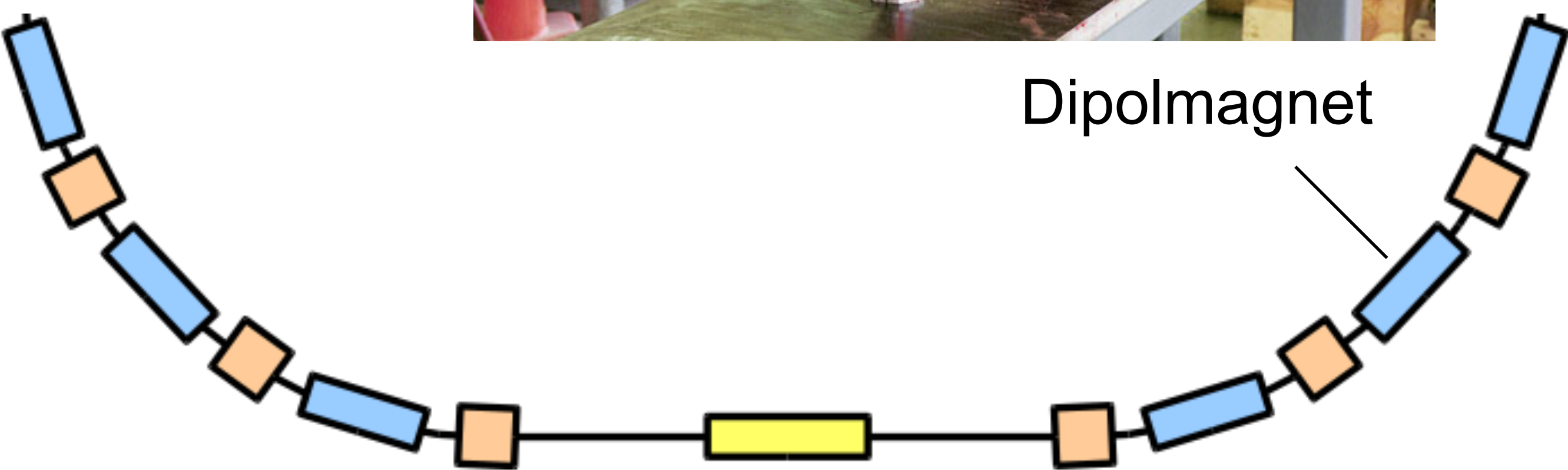
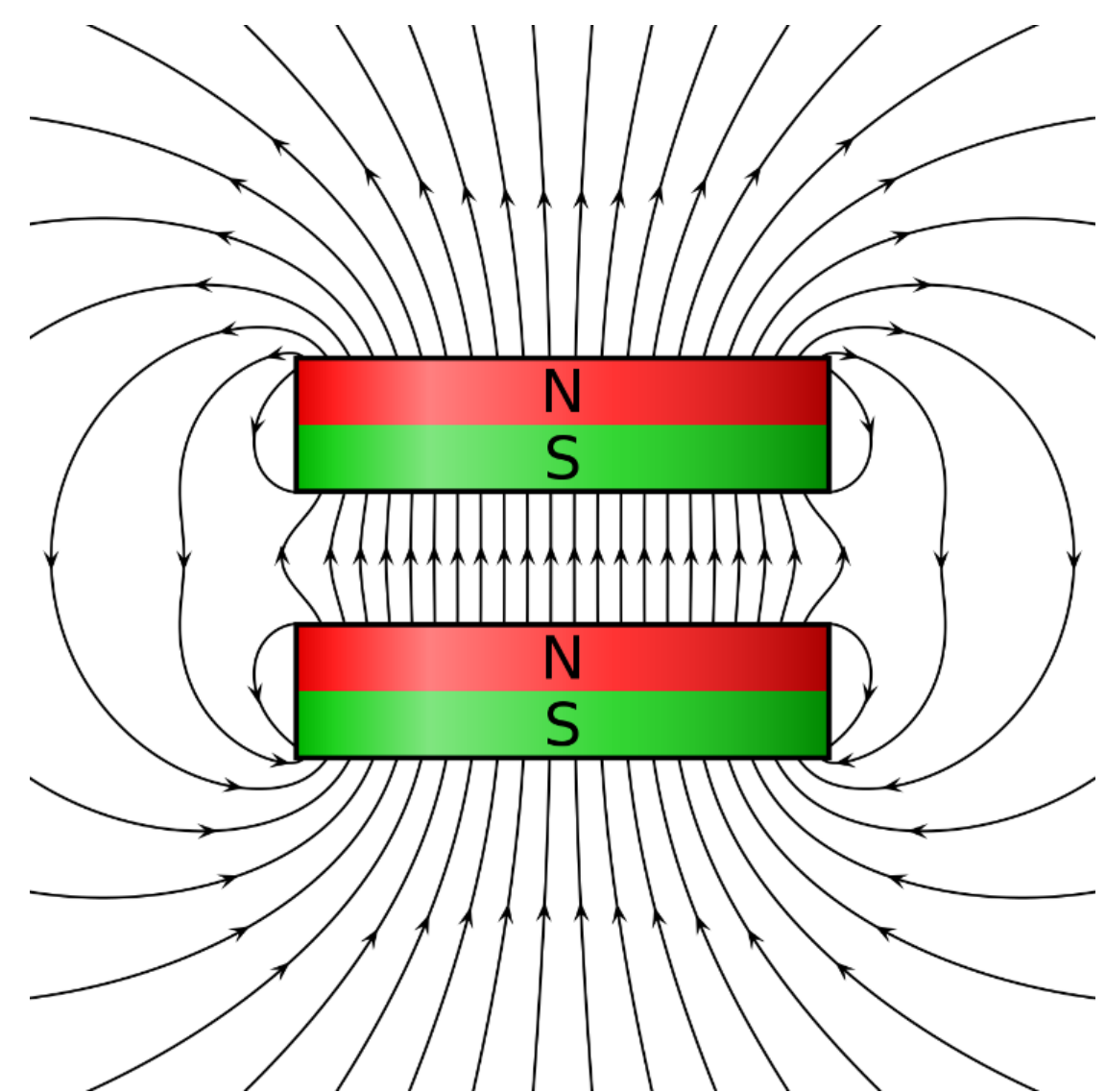


Element Dipolmagnet

- Dipolmagnet: Ablenkung des Teilchenstrahls mit festem Radius R
 - homogenes B-Feld für Sollradius r

$$p = r \cdot q \cdot B$$

Teilchenimpuls | Dipolfeld B
Teilchenladung q
Synchrotronradius r



Element Dipolmagnet

- Dipolmagnet: Ablenkung des Teilchenstrahls mit festem Radius R
 - homogenes B-Feld für Sollradius r

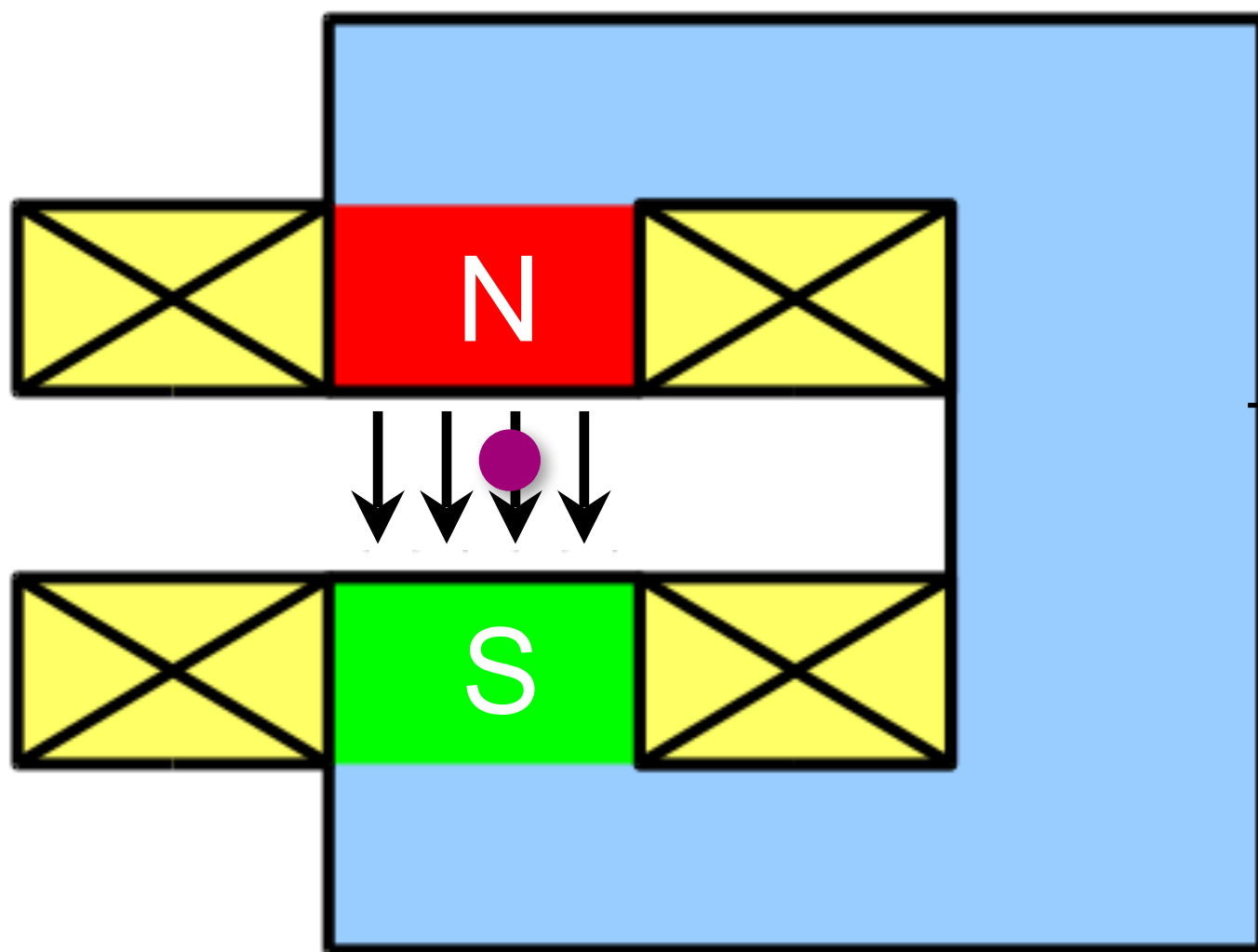
$$p = r \cdot q \cdot B$$



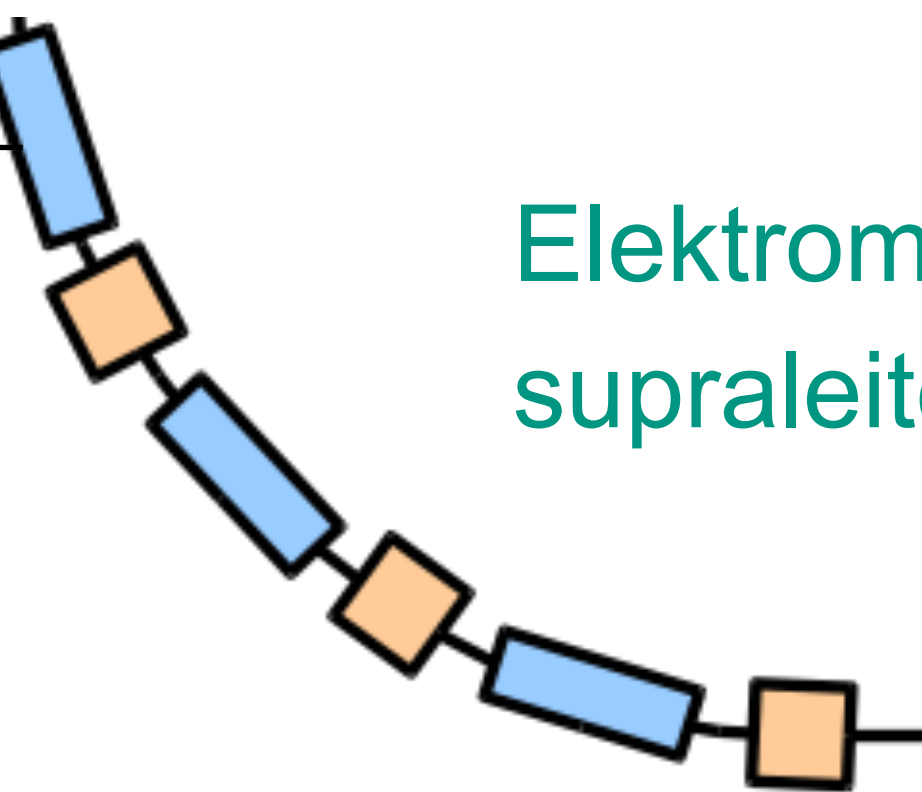
$$c \cdot p = c \cdot r \cdot z \cdot B$$

$$q = e \cdot z$$

$$= 3 \cdot 10^8 \text{ m/s} \cdot r [\text{m}] \cdot z \cdot B [\text{T}]$$



$$p [GeV/c] = 0,3 \cdot z \cdot B [T] \cdot r [m]$$



Elektromagnet (Eisenjoch)
supraleitender Magnet (LHC)

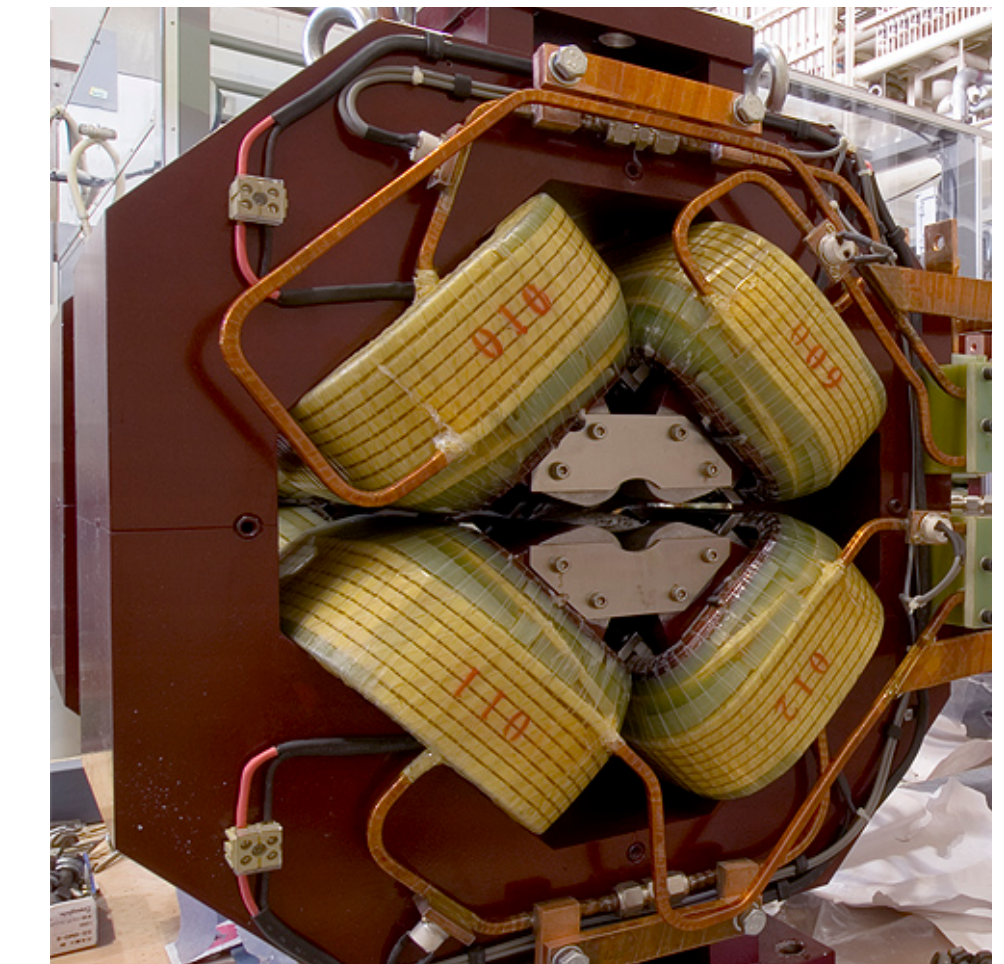
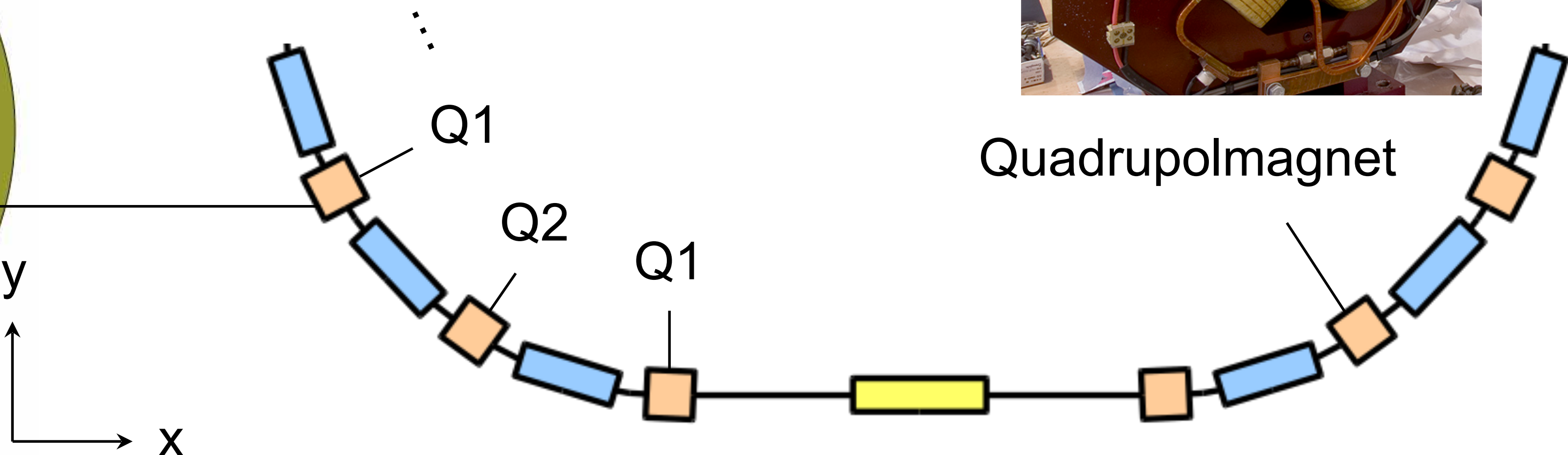
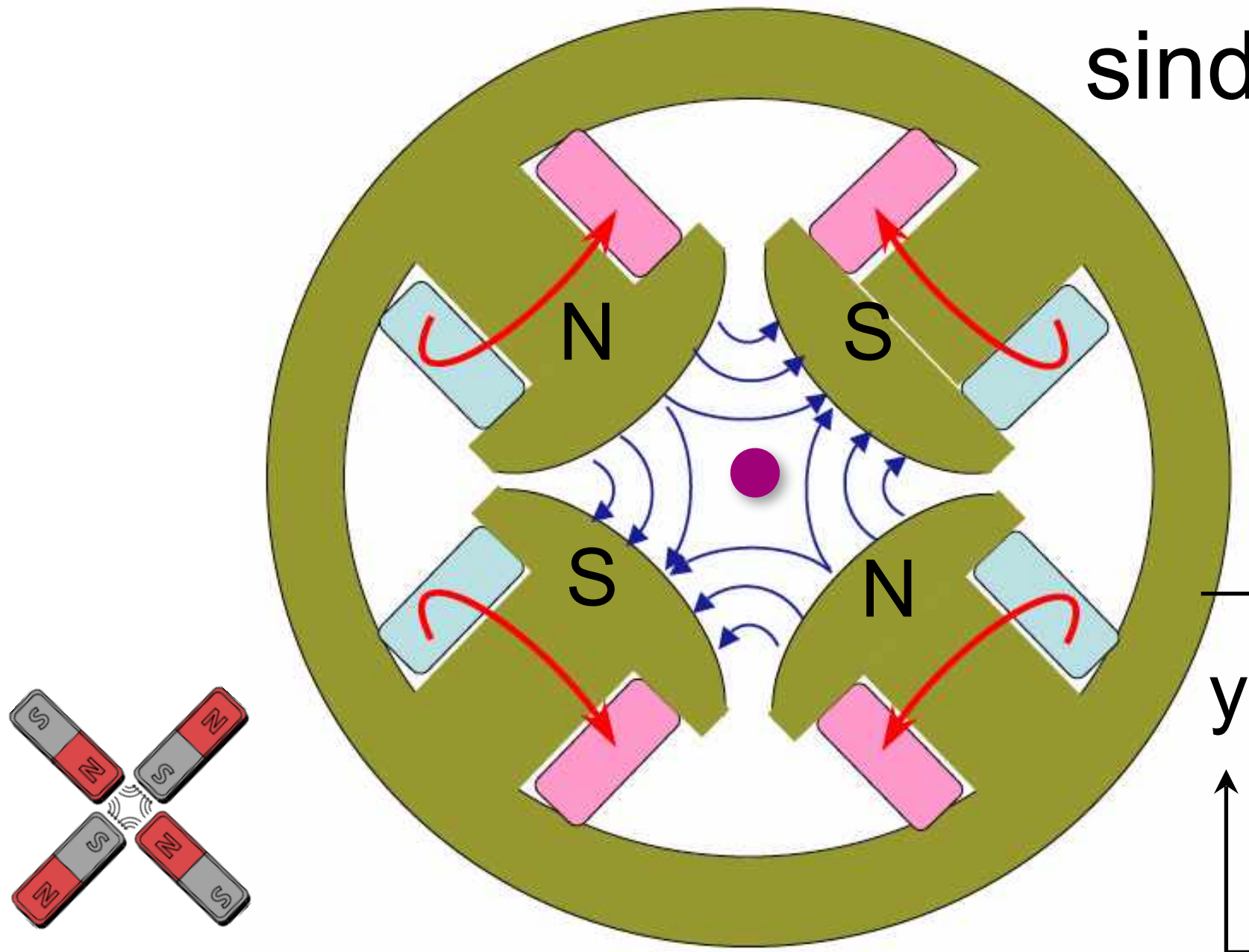
$B \sim 1 \text{ T}$
 $B \sim 9 \text{ T}$

aus B, r folgt Teilchenimpuls p

Element Quadrupolmagnet

- **Quadrupolmagnete: starke Fokussierung des Teilchenstrahls auf Sollbahn**
 - Q1: Fokussierung in x, Defokussierung in y
 - Q2: Defokussierung in x, Fokussierung in y
 - gegeneinander gedrehte Quadropole Q1, Q2

sind in **beide** Richtungen fokussierend

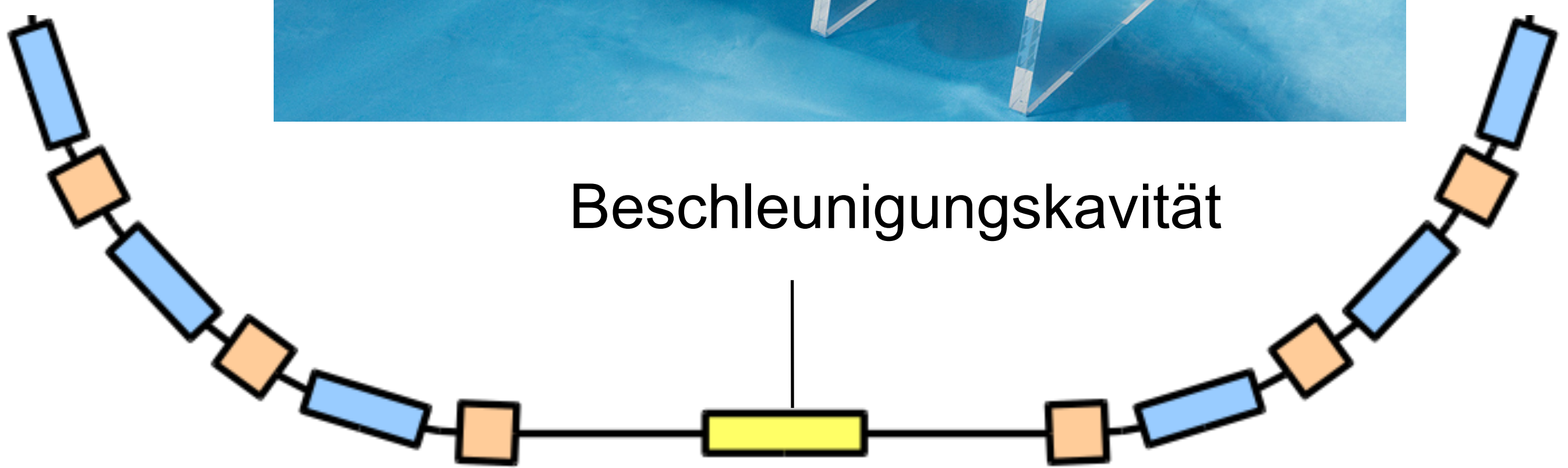
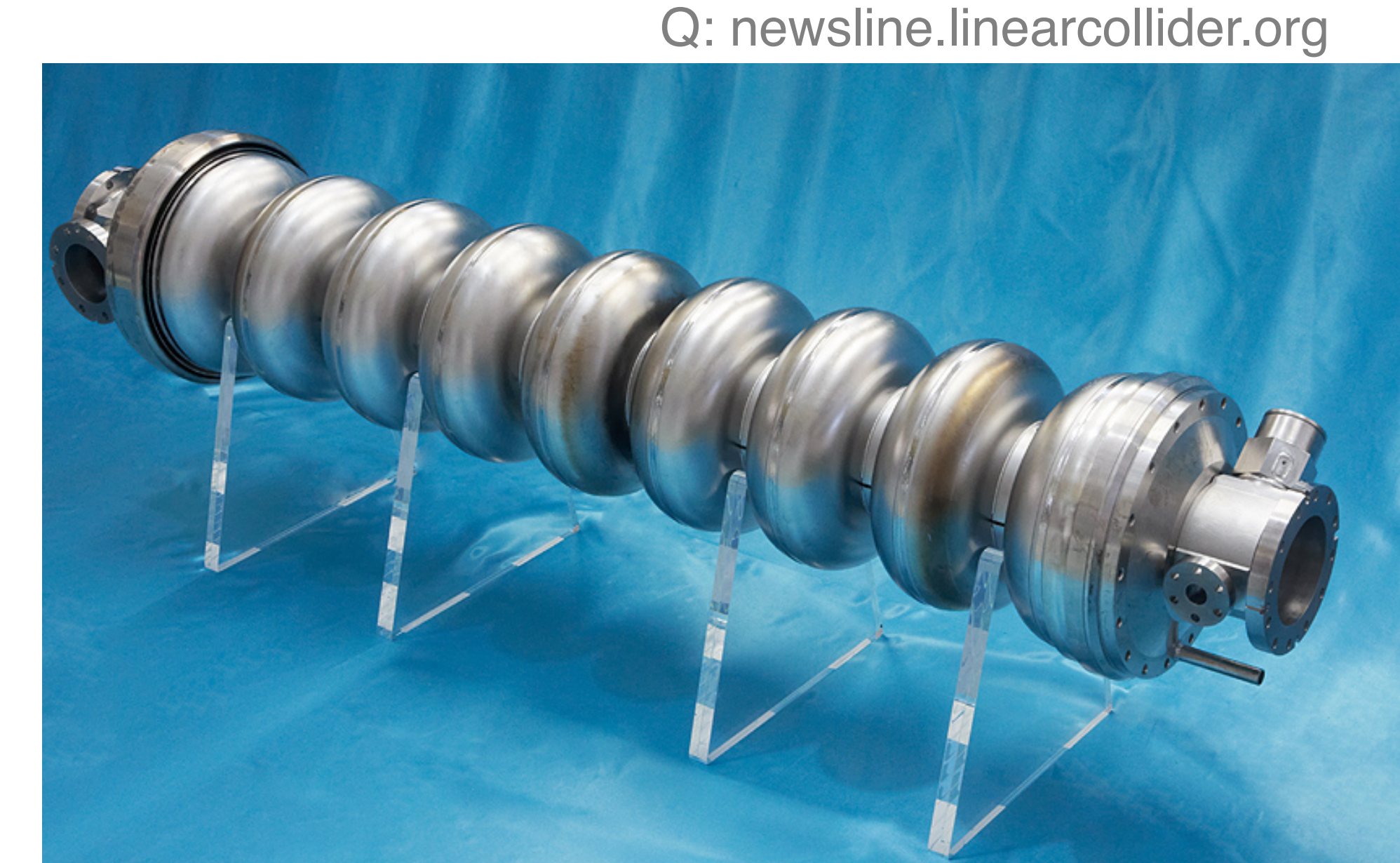
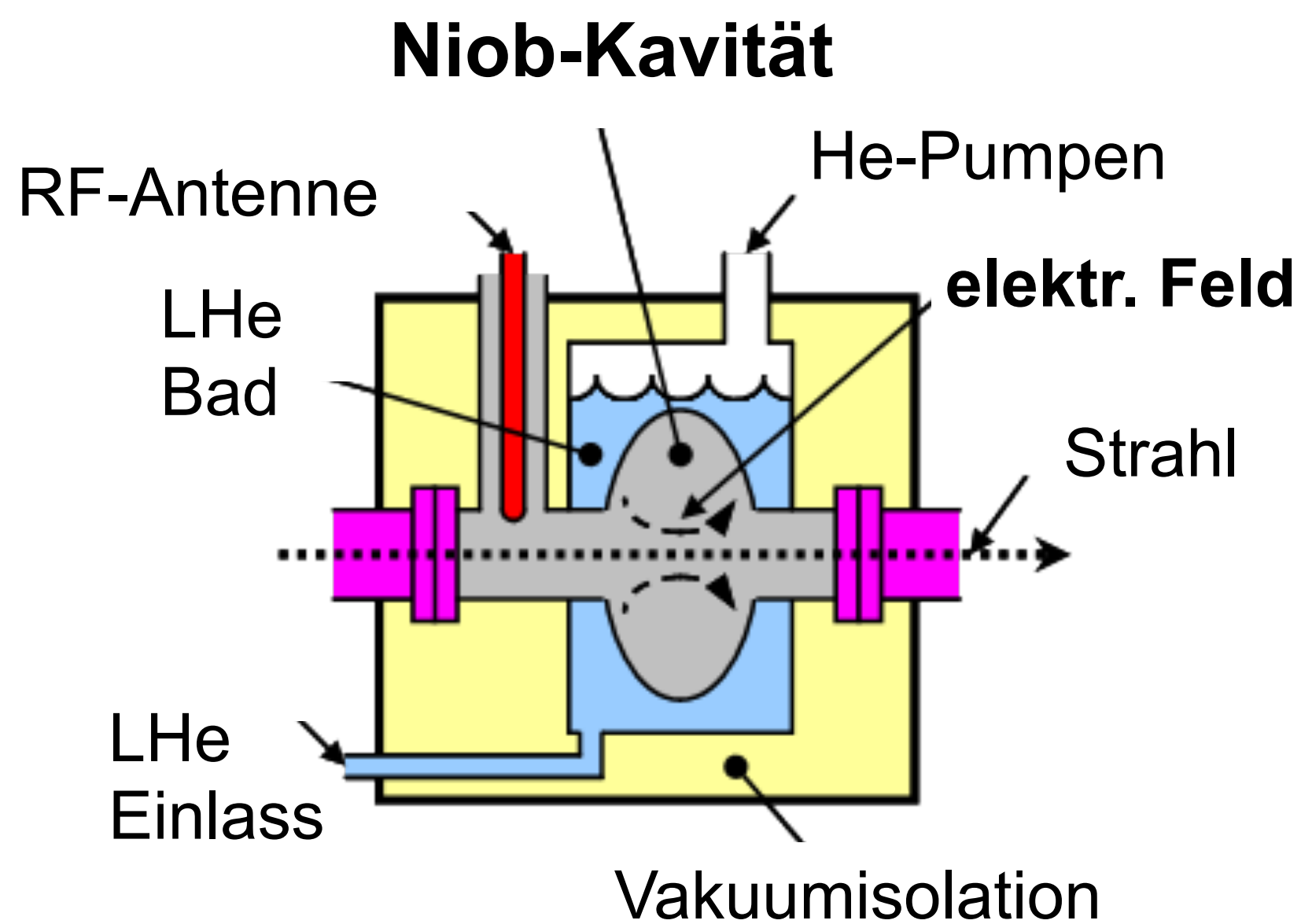


Quadrupolmagnet

Element Kavität (Hohlraumresonator)

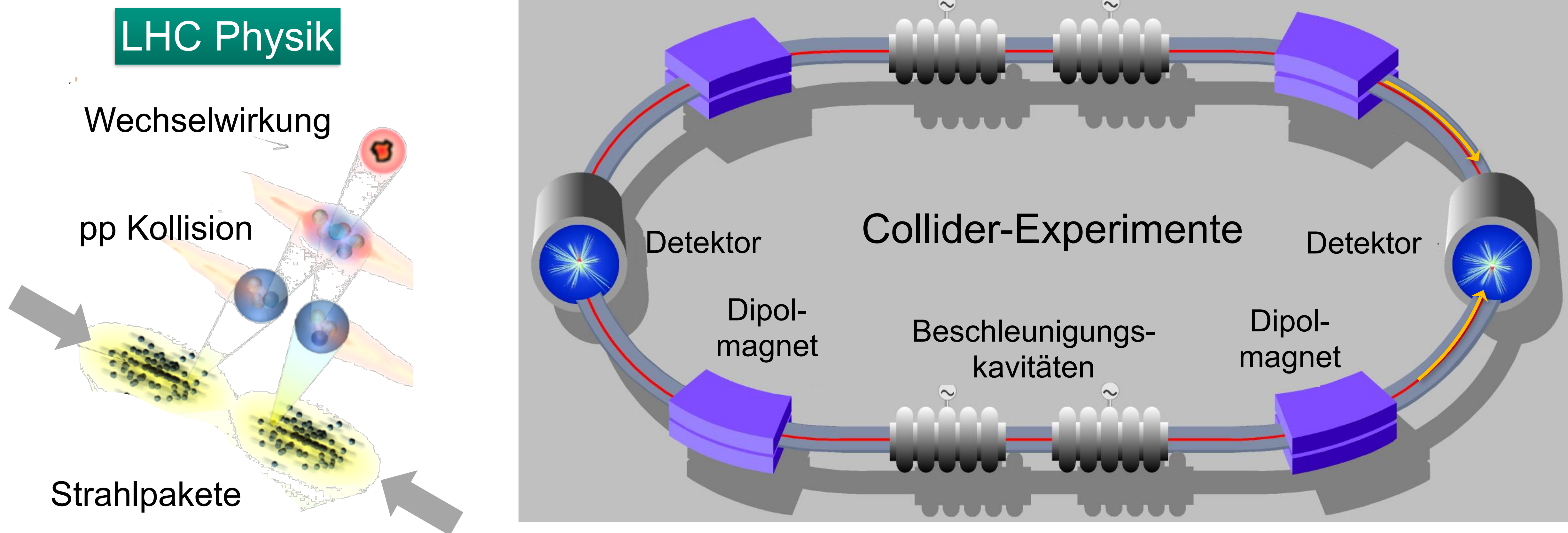
- **Kavität: Anregung resonanter elektrischer Felder via HF-Einkopplung**

- Beschleunigung: TM01 Mode
- normalleitend (Cu@300 K): **Verluste**
- supraleitend (Niob@1,8 K): **$Q = 10^{10}$**



Collider-Experimente

- **Collider – Kollision von gegenläufigen Teilchenstrahlen (Bunches)**
 - Lepton-Collider: $e^+ e^-$ (LEP), Hadron-Collider: $p p$ (LHC) oder $p \bar{p}$ (SPS)



Beschleuniger weltweit: USA



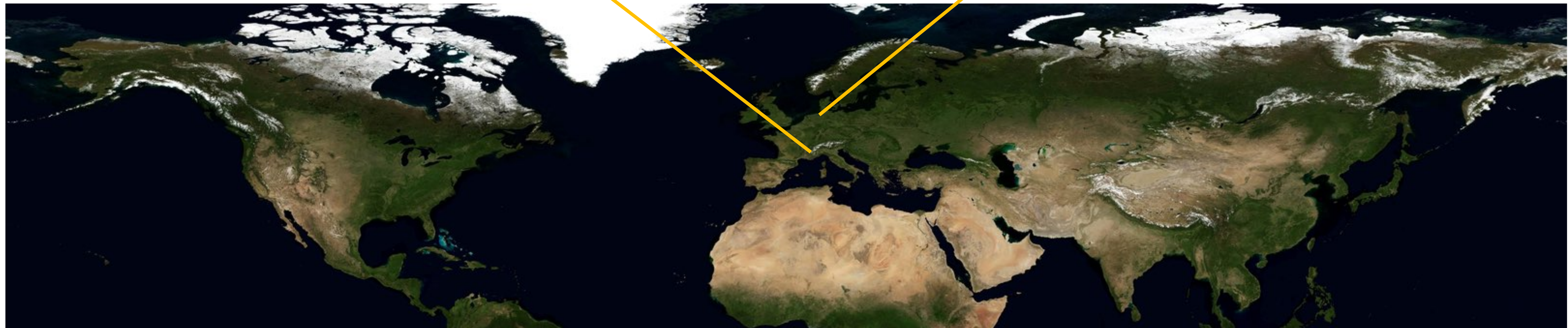
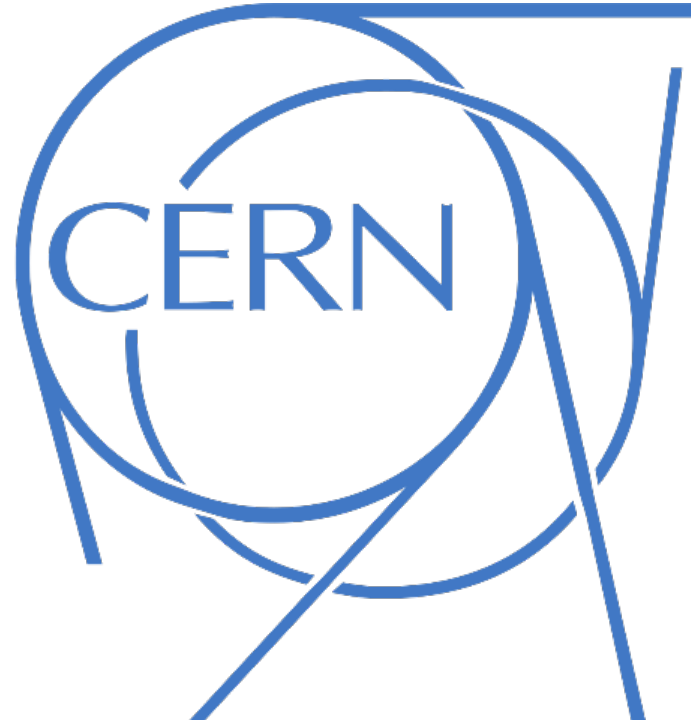
SLAC
NATIONAL
ACCELERATOR
LABORATORY
Standford Linear
Accelerator

Fermilab
Tevatron



Beschleuniger weltweit: Europa

Large Hadron Collider - LHC



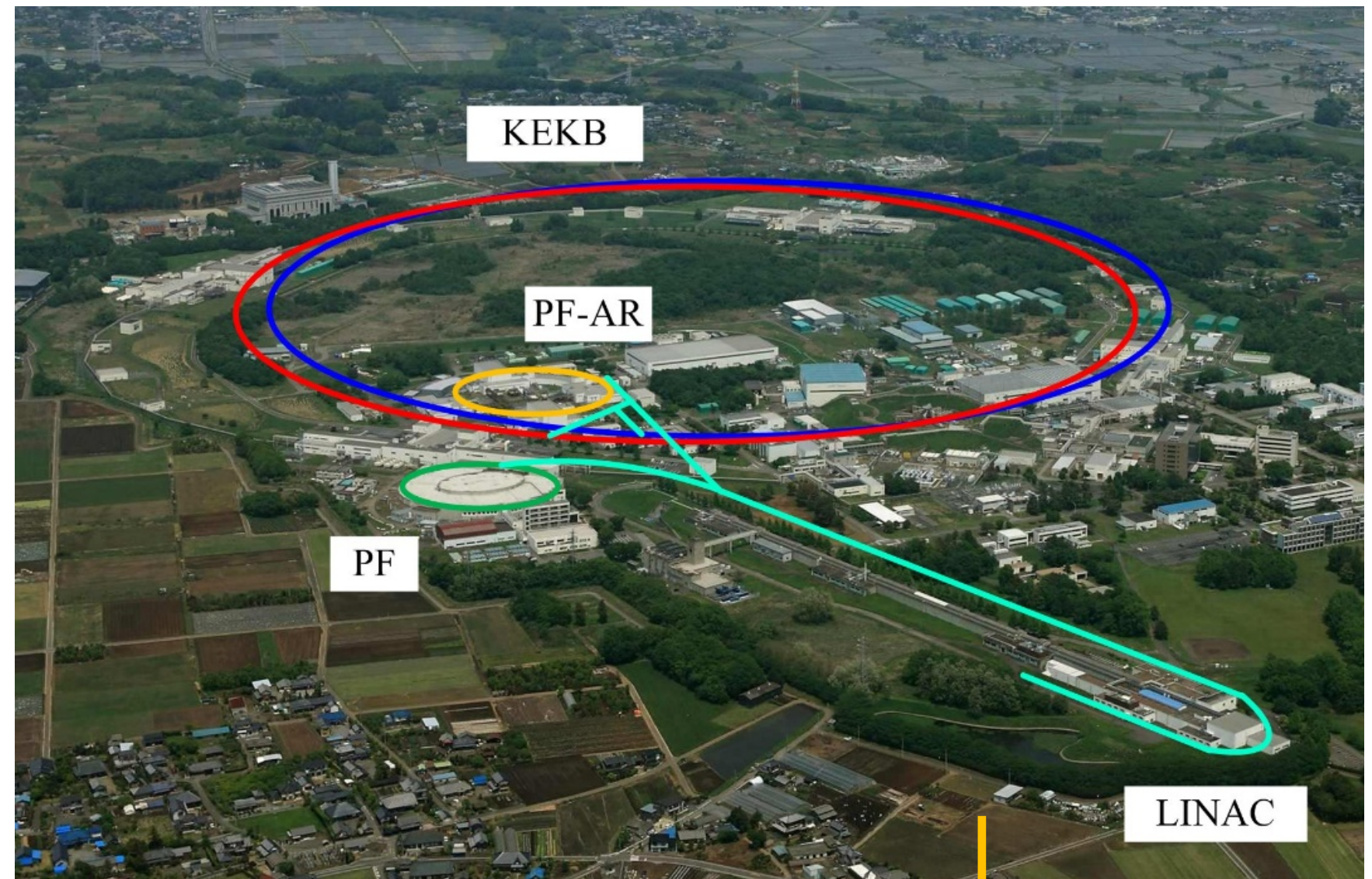
Beschleuniger weltweit: Asien



BEPC II



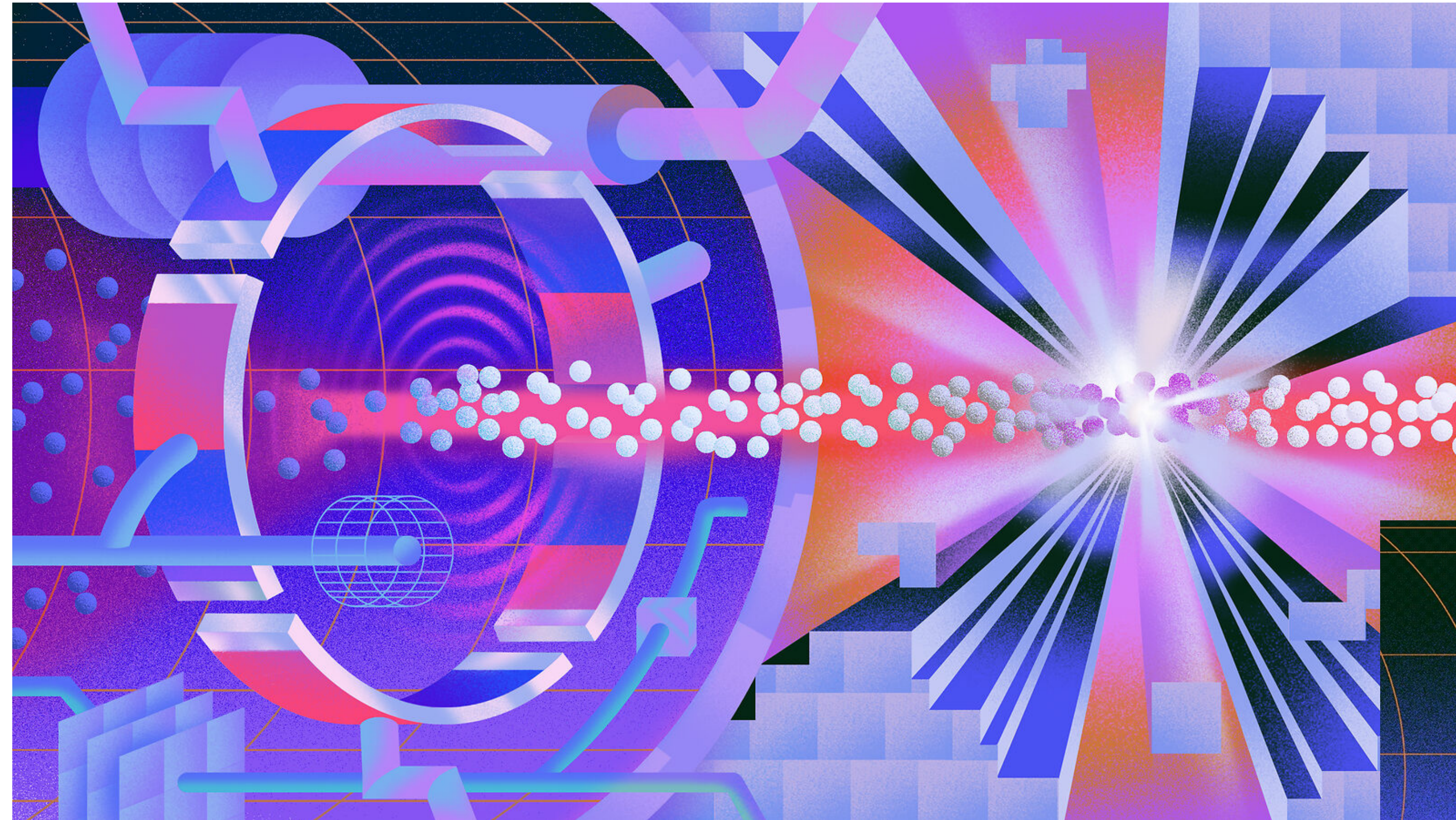
Super-KEKB



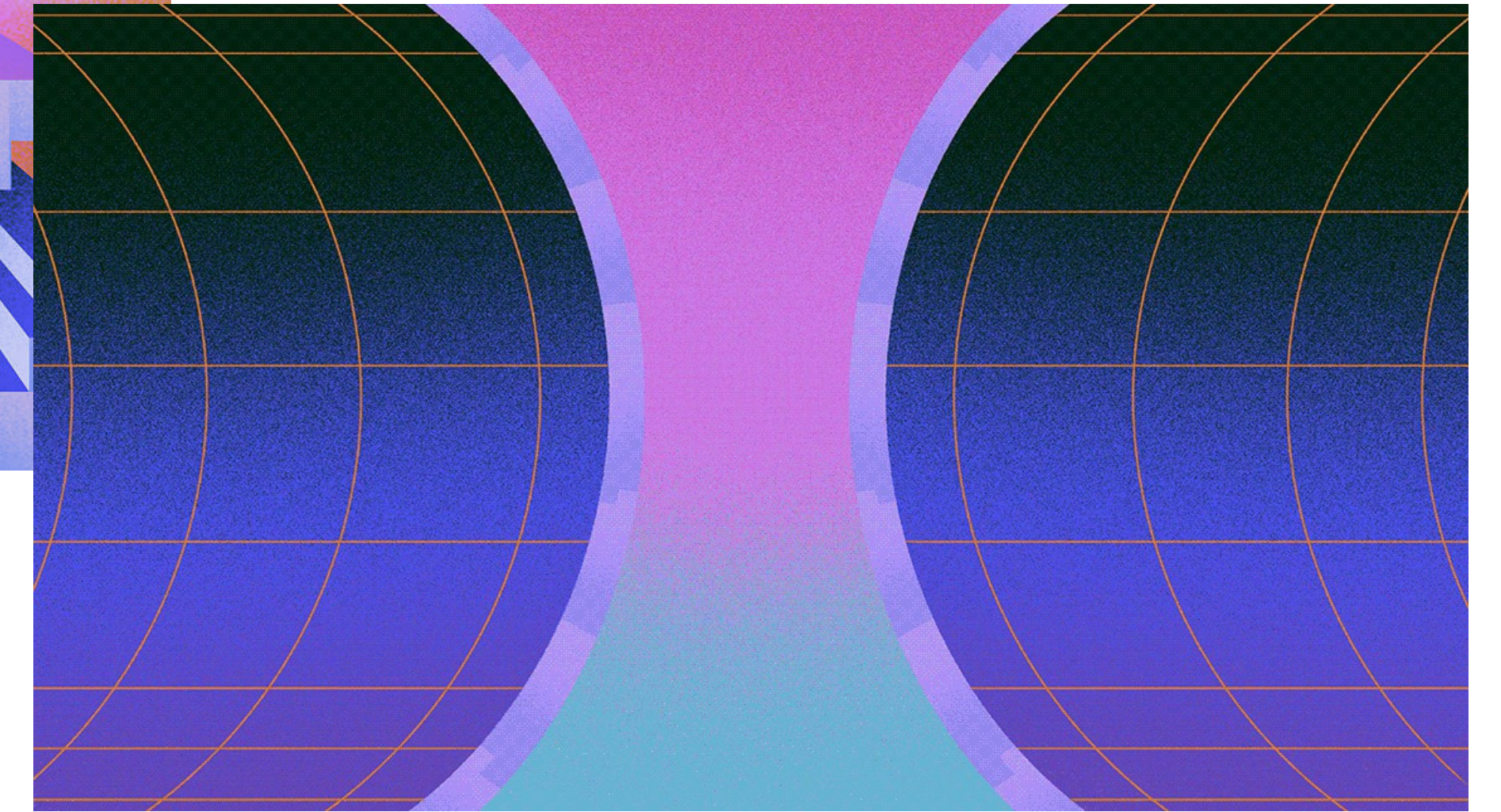
LHC – Large Hadron Collider

- Proton – Proton Kollisionen bei Schwerpunktsenergie $\sqrt{s} = 13.6 \text{ TeV}$





EINSCHUB: LUMINOSITÄT



Q: symmetry magazine

■ Coco



Collider-Experimente: Luminosität

- **Luminosität L – wichtiges Merkmal für die Leistungsfähigkeit eines Colliders**

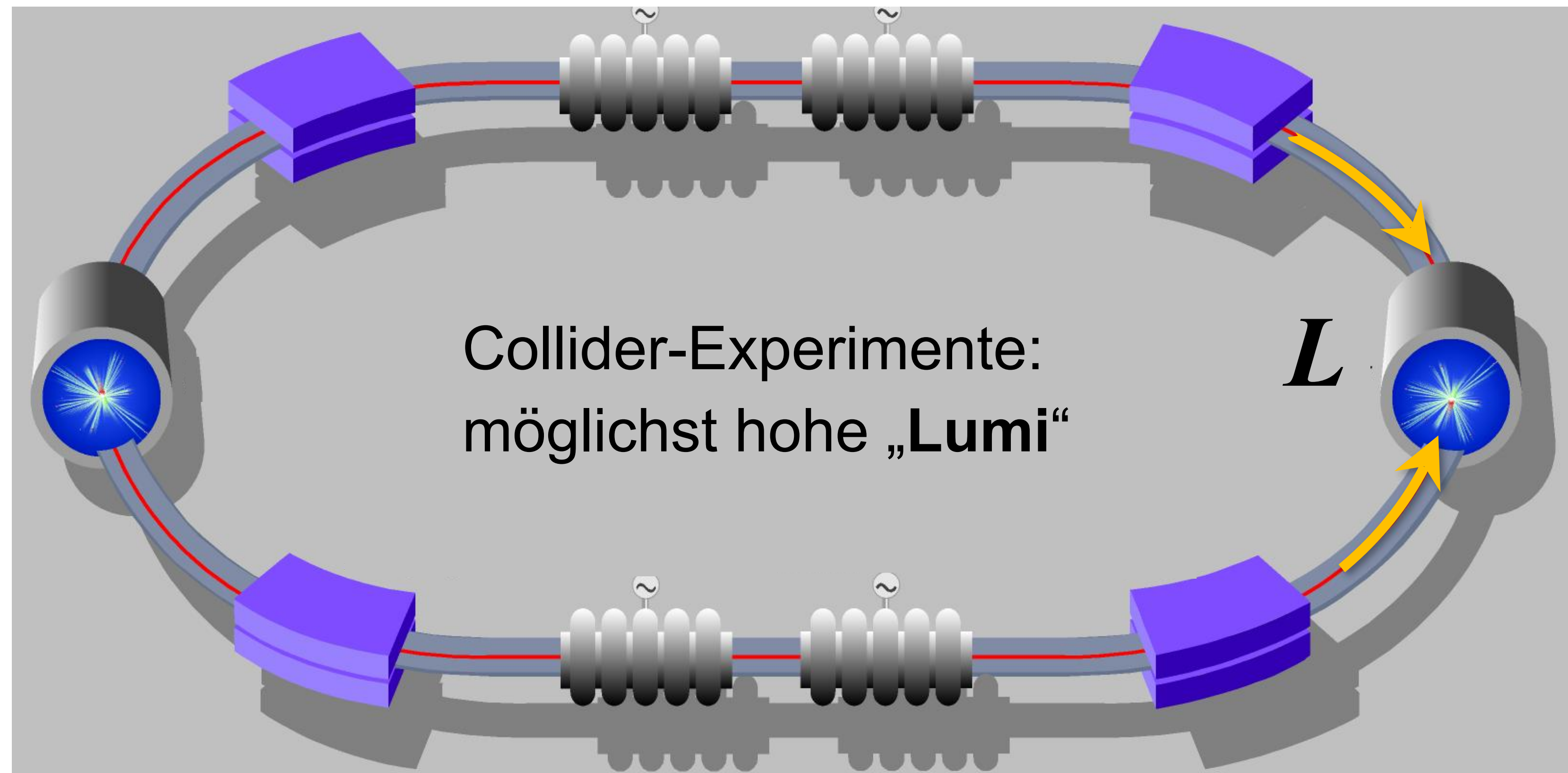
$$R = \frac{dN}{dt} = \sigma \cdot L$$

σ = Wirkungsquerschnitt (cm^2)

L = Luminosität ($\text{cm}^{-2} \text{ s}^{-1}$)

L = Anzahl der
Kollisionen in einem
Detektor pro cm^2
pro sec

R = Rate = # an Streuereignissen pro Zeiteinheit (s^{-1})



Collider-Experimente: integrierte Luminosität

- **integr. Luminosität $\int L dt$ – ein Merkmal für einen „Datensatz“ an Collidern**

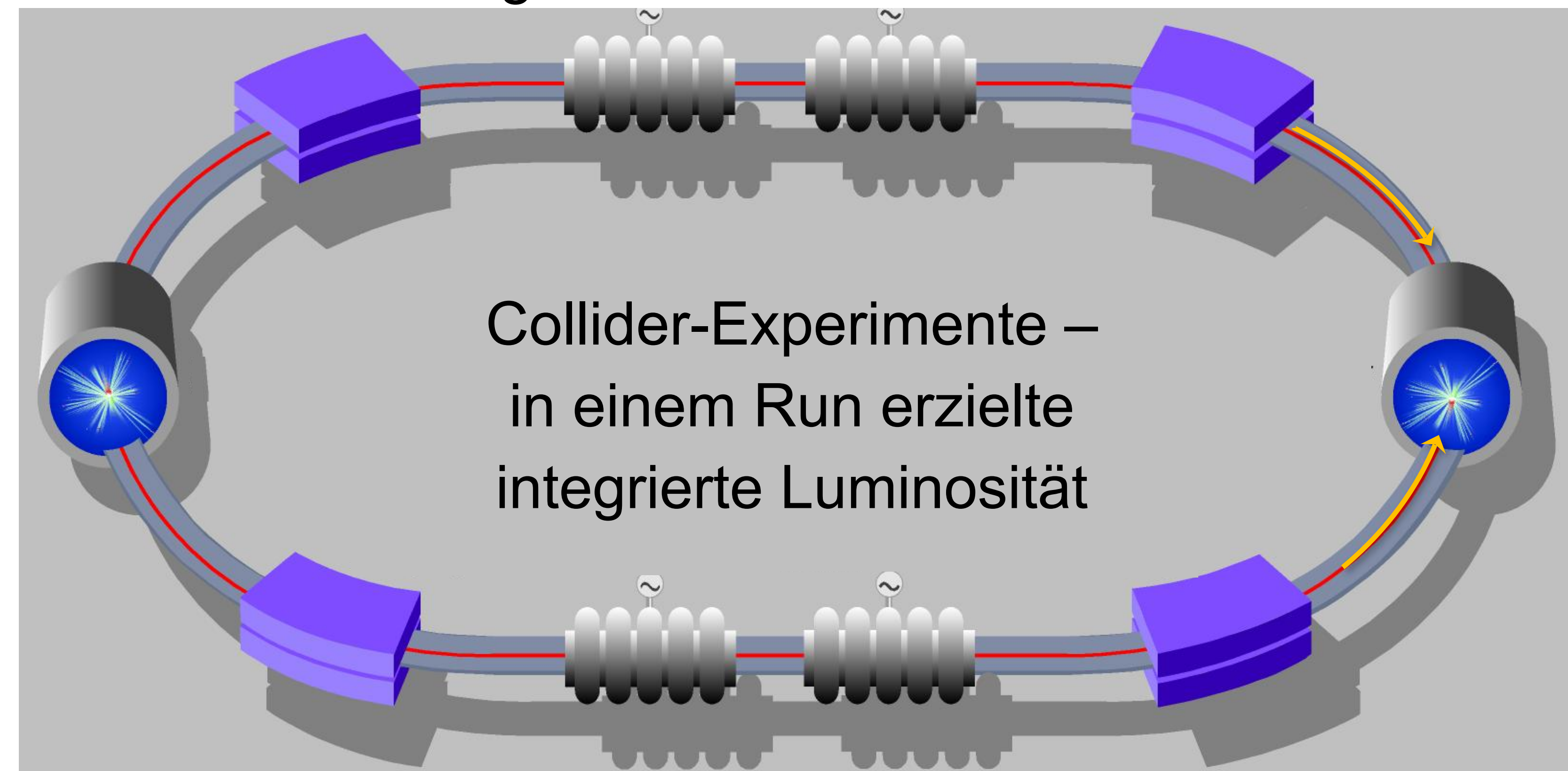
$$N = \sigma \cdot \int L dt$$

zeitintegrierte Größe
(z.B. 1 Monat, 1 Jahr)

$\int L dt$ = integrierte
Luminosität (cm^{-2})

(Einheit: **inverser
Wirkungsquerschnitt**
z.B. inverse fb)

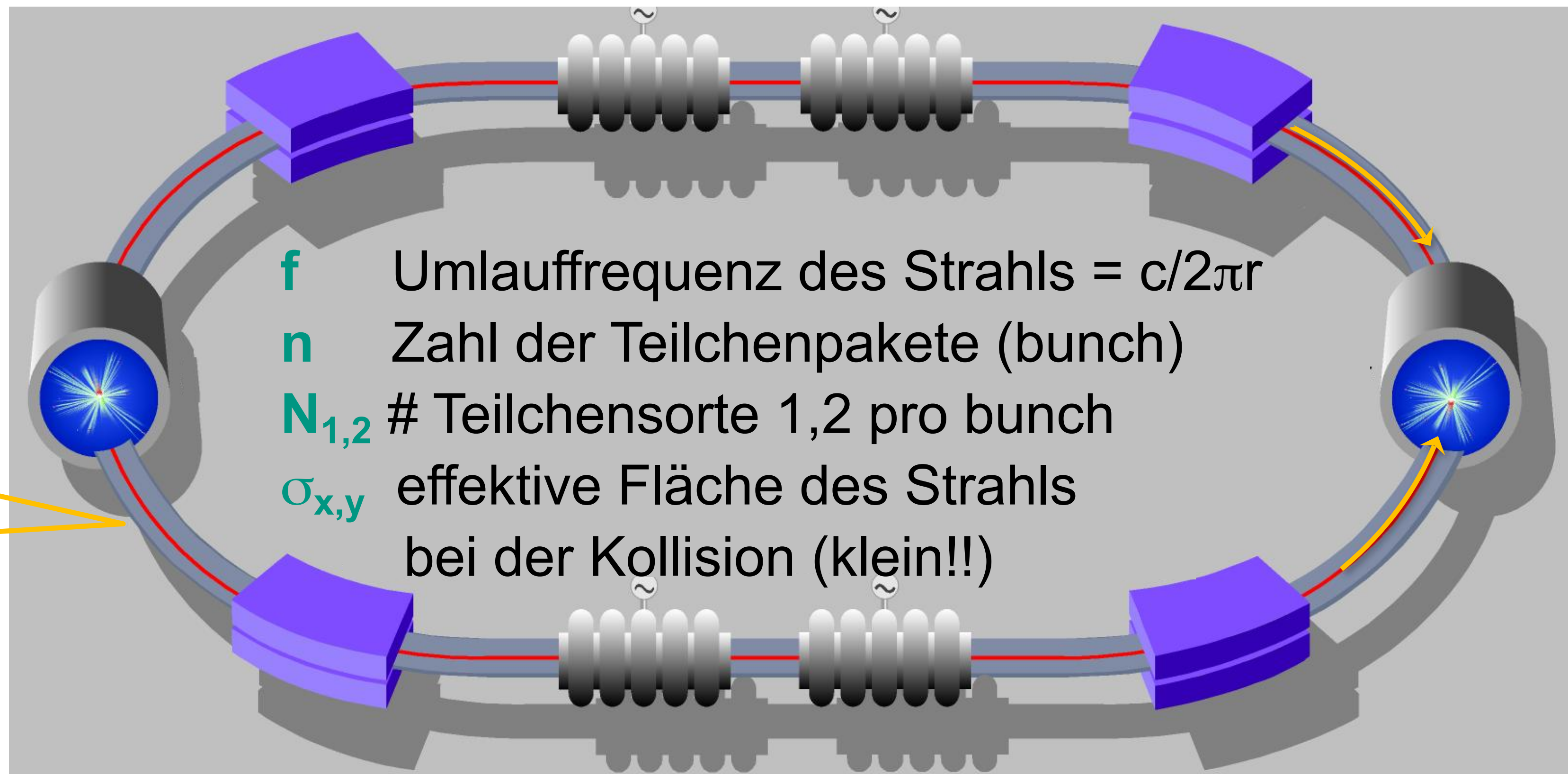
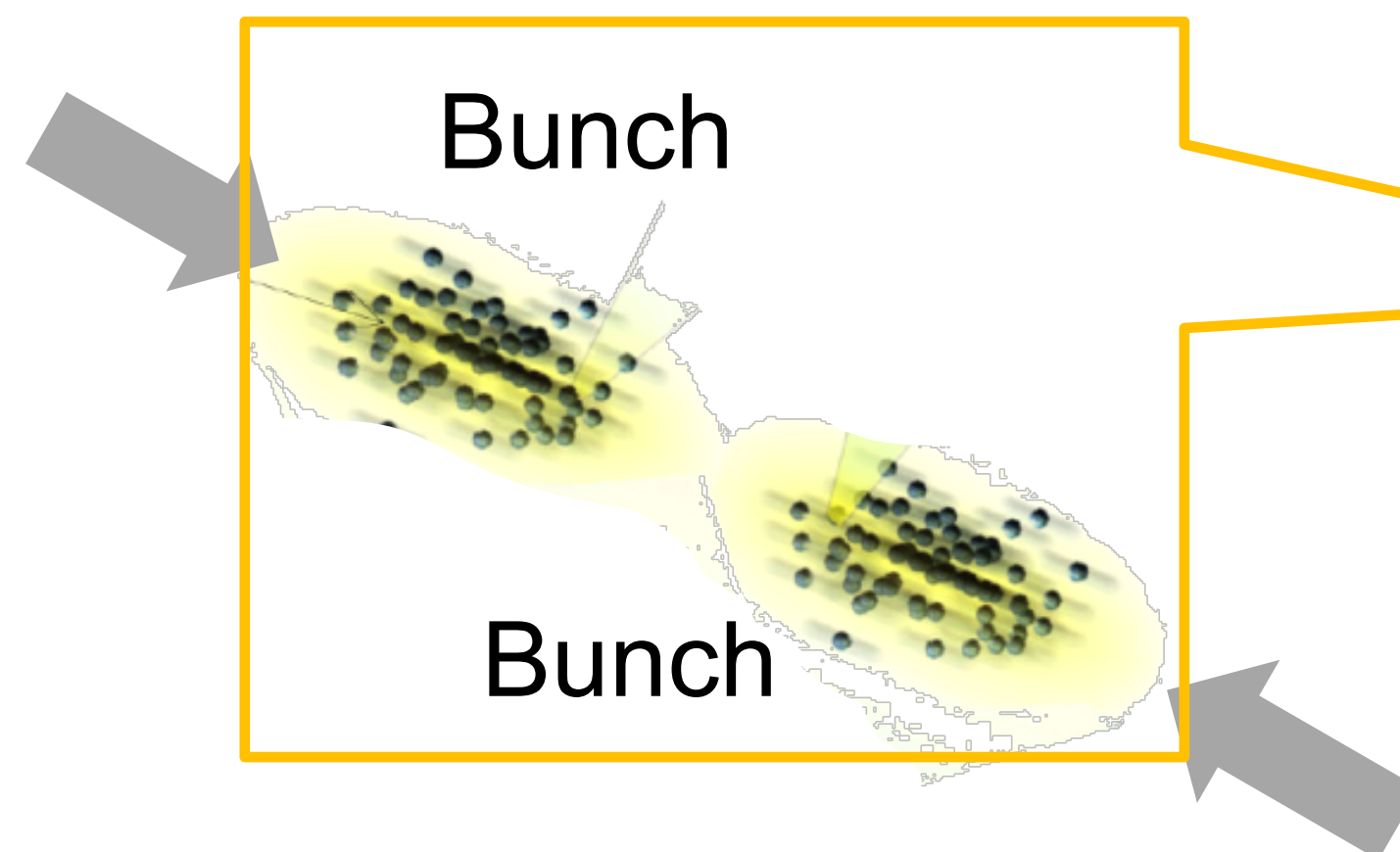
$N = \#$ an Streuereignissen über einen „Run“



Collider-Experimente: Luminosität

- Luminosität L und Strahlparameter: Anzahl Bunche, Umlauf-Frequenz

$$L = f \cdot n \cdot \frac{N_1 \cdot N_2}{4\pi \cdot \sigma_x \cdot \sigma_y}$$

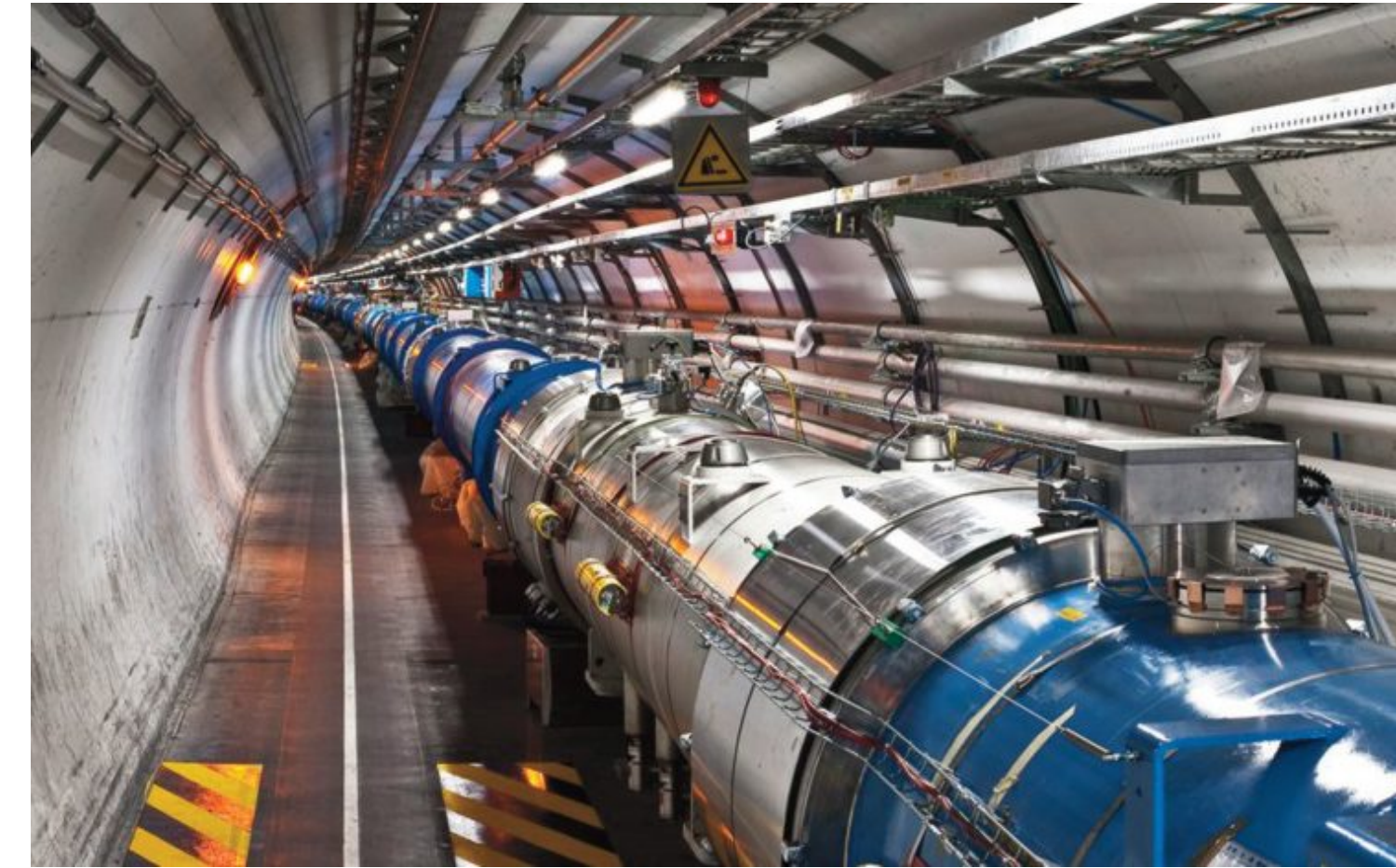


Luminosität des LHC

- Design-Luminosität L des Large Hadron Colliders

$$L = f \cdot n \cdot \frac{N^2}{4\pi \cdot \sigma_b^2}$$

$$L = 10^{34} \text{ cm}^{-2} \text{ s}^{-1}$$



f	Umlauffrequenz des Strahls = $c/2\pi r$	$\sim 10^4 \text{ s}^{-1}$
n	Zahl der Teilchenpakete	$= 2808$
N	# Protonen pro bunch	$= 1,15 \cdot 10^{11}$
σ_b	transversale Größe des Strahls bei der Kollision (klein!!)	$= 16 \mu\text{m}$

Luminosität des LHC

- Design-Luminosität L des Large Hadron Colliders

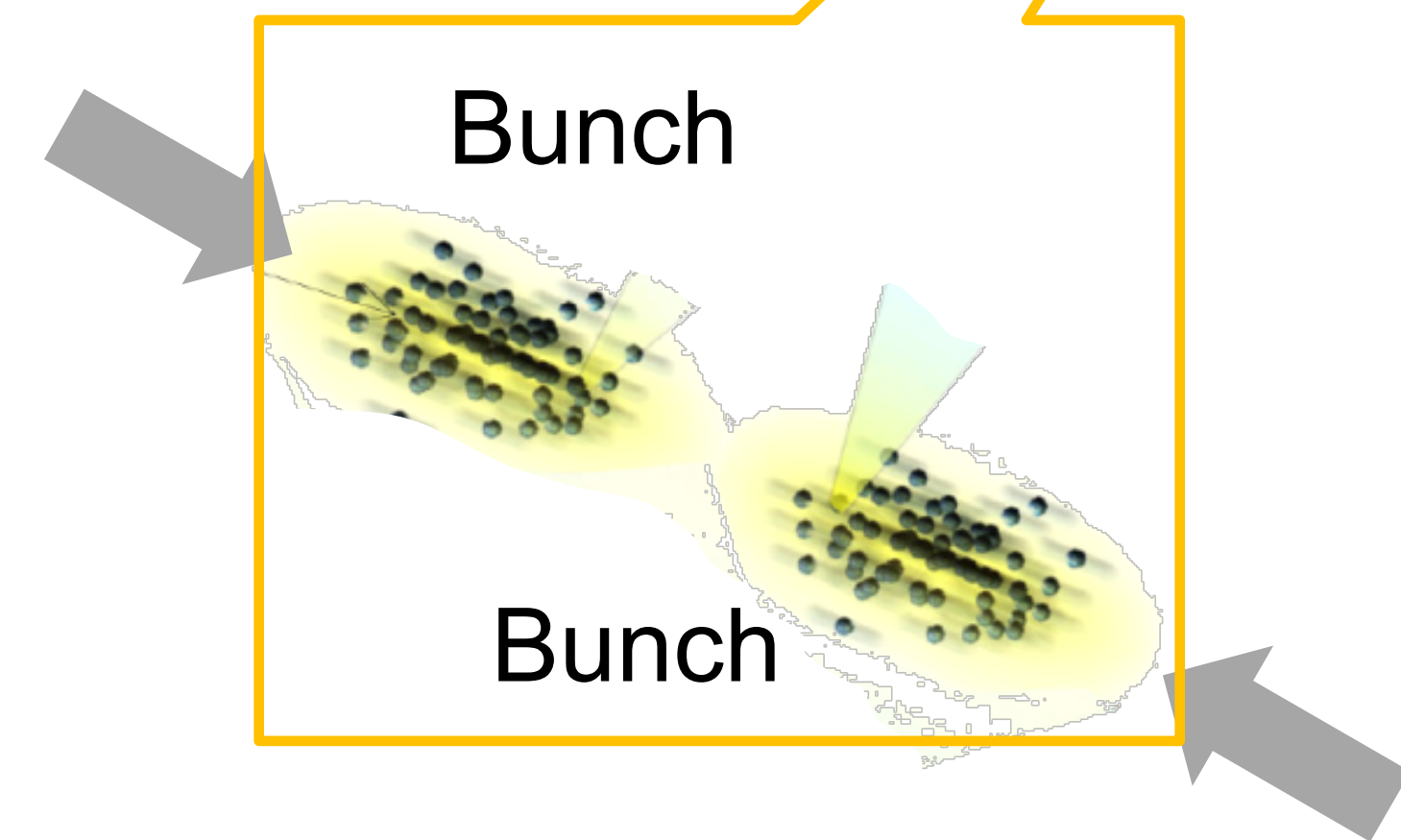
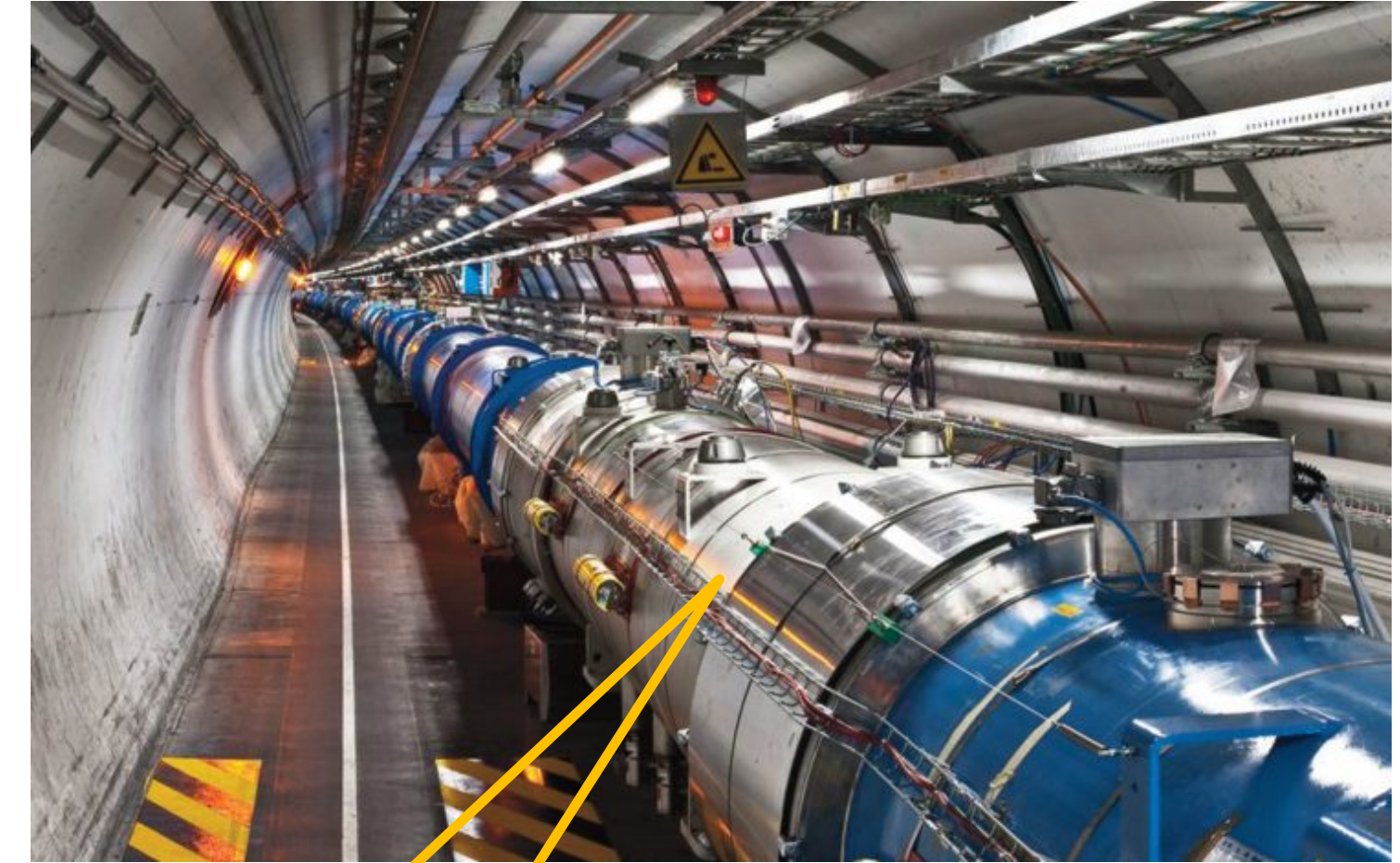
$$L = f \cdot n \cdot \frac{N^2}{4\pi \cdot \sigma_b^2}$$

$$L = 10^{34} \text{ cm}^{-2} \text{ s}^{-1}$$

$$R = \frac{dN}{dt} = \sigma \cdot L$$

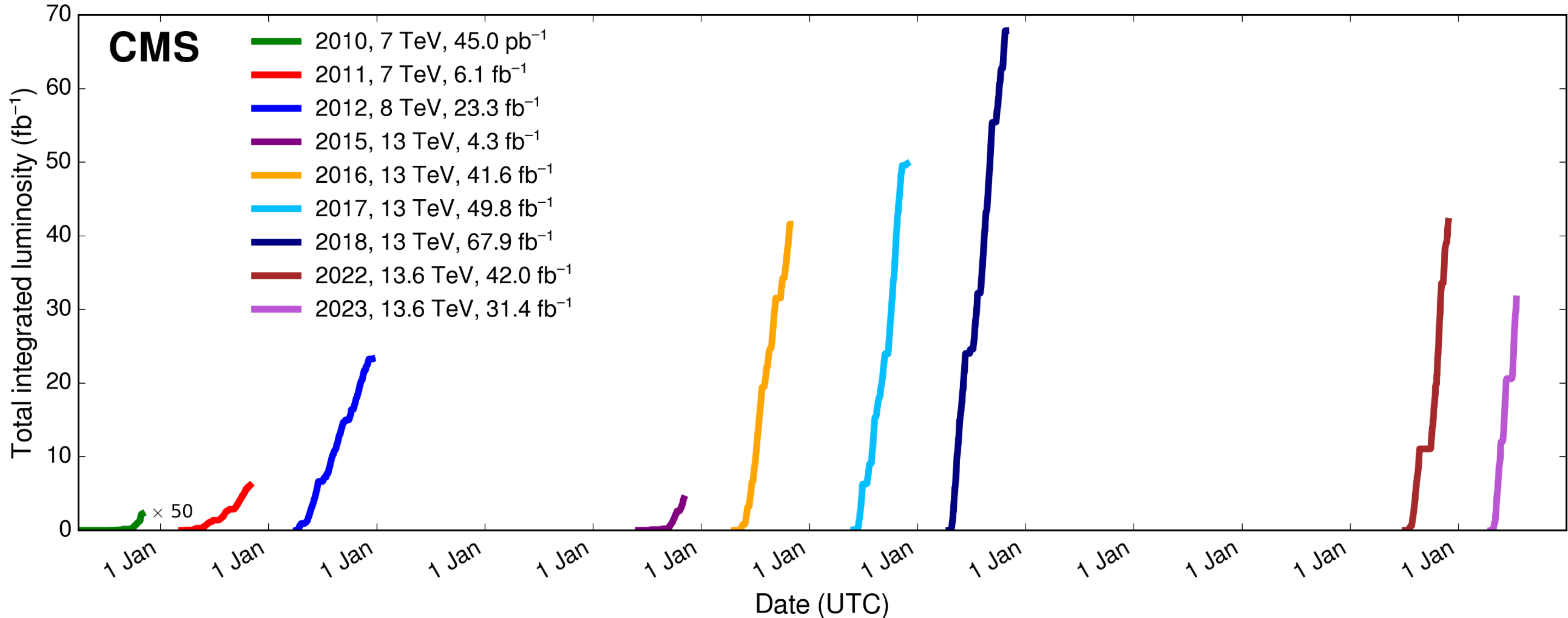
mit $\sigma_{\text{inel}} = 60 \text{ mb}$ beträgt am LHC
die Kollisionsrate R der Protonen
in ATLAS oder CMS:

$$R = \sigma_{\text{inel}} \cdot L \sim 10^9 \text{ s}^{-1}$$



Integrierte Luminosität des LHC pro Jahr

- Entwicklung der integrierten LHC-Luminosität / Jahr

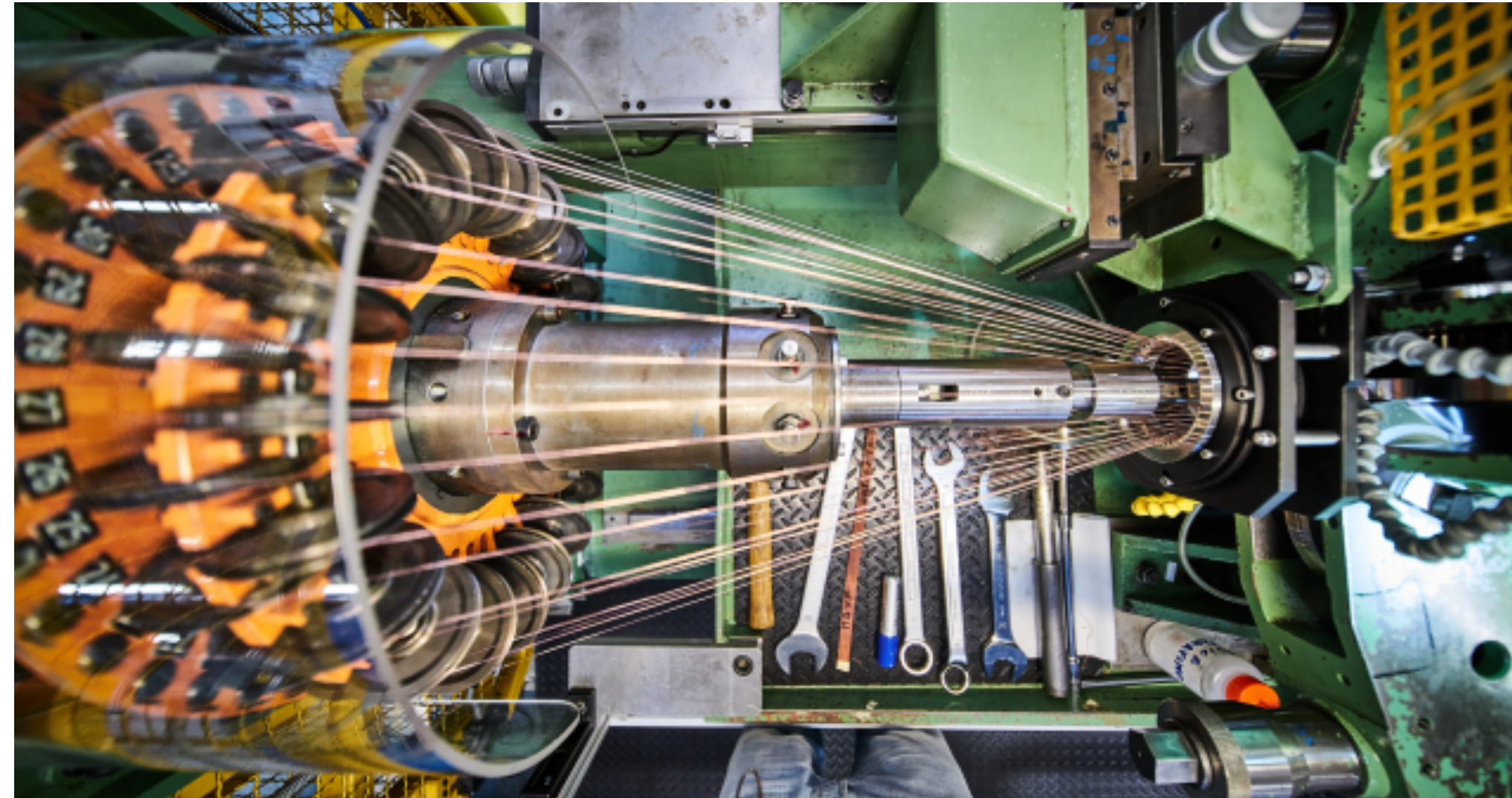


Ausbau des LHC zum HL-LHC

- **Erhöhung der Luminosität des LHC auf $10^{35} \text{ cm}^{-2} \text{ s}^{-1}$**
 - 2025-27: Einbau neuer Quadrupol-Magnete, Kavitäten,...



erste von 16 neuen Kavitäten



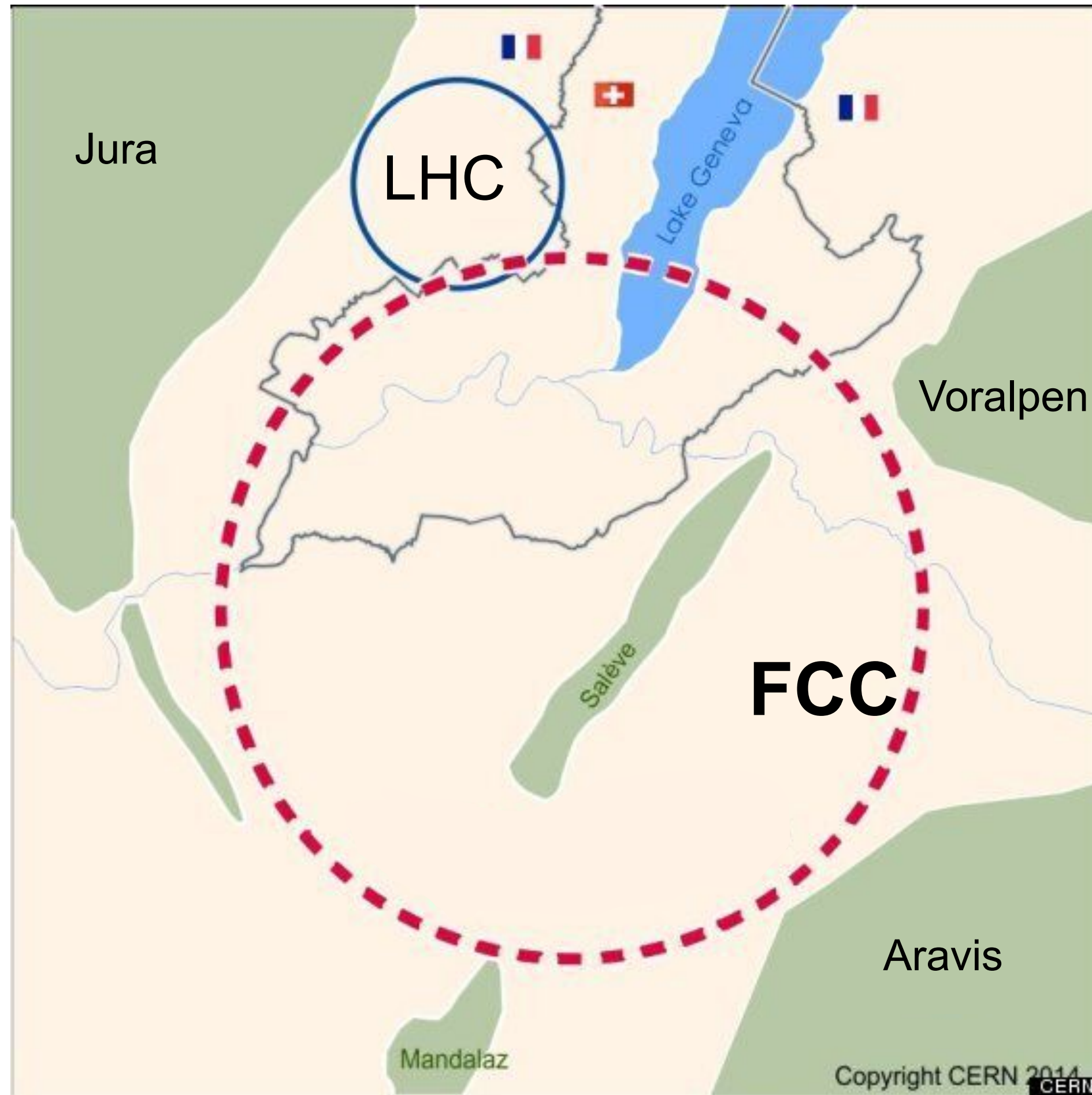
neue Quadrupole bei $B = 12 \text{ T}$

$$L = 10^{35} \text{ cm}^{-2} \text{ s}^{-1}$$



FCC – Future Circular Collider: FCC-ee und FCC-hh

- Geplanter Ring für Kollisionen von e+e- und hh (pp und Ion-Ion)



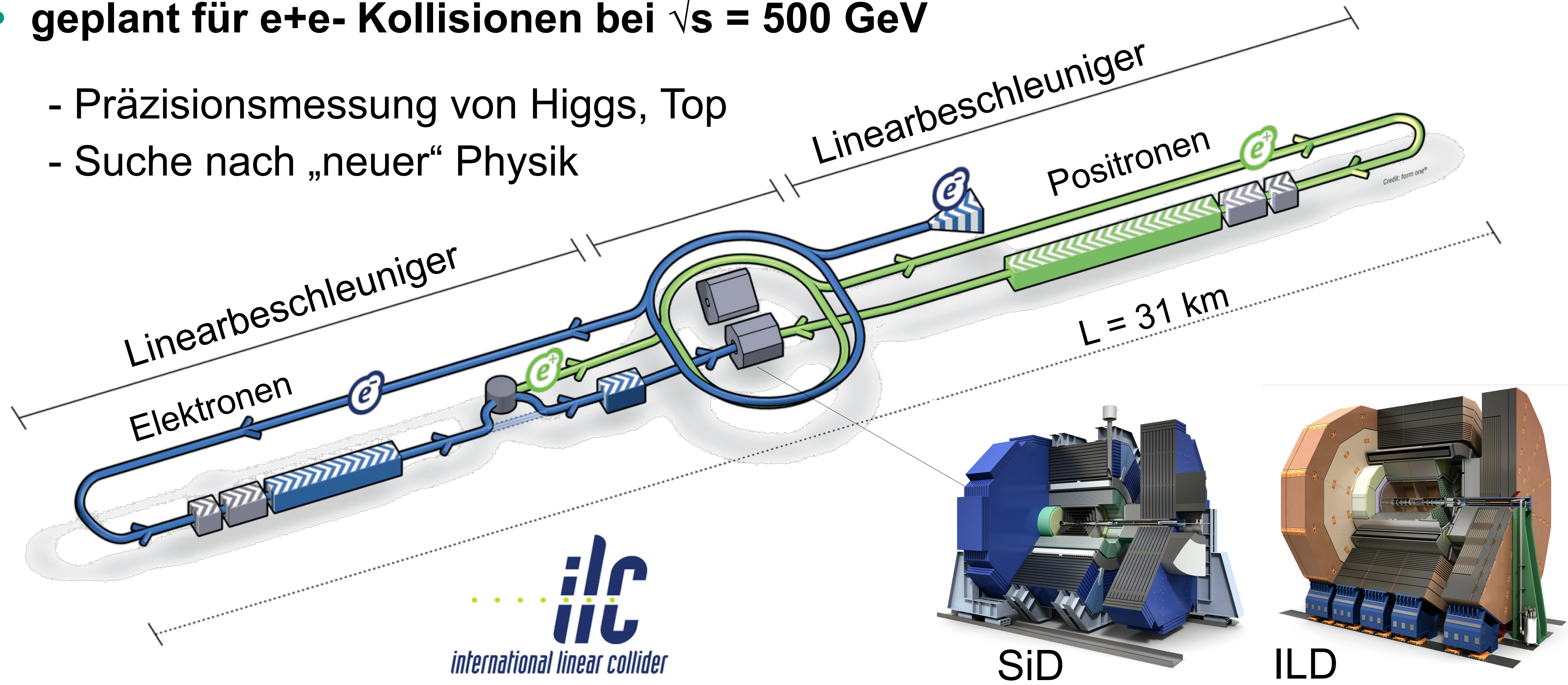
- ee: e+e- Kollisionen bei $\sqrt{s} = 90\text{--}350 \text{ GeV}$
- hh: pp-Kollisionen bei $\sqrt{s} = 100 \text{ TeV}$, Ionen



ILC – International Linear Collider

- geplant für e^+e^- - Kollisionen bei $\sqrt{s} = 500 \text{ GeV}$

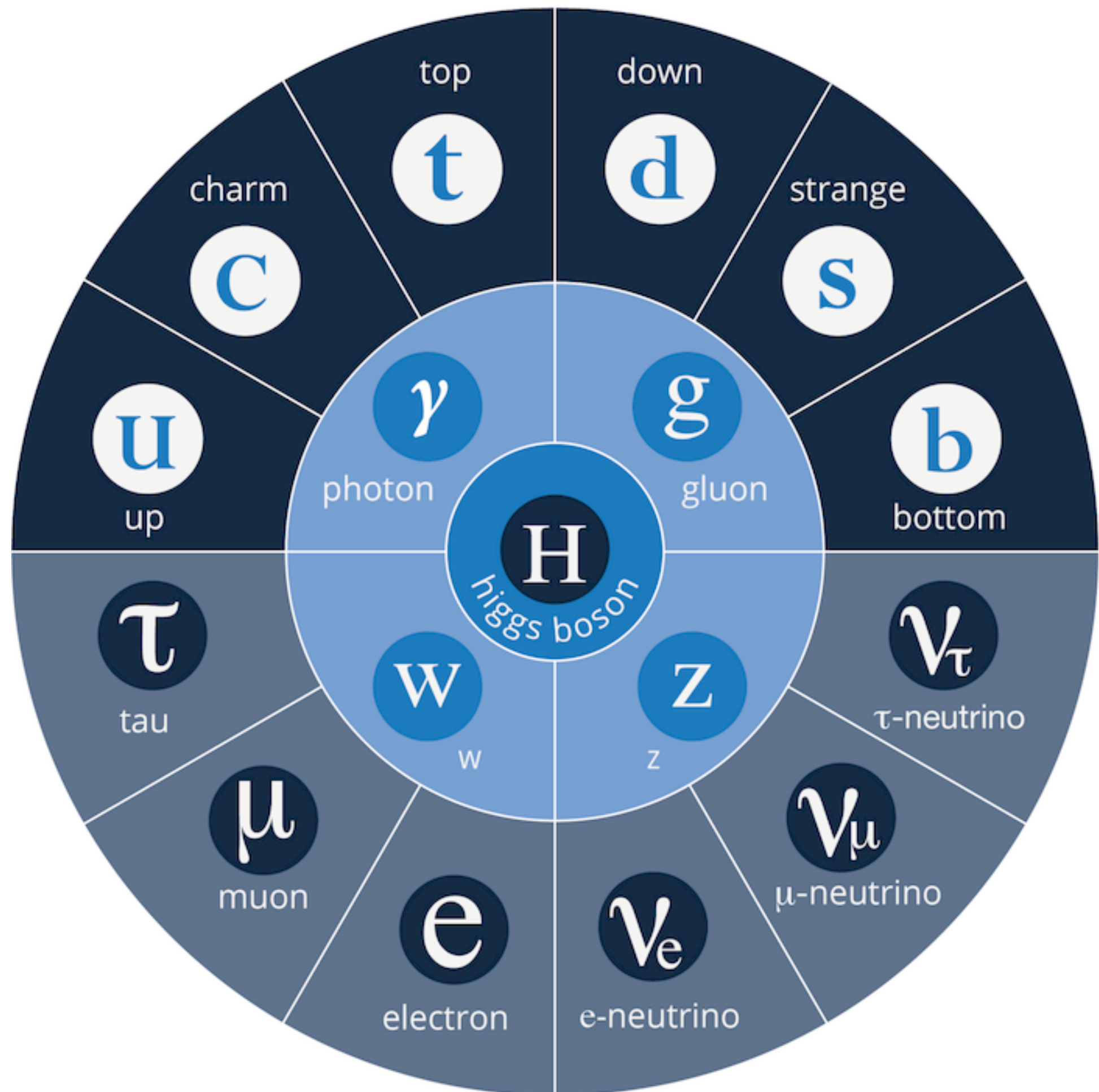
- Präzisionsmessung von Higgs, Top
- Suche nach „neuer“ Physik



Konzept: Luminosität

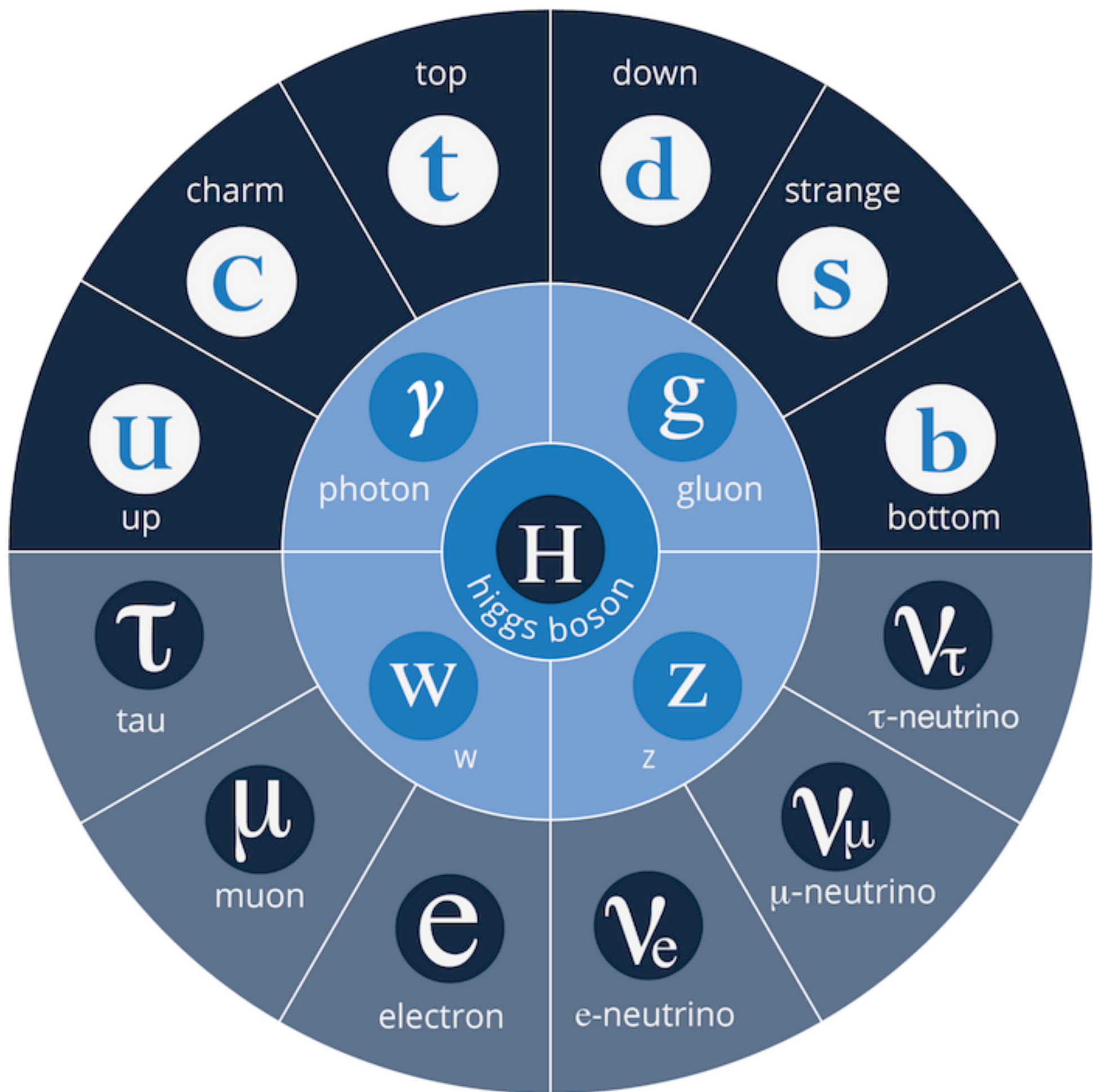
- So bauen einen neuen Beschleuniger und wollen die Luminosität erhöhen? Wie können Sie das erreichen?

$$L = f \cdot n \cdot \frac{N^2}{4\pi \cdot \sigma_b^2}$$



- 2. Experimentelle Methoden
 - 2.1. Energieverlust geladener Teilchen
 - 2.2. Energieverlust von Elektronen
 - 2.3. Cherenkov- und Übergangsstrahlung
 - 2.4. Wechselwirkung von Strahlung mit Materie
 - 2.5. Hadronische Wechselwirkungen
 - 2.6. Nachweistechniken
 - 2.7. Detektorsysteme in der Teilchenphysik
 - 2.8. Teilchenbeschleuniger

■ 3. Struktur der Materie

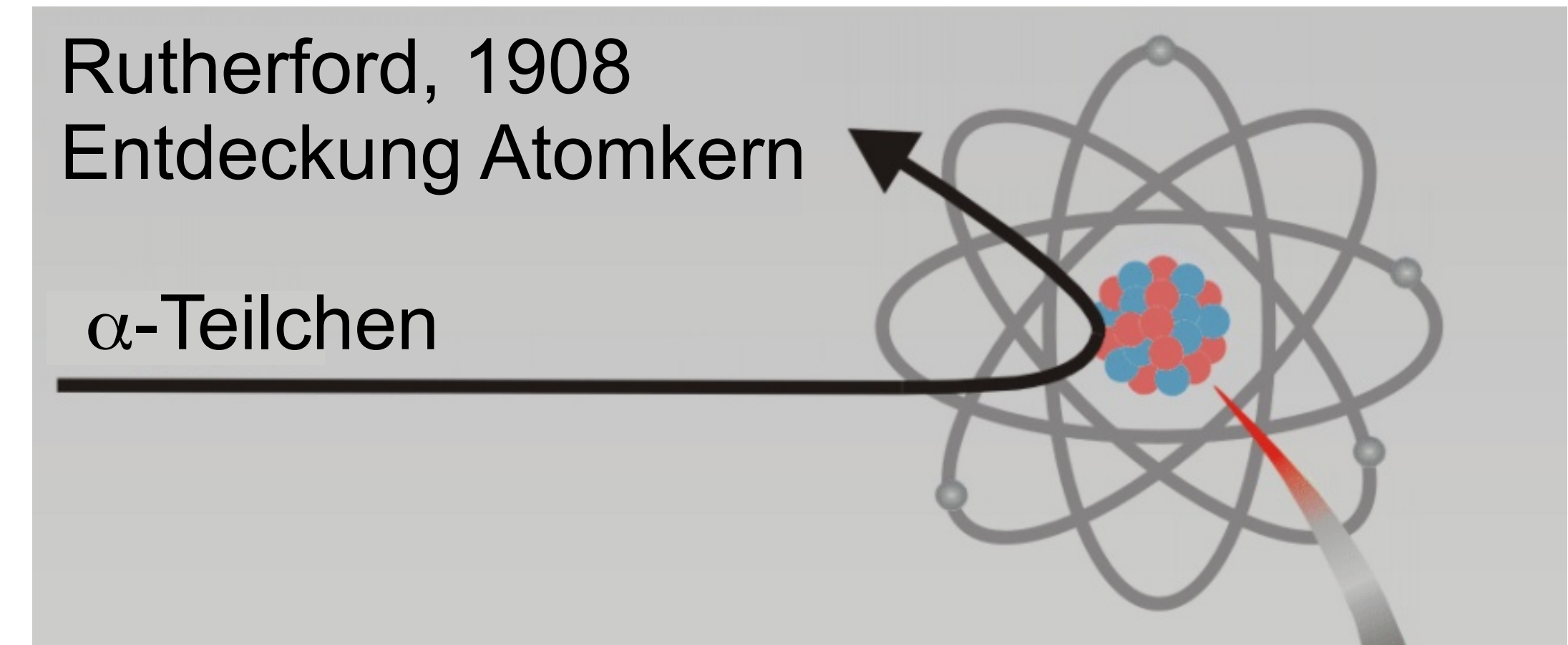


- 3.1. Rutherford Streuung & Wirkungsquerschnitt
- 3.2. Mott Streuung & Formfaktoren
- 3.3. Struktur von Nukleonen

Überblick: Streuexperimente zur Strukturanalyse

■ Die Aufklärung der Struktur der Materie

- zentrales Leitmotiv:
benutze **Streuexperimente**
- Rutherford & Marsden:
 α -Teilchen (*4,8 MeV*) aus Quelle zum
Nachweis des punktförmigen Kerns
- Robert Hofstadter:
Elektronen (bis $\sim 600 \text{ MeV}$) zum
**Nachweis der Ladungsverteilung
des Kerns & Proton-Formfaktors**



Hofstadter, 1956
Ausdehnung der Kerne
Proton-Formfaktor

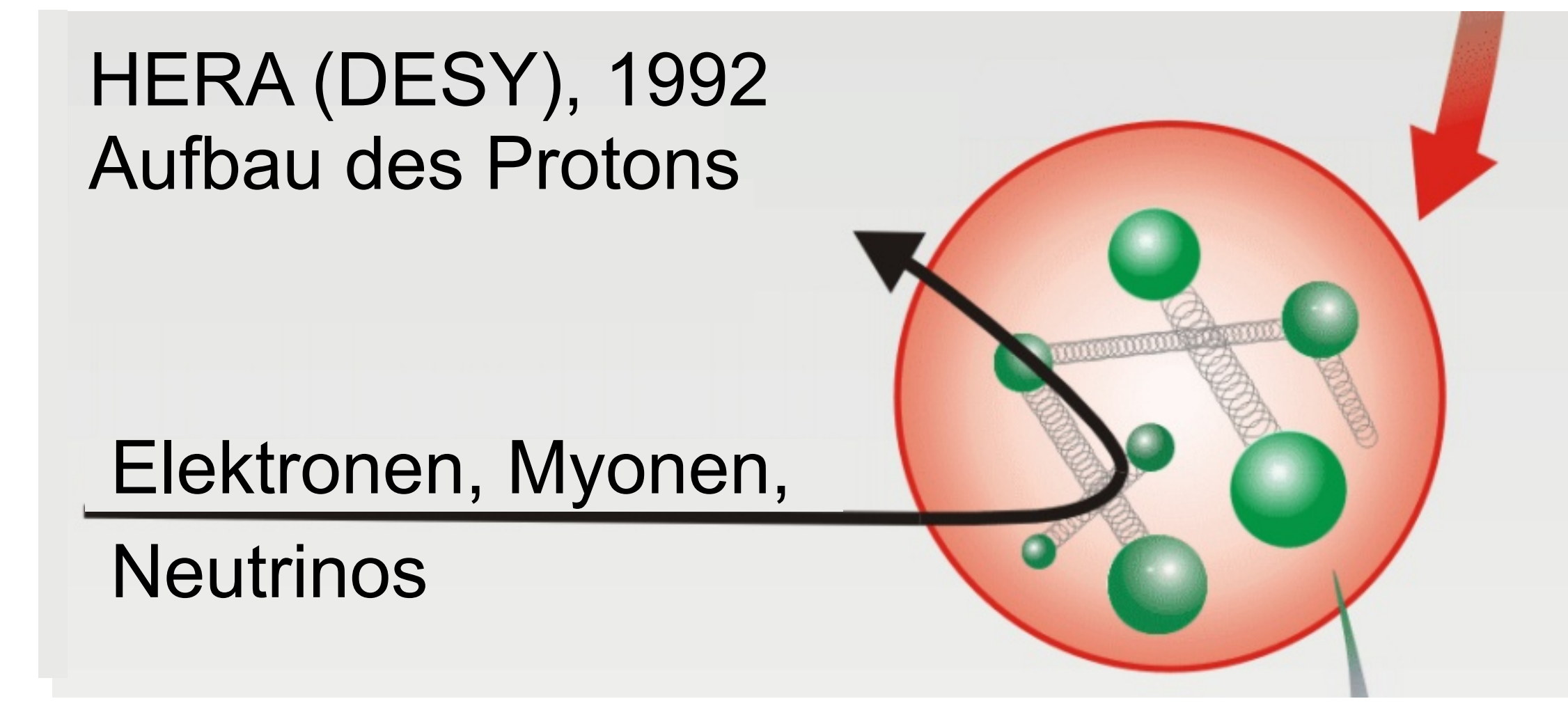
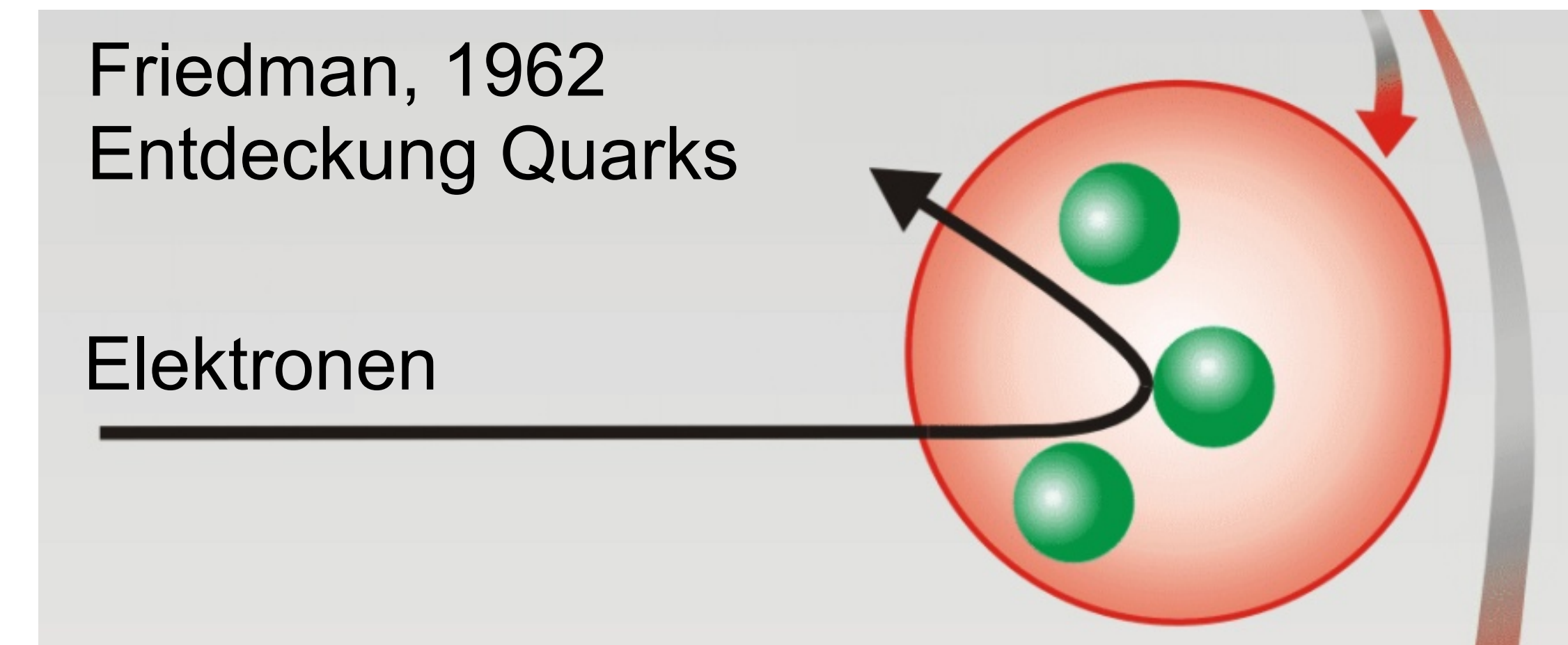
Elektronen

Q: spektrum

Überblick: Streuexperimente zur Strukturanalyse

■ Die Aufklärung der Struktur der Materie

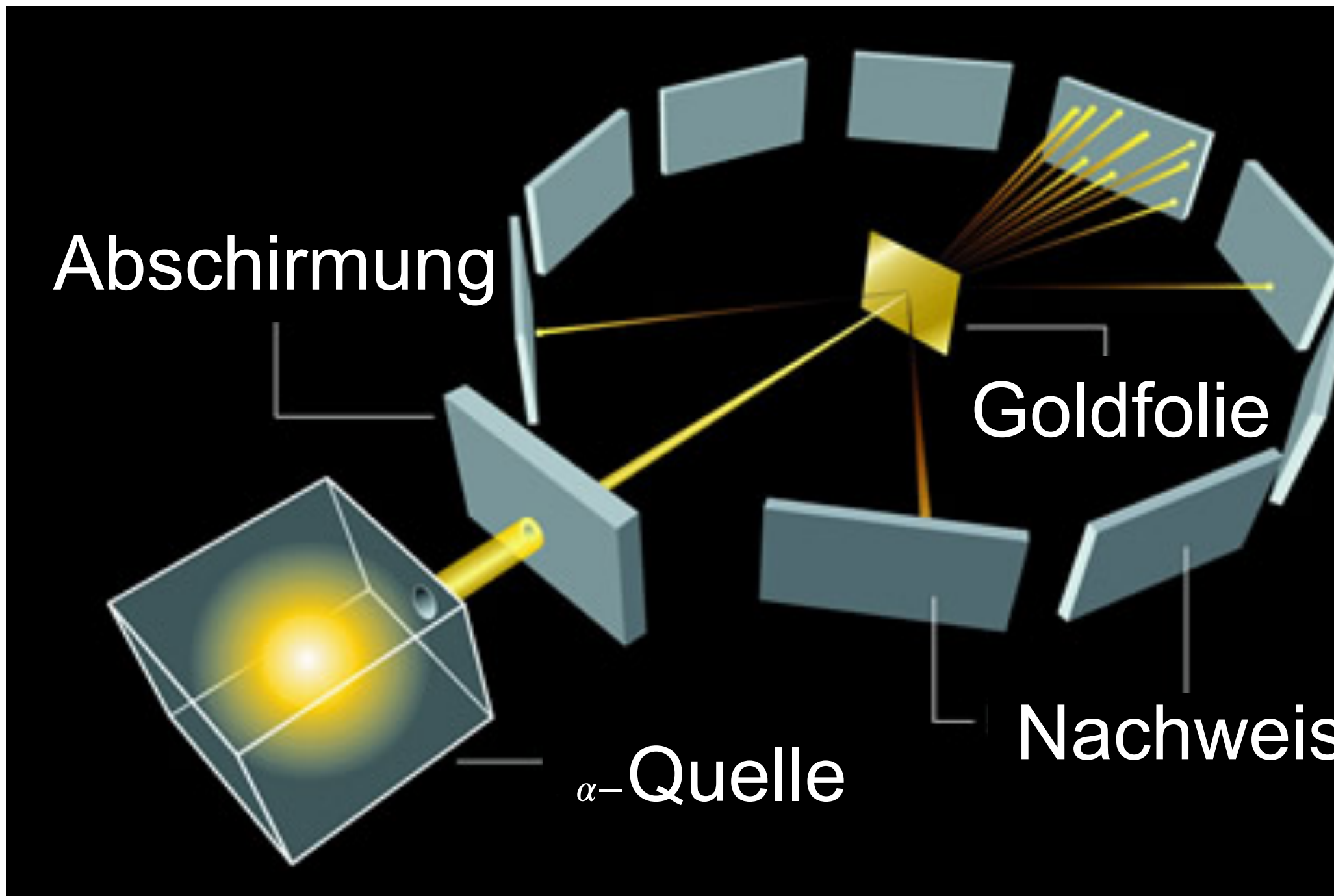
- Friedman, Kendall, Taylor (1962):
20 GeV Elektronen vom SLAC zum
Nachweis von punktförmigen Quarks
- zahlreiche HE*-Streuexperimente an
Beschleunigern mit Elektronen,
Myonen und Neutrinos (u.a. DESY):
**Nachweis des komplexen Aufbaus
von Protonen: Gluonen, Seequarks,
(Partonen), Spin-Eigenschaften**



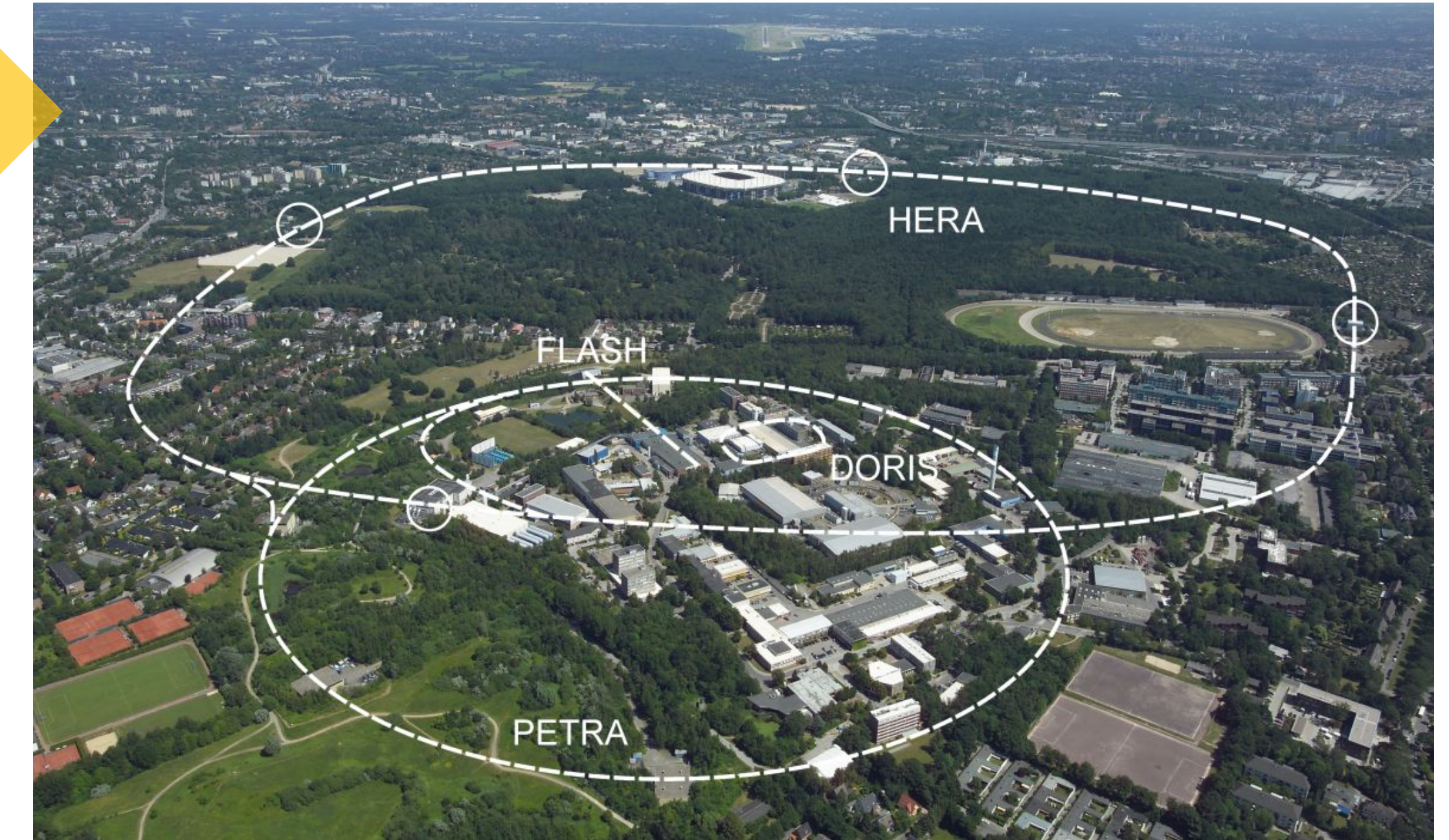
Streuexperimente: Fortschritte

■ Streuexperimente: Messungen bei immer höherer Energie

- moderne **Beschleuniger** mit immer höherer Energie & besserer Auflösung



Q: nach: spektrum



α – Energie: **5 MeV** p – Energie: **800 GeV**
 e^- – Energie: **30 GeV**

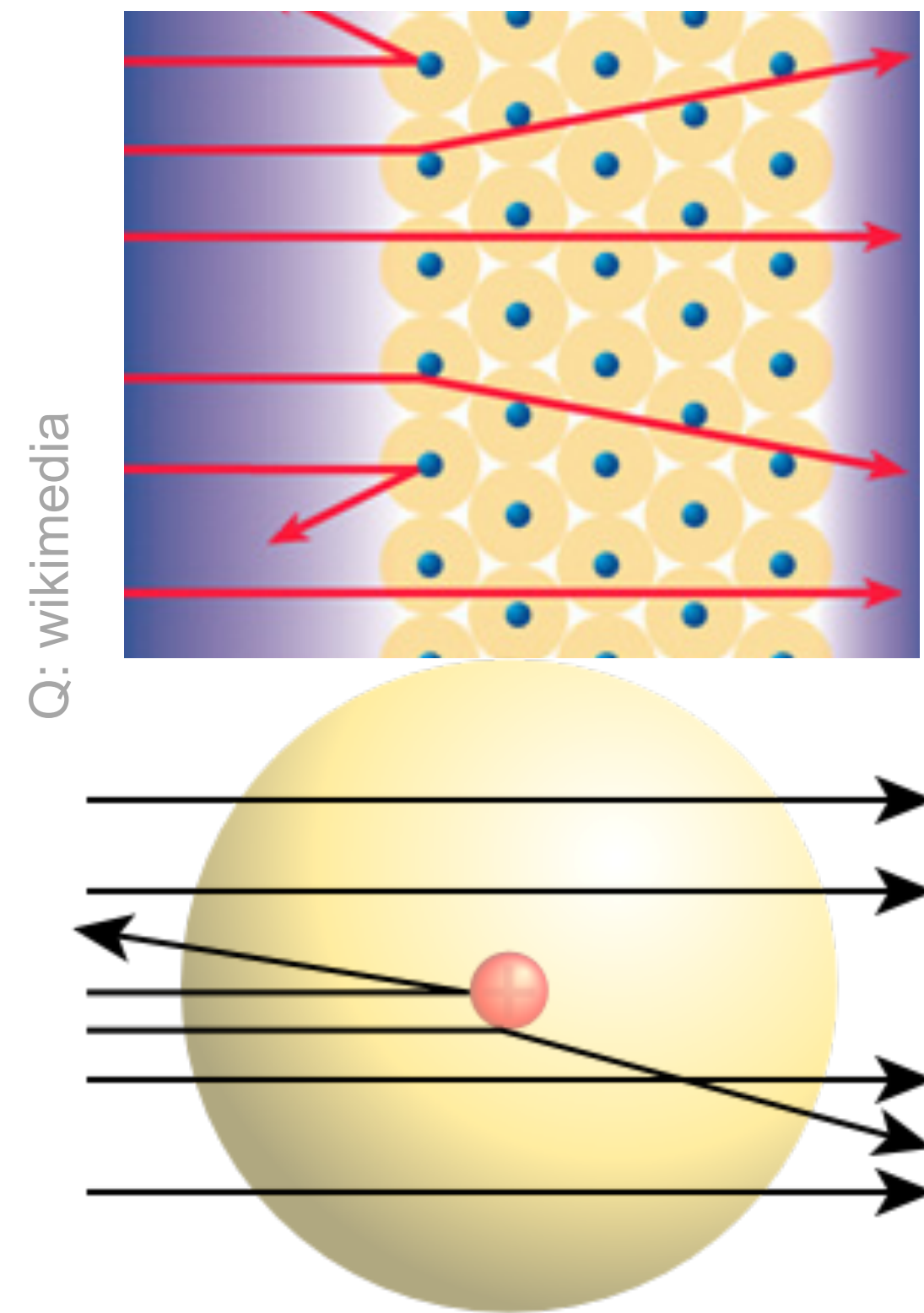


Q: CERN, DESY

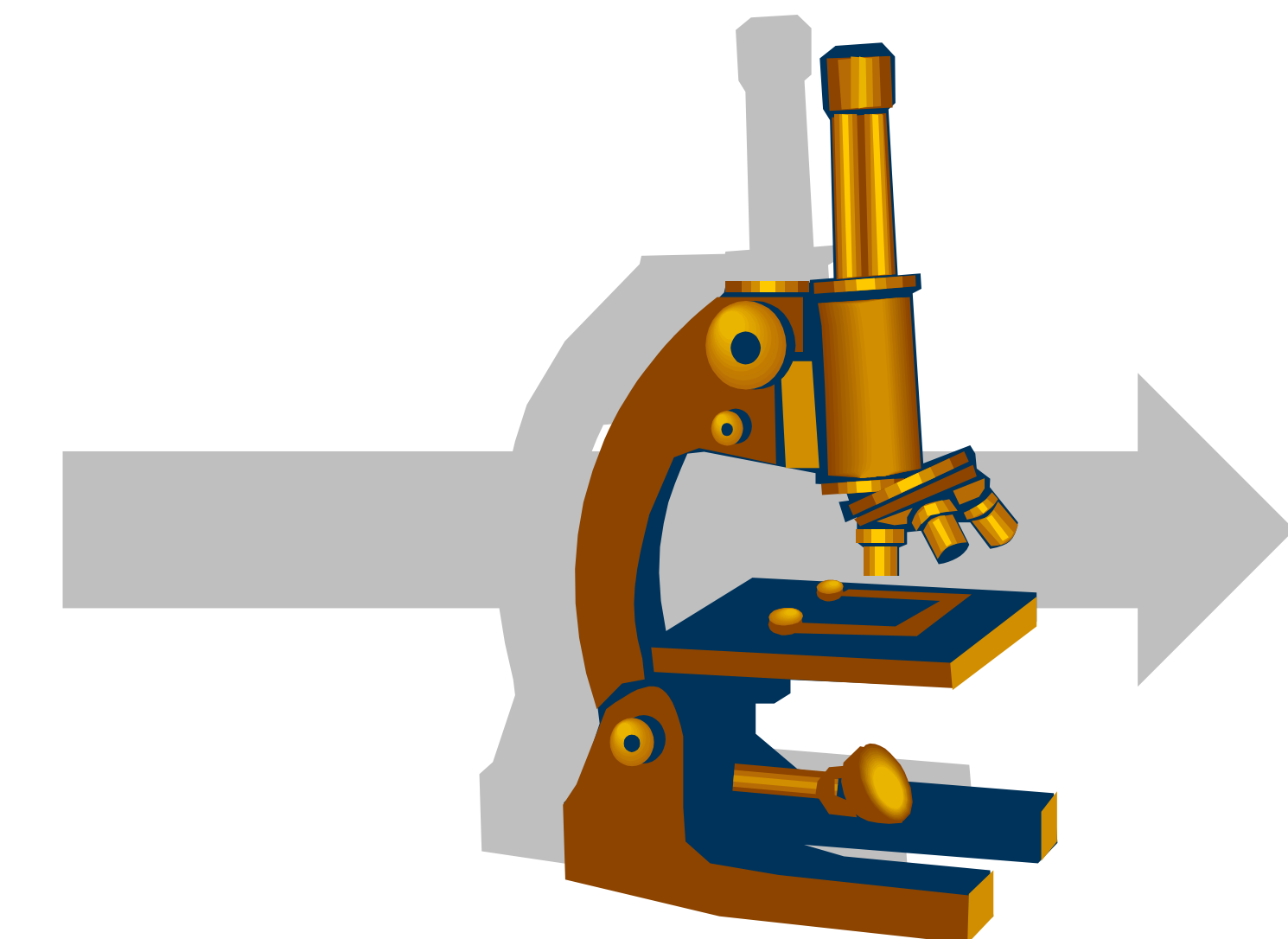
Streuexperimente: Fortschritte

■ Streuexperimente: Messungen bei immer höherer Energie

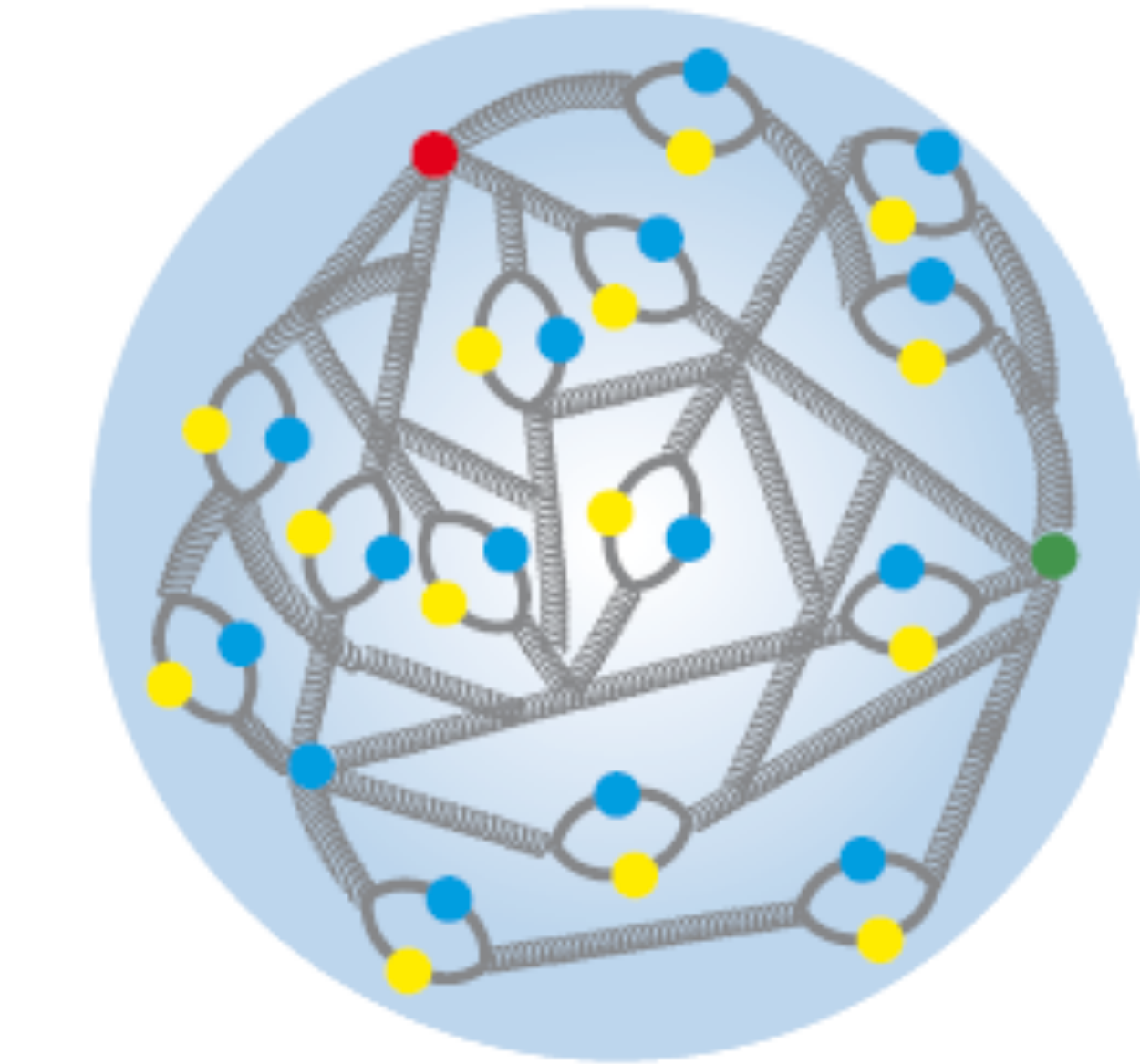
- moderne **Beschleuniger** mit immer höherer Energie & besserer Auflösung



punktformiger Kern



$$0,197 \text{ fm} = 1 \text{ GeV}^{-1}$$



komplexes Nukleon bestehend
aus Partonen: **Valenzquarks**,
Seequarks, **Gluonen**